

+ VETRO  
- PLASTICA

Ossessione  $\Leftrightarrow$  repulsione opp.

coppia elettronica

(Contra)

Mater. Neutra : uguale quantità di c. + e.c.

Mater. con  $+/-$  : contiene eccesso di cariche  $+/-$

i soluzioni fanno più pesante gli elettroni ; FS :

$\Rightarrow$  plastic = CioE linea +

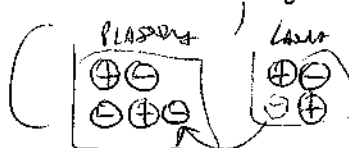
FISICA 2  
(VAI AVANTI...)

Contra  $\rightarrow$  NUOVO  
 $\rightarrow$  minor quantità di carico + eccesso - elettrone

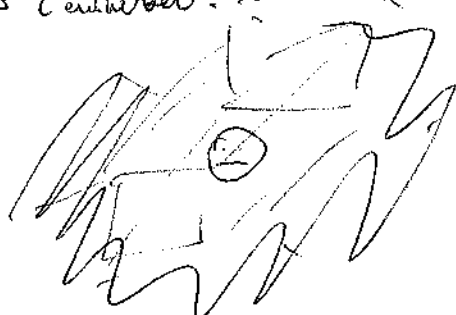
Le cariche si spostano AD OS per stratificarsi

flexible sleeve

Nota: le cariche negative sono!!



i corpi sono bit o non conduttori.

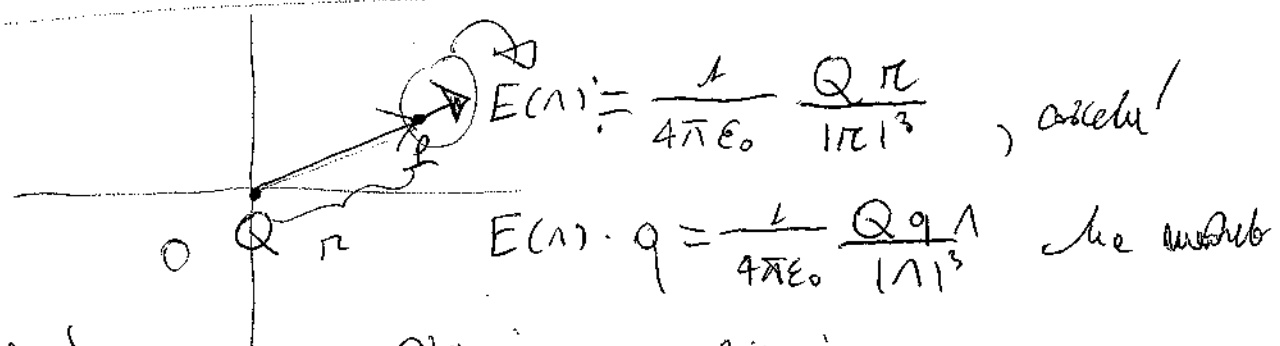
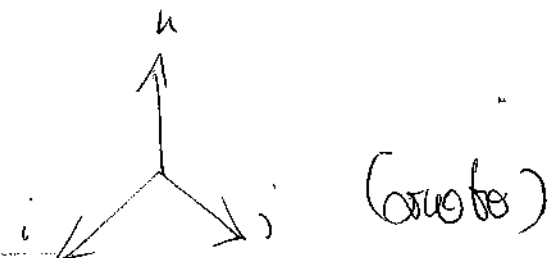


VUOTO ISOLANTE  
arie bolla filtrare  
grado più insabbiato

CANICA (-) dell'elettrone  $\delta -e := -1,6(022) \cdot 10^{-19} C$

CioE  $1C = e \cdot 1,6 \cdot 10^{19}$ ; CONSERVAZIONE C.E.

Carica  $q = m\epsilon$ , menù



Noto da Coulomb e Giovanni Amico.

Per n° punti di carica purissimi più E si sommano, mentre  
in generale :



DENSITÀ VOLUMETRICA  
di carica elettrica

$$dq = \rho dV$$

$$q = \int \rho dV =$$

$$= \int f(n, m, n, \alpha, \sigma) d\sigma \quad (\text{otherwise})$$

$$\begin{matrix} \sigma & s \\ \gamma & \lambda \end{matrix} \rightarrow$$

$$\Rightarrow \frac{\partial E}{\partial t} = \frac{e}{4\pi\epsilon_0} \frac{\int Q V' \frac{\partial p}{\partial t}}{|p|} \Rightarrow$$

$$E(t) = \int \partial E = \frac{e}{4\pi\epsilon_0} \int \frac{\int f(n', m', \alpha') \frac{\partial p}{\partial t}}{|p|} d\sigma' \quad (\text{cont. } \sigma', \alpha', \alpha)$$

( $\sigma$  on  $\sigma/5$ ,  $\gamma/1$ ) .

The case  $Q$  given in TUT 10 to find the electric field for an  $\alpha$ , & area  $q$ , determine a charge  $n$  large

$$Q \quad F(n) = \frac{e}{4\pi\epsilon_0} \frac{Qq}{n^2}$$



$$\text{Other } Q \text{ given can be element } \frac{dQ}{n^2} \quad E(n) := \frac{e}{4\pi\epsilon_0} \frac{Q}{n^2} = \frac{F}{q}$$

$$\text{Current density } F = E \cdot q$$

Repp on "line of action".

$$\text{Volume charge } E \text{ as } \sigma = \frac{e}{4\pi\epsilon_0} \frac{Q}{n} \quad (E = -V')$$

$$\begin{array}{c} \nearrow F \\ \searrow F \end{array}$$



(Ex) Quel'è l'indubbiamente la distanza che separa le due cariche di  $q_1 = q_2 = 1 C$  perché il campo elettrico  $E = 1 N/C$ ?

Risposta: La risposta che ho trovato è:

$$\text{Per Coulomb} \quad F = \frac{k}{4\pi\epsilon_0} \cdot \frac{q_1 q_2}{r^2} = \frac{9 \cdot 10^9}{4\pi \cdot 8.854 \cdot 10^{-12}} \approx$$

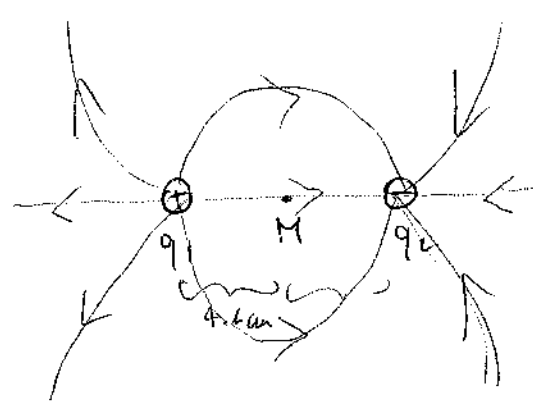
$$\approx 8.99 \cdot 10^9 N \quad ; \quad \text{ora, } \text{che} \text{ massimo} \text{ in} \text{ u}^{\circ} \text{ belli}$$

$$\text{che} \quad F = m \cdot g \quad (g := 9.8 N/kg) \Leftrightarrow m \approx 9 \cdot 10^8 kg$$

(Ex) Quel'è l'indubbiamente del campo elettrico generato dalle due cariche  $Q_1 = Q_2 = 12 \cdot 10^{-8} C$  (che sono in quiete) alla distanza  $r = 6 cm$ ?

$$E = \frac{k}{4\pi\epsilon_0} \cdot \frac{Q}{r^2} = \left( 8.98 \cdot 10^9 \cdot \frac{12 \cdot 10^{-8}}{(0.06)^2} \right) N/C \approx 3 \cdot 10^4 N/C$$

(Ex) Quel'è il valore del campo elettrico generato dalle due cariche  $q_1 = 6 pC$  e  $q_2 = -6 pC$  nel punto medio M fra le due cariche?



E' la risposta che compare con  $q_1$  e  $q_2$ .  
Ma ora se  $q_1 = q_2$  il campo elettrico sarebbe dovuto essere dovuto alle due cariche  $q_1$  e  $q_2$  come nel caso "sele" (quale è il caso per i due opposti campi elettrici nel caso).

$$2 \cdot \frac{k}{4\pi\epsilon_0} \cdot \frac{q_1}{(r/2)^2} = \frac{2}{\pi\epsilon_0} \frac{6 \cdot 10^{-12}}{(0.03)^2} \frac{N}{C}$$

$$\approx 64 N$$

Ex - The excess of methanol molecule are  $\approx 10^{-19} \text{ C}$ .

Dine che un attozione sia come  $-1.6 \cdot 10^{-19} \text{ C}$  liquido

e sono che  $1 \text{ C}$  corrispondono a  $\approx 10^{19}$  attozioni.

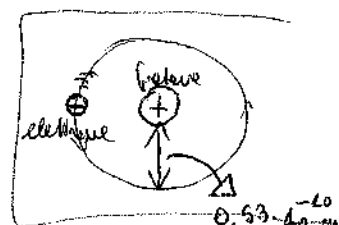
$$\frac{1}{1.6 \cdot 10^{-19}} \approx 6 \cdot 10^{18} \quad ) \text{ supplementare facile! } 1 \text{ C} =$$

$$= (\text{n}^{\circ} \text{ attozioni in excess}) \times (\text{carica attozione})$$



Ex Considerate attrazione elettrica e attrazione gravitazionale fra  
methane e fulcro in un atto di idrogeno.

$$\text{Carica methane} \stackrel{\text{in nmab}}{=} \text{carica fulcro} = 1.6 \cdot 10^{-19} \text{ C}$$



quindi la forza attrattiva fra le due particelle

è inversamente proporzionale al quadrato della distanza.



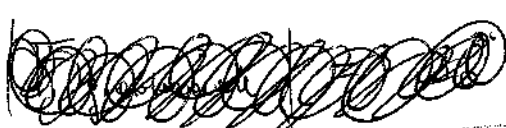
$$\frac{1}{4\pi 8.854 \cdot 10^{-12}} \frac{(1.6)^2 \cdot 10^{-38}}{(0.53)^2 \cdot 10^{-20}} \text{ N} =$$

$$\approx 8.2 \cdot 10^{-8} \text{ N} ; \quad \text{INVECE} \quad \text{la forza attrattiva}$$

è direttamente proporzionale alla carica.

$$G \cdot \frac{m_B \cdot m_F}{r^2} = 6.67 \cdot 10^{-11} \cdot \frac{9.4 \cdot 10^{-32}}{(0.53)^2} \cdot$$

$$\frac{-1.673 \cdot 10^{-24}}{10^{-20}} \approx 3.6 \cdot 10^{-14} \text{ N} \quad !! \quad \text{Dunque fermo subito}$$



$$|F_{attrattiva}| = 10^{38} |F_{gravitazionale}|$$



Ex Determinare l'energia potenziale del sistema mostrato sotto:

$$q_1 = 3.2 \text{ nC}$$

$$4.5 \text{ cm}$$

$$3.8 \text{ cm}$$

$$0.1 \text{ m}$$

$$C_0$$

$$q_2 = -2.7 \text{ nC}$$

$$5.2 \text{ cm}$$

$$q_3 = 2.5 \text{ nC}$$

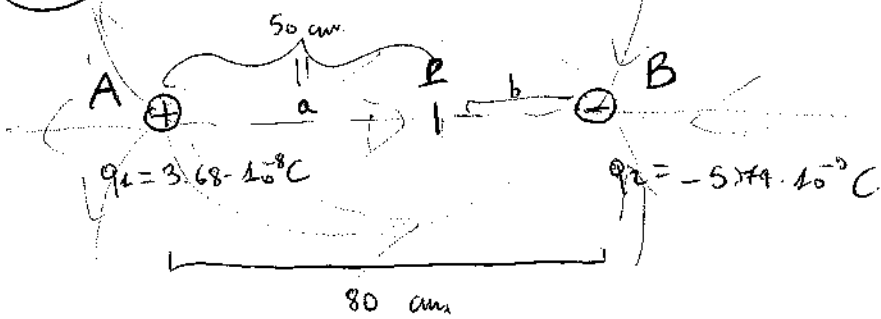
$$(MC = 10^{-9} \text{ C})$$

$$\text{Ovenements d' } V = \frac{1}{4\pi\epsilon_0} \left( \frac{q_1 q_2}{AB} + \frac{q_2 q_3}{BC} + \frac{q_1 q_3}{AC} \right) =$$

$$= 8.91 \cdot 10^9 \cdot \frac{10^{-17}}{\frac{10}{10-2}} \left( \frac{-3.2 \times 2.4}{4.5} - \frac{2.7 \times 2.5}{5.2} + \frac{3.2 \times 2.5}{3.8} \right) \text{ J}$$

$$= -9.9 \cdot 10^{-4} \text{ J} \quad (= -0.99 \mu\text{J}) \quad \boxed{J}$$

(Ex) Calculez il potentiel électrique net dans P au pôle :



Intuitif,  $V(P) = V_1(P) + V_2(P)$  car  $V_1$  nég.  $V_2$  positif et le ci sont tous dans P et le centre q1 nég. q2 favorise sole.

$$\text{me } V_1(P) = \frac{1}{4\pi\epsilon_0} \frac{q_1}{a} = 8.91 \cdot 10^9 \cdot \frac{3.68 \cdot 10^{-8}}{0.1 \cdot 10^{-2}} \text{ V} = 662 \text{ V},$$

$$\text{meutre } V_2(P) = \frac{1}{4\pi\epsilon_0} \frac{q_2}{b} = -8.91 \cdot 10^9 \frac{5.774 \cdot 10^{-9}}{0.1 \cdot 10^{-2}} = -172 \text{ V},$$

$$\text{quand } V(P) = 490 \text{ V}. \quad \boxed{J}$$

(Ex) Une diode semi-conductrice plate à base contient  $Q = 8.4 \cdot 10^{-3} \text{ C}$  de charge sur une surface  $S = 3.4 \text{ m}^2$  : quelle est la densité de champ électrique de son pôle, "nord" de sa surface plane ?

$$\text{Le rapport d' } E = \frac{\sigma}{2\epsilon_0} = \frac{Q}{2\epsilon_0 S} = \frac{4.2 \cdot 10^{-3+12}}{8.854 \cdot 10^{-12} \cdot 3.4} \frac{\text{N}}{\text{C}} = 1.3 \cdot 10^7 \text{ N/C} \quad \boxed{J}$$

(Ex) Met een aantal gevallen de we zien (substitueer Q in)

$$E(n) = \frac{e}{4\pi\epsilon_0} \frac{Q}{n^2} = -\frac{F(q,n)}{q}, \text{ of } F(q,n) = \frac{e}{4\pi\epsilon_0} \frac{Qq}{n^2}$$

Altijd moet dan vinden  $E(n) = \dots$   $Q$

$E = \frac{\partial F}{\partial q} \quad \therefore \boxed{Y}$

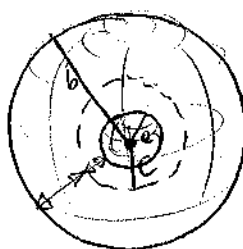


$$\frac{\sigma \pi d}{2} = q \Delta V = q \frac{Q}{4\pi \epsilon_0} \left[ \frac{1}{R_0} - \frac{1}{R_1 + d} \right]$$

~~outer shell~~  $\frac{d}{4} \frac{1}{4\pi \epsilon_0} \frac{Q}{d_0}$   $= \frac{1}{2} \ln(R_0 + d_0) + \frac{1}{4} \frac{1}{4\pi \epsilon_0} \frac{Q}{d}$

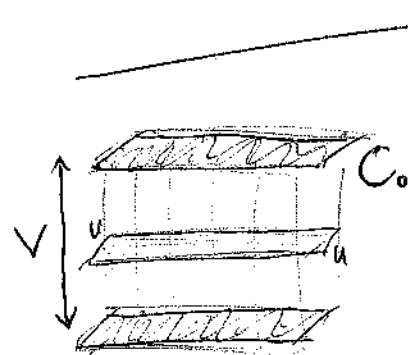
~~inner shell~~  $\frac{d}{4} \frac{1}{4\pi \epsilon_0} \frac{Q}{d_0}$   $\stackrel{\text{c.i.e.l}}{=} \frac{1}{2} \ln(R_0 + d_0) = \frac{1}{4} \frac{1}{4\pi \epsilon_0} \frac{Q}{d_0} \left[ \frac{1}{R_0} - \frac{1}{d_0} \right]$

De cui  $d_0 - d_0 - \frac{R_0 Q}{2 \pi \epsilon_0} = 0$



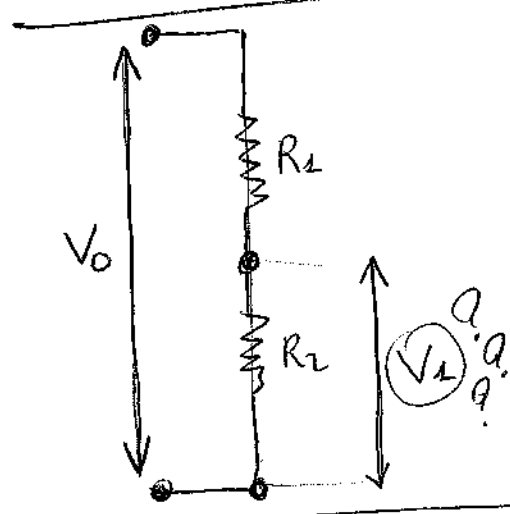
$$\frac{L}{c} - \frac{L}{b} = \frac{L}{e} - \frac{L}{c}$$

$$\text{c.i.e.l} \quad c = \frac{2eb}{e+b}$$



$$\frac{1}{2} C_0 V^2 = L + \frac{1}{2} C_0 V^2$$

$$\text{c.i.e.l} \quad L = (C_0 - 1) \frac{1}{2} C_0 V^2$$



$$V_2 = V_0 - R_1 i \quad (= V_0 - R_1 \frac{V_2}{R_2}) \quad \text{c.i.e.l}$$

$$V_2 \left( 1 + \frac{R_1}{R_2} \right) = V_0 \quad \text{c.i.e.l}$$

$$V_2 = \frac{V_0 R_2}{R_1 + R_2}$$

$$(\pi r^2) |EI| = \frac{l}{\epsilon_0} (\pi r^2) n, \text{ cioè } |EI| = \frac{\rho n}{\epsilon_0} i$$

$$(\pi r^2) \left( EI - \frac{\rho n}{\epsilon_0} \right) = \frac{l}{\epsilon_0} \cdot 0, \text{ cioè } |EI| = \frac{\rho n}{\epsilon_0} !$$

in effetti LA MEDIA DI  $\frac{\rho n}{\epsilon_0}$  SUL TOTAL E'  $\frac{l}{\epsilon_0} \cdot \frac{1}{2} \left( \frac{\rho n}{\epsilon_0} \right)$

$\Delta_{\text{effettivo}} = \left( \left( \frac{\rho n}{\epsilon_0} \right) \cdot c \right) = \frac{\rho n^2}{2\epsilon_0}$

$= \frac{\rho n^2}{2\epsilon_0}, \text{ cioè il lavoro E' } F \cdot e =$

$= \left( e \left( \frac{\rho n}{\epsilon_0} \right) \right) \cdot c !$

$\frac{1}{C} \rightarrow \frac{1}{2} \frac{Q^2}{C} =: W$  ; 
 $\frac{1}{2} \frac{(Q/2)^2}{C} + \frac{1}{2} \frac{(Q/2)^2}{C} = \frac{1}{2} W$ , Dunque

fiorde dell'energia si accende fare ! One 
 $\frac{Q}{6} = \frac{1}{3} \left( \frac{Q}{2} \right)$ 
 $\frac{2}{3} \left( \frac{Q}{2} \right) = \frac{Q}{3}$   $\rightarrow \frac{1}{2} \frac{(Q/6)^2}{C} + \frac{1}{2} \frac{(Q/3)^2}{2C} =$ 
  
 $\frac{1}{2} \frac{(Q/6)^2}{3C} + \frac{1}{2} \frac{(Q/24)^2}{C} = \dots = \frac{1}{2} \frac{(Q/6)^2}{4C} = \frac{1}{244} W$

onie si accende fare  $1 - \left( \frac{1}{4} + \frac{1}{18} + \frac{1}{244} \right)$  (in %) ,

Stabilmente, con  $k \geq 2$  interi, si ha  $V_1 = \frac{V_0}{k}$  e  $V_2 = \frac{V_0}{n}$   
 $(= \frac{V_0}{k^2})$  Condizione (equaz.)  $R_1 : R_2 : R_3 = (k-1) : k : n-1$  ;  
 in effetti  $\begin{cases} V_1 = V_0 - i_1 R_2 \Rightarrow i_1 R_2 \\ V_2 = V_1 - i_2 R_3 = V_0 - (i_1 + i_2) R_3 \end{cases} \Rightarrow i_1 + i_2 = i$

$V_1 = \frac{V_0}{k} \Leftrightarrow \frac{V_1 + i_1 R_2}{k} = \frac{V_2 + i_2 R_3}{k} \Leftrightarrow i_2 R_3 (n-1) = i_1 R_2$ , cioè  $\frac{R_2}{R_3} = \frac{i_2 (n-1)}{i_1}$  ;

analogamente  $V_2 = \frac{V_0}{n} \Leftrightarrow \frac{V_2 + i_2 R_3}{n} \Leftrightarrow (i_2 R_3) \frac{n-1}{n} = \frac{i_1 R_2}{n}$ , cioè  $\frac{R_2}{R_3} = n-1$  ; infine

$\frac{i_1}{i} = \frac{k-1}{n} : \begin{cases} i_1 R_2 = V_0 - V_1 = V_0 - \frac{V_0}{k} = \frac{n-1}{n} V_0 \\ i_2 R_3 = V_2 - V_1 = V_2 - \frac{V_0}{n} = \frac{n-1}{n} V_0 \end{cases} \Rightarrow \frac{i_1}{i} = k$  ADYEE

~~ma  $i_1 = i - i_2$~~  cioè  $i = k(i - i_2) = ni - n i_2$ , cioè  $ki_2 = (n-1)i$  !

Semplificate le formule su dipolo elettrico e campo magnetico (o fine)

perche' e' grande distanza ("eff. di dipolo") entro E e B

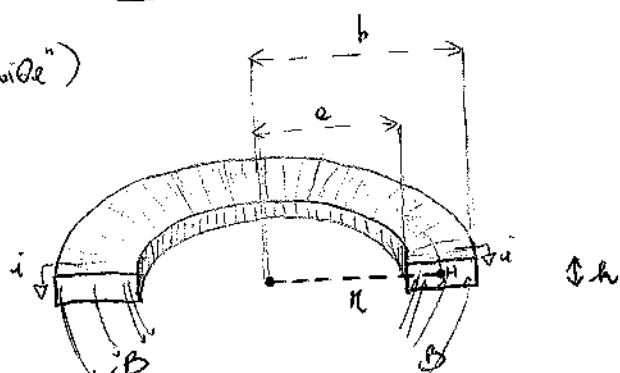
$$\text{per effetto} \quad \left\{ \begin{array}{l} \text{not } E = 0 \text{ (come)} \\ \text{Dip } E = \frac{\mu_0 i}{4\pi r^3} \approx 0 \end{array} \right. \quad \text{e} \quad \left\{ \begin{array}{l} \text{Dip } B = 0 \text{ (come)} \\ \text{not } B = \mu_0 i \approx 0 \end{array} \right. \quad \text{!} \quad \text{(come nel orologio)}$$

Per lo stesso motivo tali relazioni approssimate in autovarico i risultati fatti di solito.

$$\text{not } B = \mu_0(i + \epsilon_0 \frac{\partial E}{\partial t}) \rightarrow \text{il quesito ora contiene "giusto":}$$

$$0 = Q_{\text{av}}(\text{not } B) = \mu_0(Q_{\text{av}} i) + \mu_0 \epsilon_0 \frac{\partial}{\partial t} (Q_{\text{av}} E) = Q_{\text{av}} i + \frac{\partial f}{\partial t} \quad !$$

("toroidale")



$$(2\pi a) |B| = \mu_0 N i \rightarrow \text{cioè}$$

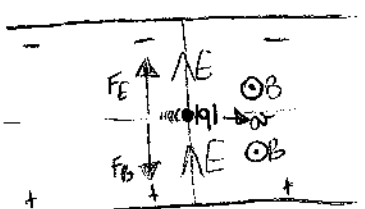
$$|B| = \frac{\mu_0 N i}{2\pi a} ; \text{ allora } \frac{|B|}{(N)} =$$

(ordine di grandezza)

$$= \int_a^b |B|(da) = \frac{\mu_0 N i h}{2\pi} \int_a^b \frac{da}{r} \quad ,$$

(con  $\log(b/a)$ )

$$\text{di cui facilmente } L = \frac{\mu_0 N^2 h}{2\pi} \log(b/a)$$



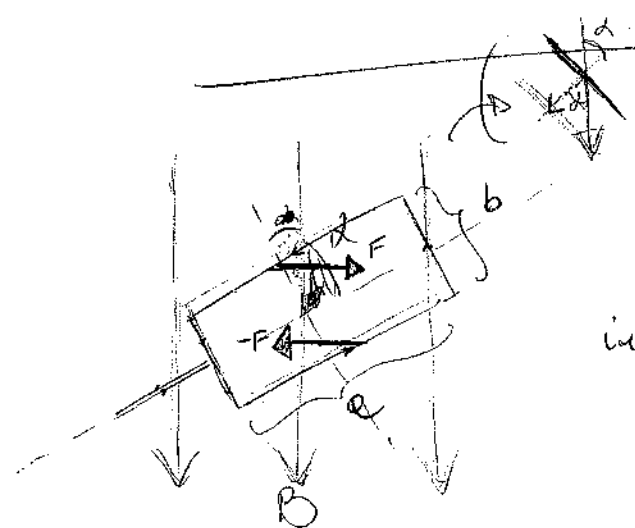
$$|\mathbf{q}| |E| = |\mathbf{q}| |i| \omega |B| \Leftrightarrow |\mathbf{q}| = \frac{|E|}{|B|}$$



$$\frac{m \omega t}{\lambda} = |\mathbf{q}| \omega |B| \Leftrightarrow \lambda = \frac{m \omega t}{|\mathbf{q}| B} ; \text{ nel caso generale}$$

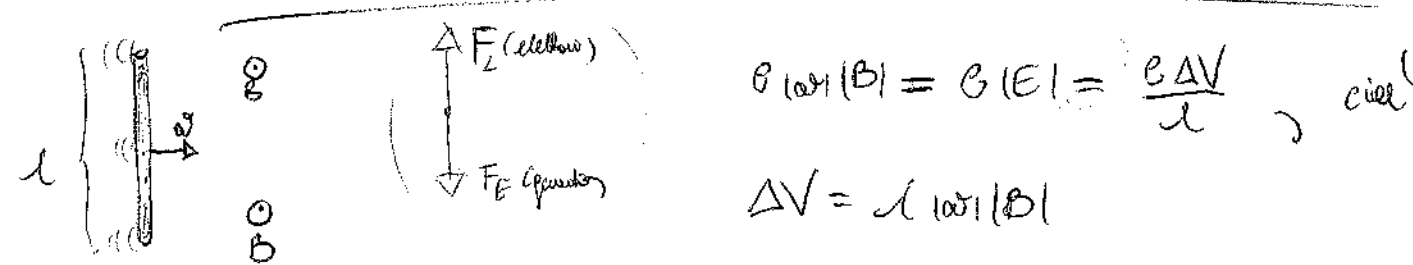
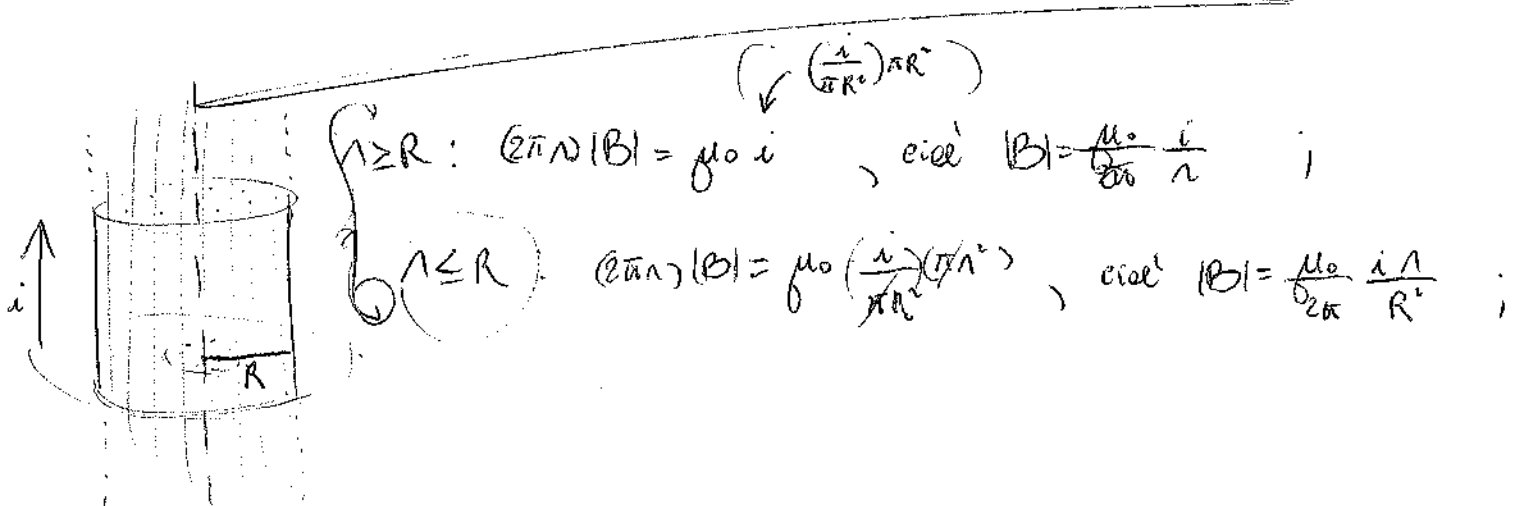
$$\omega = \omega_r + \omega_\perp \quad (\mathbf{r} \perp \mathbf{B}) , \text{ dove } \omega_r \text{ non si muove}$$

Magnetico del B, mentre altre viene trasferite congiuntamente nel nostro effetto elettrico, e dove la traiettoria del moto è un elice circolare e fissa costante.



$$|M| = b |F| = b (i e B \cos \omega) \quad , \text{ di fatti}$$

$$\text{in generale} \quad |M| = i e b (B \cos \omega) N_{\text{turn}} .$$



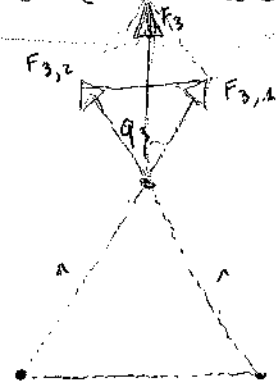
$$\text{Se "collaudato" tempo} : M_p = i l (B) ; \text{ ma } i = \frac{l (\omega t)}{R} \frac{l (t)}{t} ;$$

$$= \frac{l (B)}{R} \omega t \quad ; \quad \omega t = \frac{M_p R}{l^2 B^2} ; \quad \text{intensità forza intesa}$$

$$\text{invece } M_p = \frac{(M_p l^2 B^2)}{R} \Rightarrow M_p = \text{const} \quad , \text{ cioè un "pendolo"}$$

$$\ddot{\theta} = - \frac{l^4 B^2}{m R} \theta \quad , \text{ cioè (es) = g!} \quad \text{altrimenti } \frac{l^4 B^2}{m R} .$$

EX Due cerchi fatti di puro  $q_1 = q_2 = 50 \text{ nC}$  e  $q_3 = 80 \text{ nC}$  sono posti nel piano ( $x$  in quiete) e la distanza fra le due è  $r = 2 \text{ cm}$ . Cosa deve essere uguale a  $r$  per che il campo delle due cerchi sia eguale a  $q_3$ ?



Le forze agenti su  $q_3$  sono effetto delle due

cerchi  $q_1, q_2$  e le risultanti sarebbero

delle due forze fra  $q_1, q_3$  e  $q_2, q_3$ ; j

(Nota:  $1 \text{ nC} = 10^{-9} \text{ C}$ )

cioè, le forze fra le due cerchi  $q_1, q_2$  (rispetto al centro in quiete) dovendo essere null'altro che l'attrazione  $F = \frac{k}{4\pi\epsilon_0} \frac{q_1 q_2}{r^2}$  (dove

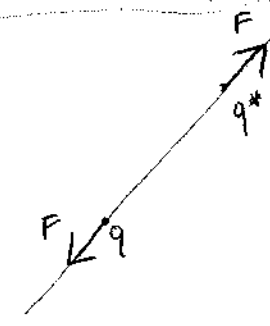
$\epsilon_0 = 8.854 \times 10^{-12} \text{ C}^2/\text{Nm}^2$ ), diremo che nella configurazione

le due cerchi si avranno dei segni delle

cerchi ( $+ +, - -$  si respingono;  $+ -$  si attraggono).

Per avere la forza (riflusso)  $F_{3,2}$  che agisce

sulla  $q_3$  e come da  $q_2$  il diametro uguale alla



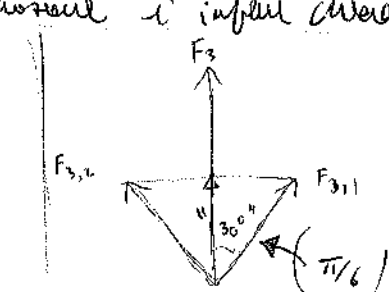
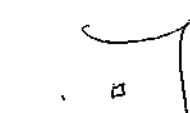
forza  $F_{3,2}$  sull' $q_2$  in  $q_3$ , e facciamo  $F_{3,2} = F_{3,1} =$

$$= \frac{k}{4\pi\epsilon_0} \frac{q_1 q_3}{r^2} = \frac{k}{4\pi \cdot 8.854 \cdot 10^{-12} \text{ C}^2/\text{Nm}^2} \frac{5 \cdot 10^{-9} \text{ C} \cdot 8 \cdot 10^{-9} \text{ C}}{(2 \cdot 10^{-2})^2 \text{ m}^2} =$$

$$= \frac{5}{2\pi \cdot 8.854} \text{ N} \approx 0.09 \text{ N} ; \quad \text{dalle relazioni si infierà che}$$

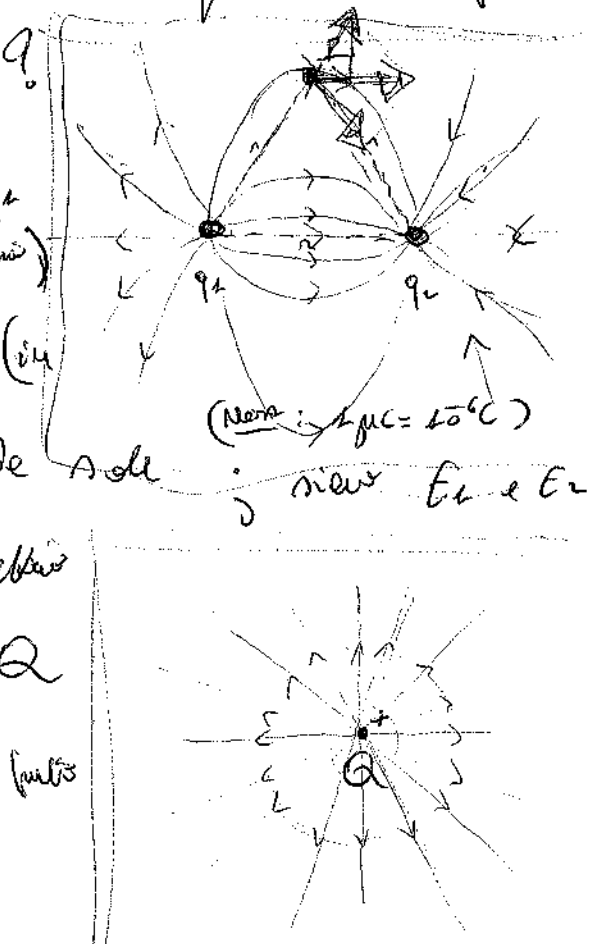
che queste  $F_3$  debba essere  $F_3 =$

$$= \sqrt{F_{3,1}^2 + F_{3,2}^2} \cos(30^\circ) = 0.09 \cdot \sqrt{3} \text{ N}$$



(Ex) Due cariche ~~l'una~~  $q_1 = 0.4 \mu C$  e  $q_2 = -0.4 \mu C$  sono poste nel piano z ordinata  $r = 2 \text{ cm}$ : quanto vale l'intensità del campo elettrico se le due cariche si muovono in un punto P a distanza  $r$  da ciascuna di loro?

~~Si~~ Il campo elettrico generato da  $q_1$  e  $q_2$  (in un qualsiasi punto del piano) è la somma vettoriale dei campi elettrici (in quel punto) che  $q_1$  e  $q_2$  generano da sole risp. Allora, in punti, il campo elettrico  $E$  generato da una carica  $Q$  (nel senso di quiete) ~~è~~ in un punto e distante  $|r| > 0$  da  $Q$



$$E = \frac{1}{4\pi\epsilon_0} \frac{Q}{r^2} \quad (\text{oss. } E \text{ oblie' direzione radiale, verso l'esterno})$$

della carica  $Q$  ~~è~~ (verso l'esterno da  $Q$  in +, verso l'interno)

e modulo  $|E| = \frac{1}{4\pi\epsilon_0} \frac{|Q|}{r^2}$

quindi  $|E_1| = |E_2| = \frac{1}{4\pi\epsilon_0} \frac{|q_1|}{r^2} = \left( \frac{1}{4\pi \cdot 8.854 \cdot 10^{-12}} \frac{4 \cdot 10^{-4}}{4 \cdot 10^{-4}} \right) \frac{N}{C}$

$$\Rightarrow \frac{1}{4\pi \cdot 8.854} \cdot 10^9 \text{ N/C} \cong 8.99 \cdot 10^6 \text{ N/C}$$

e in condizione di simmetria  $(E_1 = |E_2|) (= 2 |E_1| \cos(60^\circ))$



(Ex) Mission di cui mi sono di fatto

V, Schwester Sie were meinetwegen S, sehr

Die neue Dichtelandschaft Continue zu machen

mittwoch, soviel für meno alle zwei

DENSITÀ VOLUMETRICA DI CARICA ELETTRICA  $\rho = f(n, m, z)$

$$f(x, w, v) := \frac{\partial g}{\partial v}$$

~~As we do it we have to take care not to let~~

procedure isWitness of obtains of units  $P := (n_1, n_2)$

Cache' in DV cache'  $Dg = \text{fleuren} DV$

el quinto Me cene baste intre el celme V e' sete de

$$q = \int_V \rho dV = \int_V \rho(x, y, z) dx dy dz . \quad \text{If free we}$$

Formule per il calcolo dell'imburto del campo elettrico, in cui fatto  
 $I = \text{forn} \cdot \text{effe max}$ , questo se una tale di resistenza sarebbe  
 un circuito elettrico.

$\Rightarrow p(n) = q \cdot 8(n)$ ,  $n \in \mathbb{N}$  nell'opzione

For any  $P' := (n', m', r')$  in  $\check{V}$ , we

represent importance of a volume due

certainty of ~~the~~ the el

No cubics (use curve as)  $\partial g^i = \cancel{\int f(x^1, x^2, z^1) P(x^1)}$  (for self)

Me above il Camp elettori in P giorni nelle circoscrizioni

$$Q_E = \frac{t}{4\pi\epsilon_0} \left( \frac{\partial V}{\partial t} \right) \frac{pp}{|r_1 r_2|^3}$$

l' si debba compiere  $\vec{r}^1$  al  $\vec{r}$ ; per l'elemento av  $\vec{r}^1$  è quindi

$$E(P) = \int_{\vec{r}^1 = (x^1, y^1, z^1)!}^{\vec{r}} \omega E = \int_{\vec{r}^1}^{\vec{r}} \omega E \quad (\in \text{Spazio})$$

$$= \frac{1}{4\pi\varepsilon_0} \int p(x^1, y^1, z^1) \frac{\vec{r}^1 \cdot \vec{P}}{(\vec{r}^1 \cdot \vec{r})^3} dxdydz$$

(che coincide con l'integrale tridimensionale)

Un  $\vec{F}$  si dice conservativo se risulta  $\nabla \times \vec{F} = 0$

Cerchiamo  $E$  ; dove deve essere operato su un cerchio di raggio  $r$  esattamente  $F = q \cdot E$ . Ora, il

"verso elementare" che  $F$  compie quando  $q$  ~~attraversa~~ attraversa infinitesimalmente  $dS = i dx + j dy + k dz$  è  $dL = F_x dx +$   
 $+ F_y dy + F_z dz$  ( $\propto F := (F_x, F_y, F_z)$ ) cioè

$$dL = F \cdot dS \quad ) \quad \text{per cui, se } q \text{ si sposta da un punto } A \text{ ad un altro } B \text{ su una curva } \gamma, \text{ allora}$$

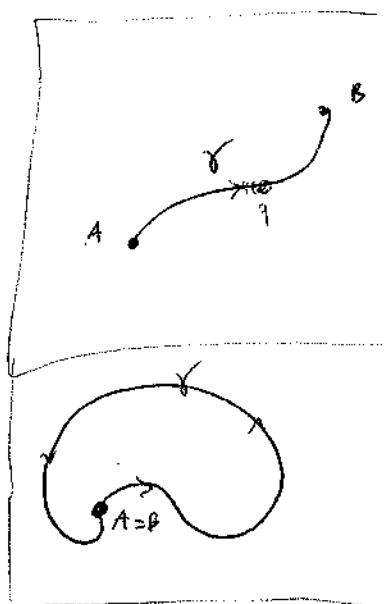
il lavoro che compie su  $q$  è dato dal

lavoro di  $L_\gamma(A \rightarrow B) = \int F \cdot dS$  (anche

indotto da  $\int_{A \rightarrow B} F \cdot dS$ ) ; nel caso

che  $A = B$ , qualche  $\gamma$  sia chiusa, tale

integrale di  $L$  la circolazione di  $F$  lungo  $\gamma$  ed il simbolo  $\oint_\gamma F \cdot dS$ .



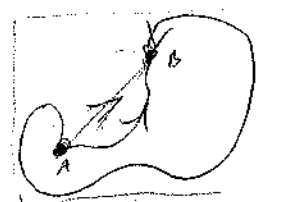
Sono equivalenti s.) gli' interpreti av linee  $\{ F \cdot \partial s \}$  altrimenti

nel segnale avremo  $\gamma$  se (2) la curvatura di  $F$  lungo

l'arco  $\gamma$  (i' dire) ; soprattutto solo

equivalgono il fatto che il campo vettoriale  $F$  nel

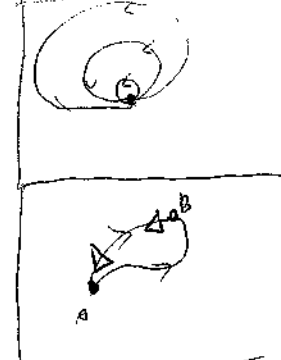
giacimento  $\Omega$  ha campo scalare  $\rightarrow$  conservativo



$$F = -\nabla U$$

(cioè  $F_x = -U_x, F_y = -U_y$

e  $F_z = -U_z$ ) .



In effetti, se  $F = -\nabla U$ , allora  $\{ F \cdot \partial s \} =$

$$= \oint - \int_{\gamma} \nabla U \cdot \partial s = - \int (i U_x + j U_y + k U_z) (i dx + j dy + k dz)$$

$$= - \int (\underbrace{U_x dx + U_y dy + U_z dz}_{\partial U}) = \cancel{\int_{A \rightarrow B} \partial U}$$

$$= - [U(B) - U(A)] =$$

$$= U(A) - U(B) \quad \text{Sfere nel segnale stesso}$$

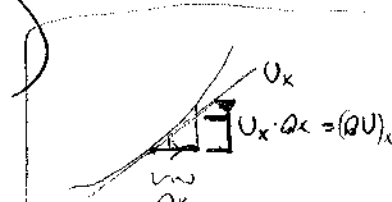
$$\text{o } \gamma \quad (\text{e } A=B \Rightarrow \oint F \cdot \partial s = 0 !) ; \text{ il}$$

altrimenti i' fini intervento nel campo ...

In tal caso  $F$  è CONSERVATIVO (e IRROTATORIALE : in

effetti, se  $F = -\nabla U$ , allora  $\operatorname{rot}(F) = \nabla \times F = 0$  ; il vettore è

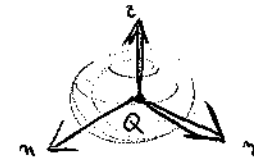
una <sup>sfere</sup> simmetrica centrale, con  $\mathbb{R}^3$ )



Il fatto infatti, ed è, è che il campo elettrico generato da una sorgente sottrattiva si trova in quiete (nel senso) è un campo conservativo, cioè tale che il lavoro compiuto

dalle forze del campo ~~mediante~~ "per portare" una  $+ -$  carica  $q$  da  $A$  a  $B$  non dipende dalla traiettoria per cui si muove la carica da  $A$  a  $B$ , ma solo da  $A$  e  $B$  stessi.

I E' questo che viene chiamato  $\mathcal{L}_g(A \rightarrow B)$ .

~~Per~~ ~~che~~ Perché  $Q$  nell'espansione del volume si sposta, e' in questo punto molto più  $F = \frac{k}{4\pi\epsilon_0} Q \frac{r}{|r|^3} q = q \frac{Q}{4\pi\epsilon_0} \frac{r}{|r|^3}$ , per cui  $\mathcal{L}_g(A \rightarrow B) = \int_{\gamma} F \cdot d\alpha = \frac{qQ}{4\pi\epsilon_0} \int_{\gamma} \frac{r}{|r|^3} \cdot d\alpha$ . 

$$\text{Ma } d\alpha = d\Omega \Rightarrow \mathcal{L}_g(A \rightarrow B) = \frac{qQ}{4\pi\epsilon_0} \int_{\gamma} \frac{1 \cdot d\Omega}{|r|^3} (= A) \\ = \frac{qQ}{4\pi\epsilon_0} \int_{\Omega_A} \frac{\omega(r)}{|r|^3} dr = \frac{qQ}{4\pi\epsilon_0} \left[ -\frac{1}{|r|} \right]_{|r|=r_A}^{|r|=r_B} = \frac{1}{2} \omega(r_B) \\ = \frac{qQ}{4\pi\epsilon_0} \left[ \frac{1}{r_A} - \frac{1}{r_B} \right]$$

$$= \frac{qQ}{4\pi\epsilon_0} \left[ \frac{1}{r_A} - \frac{1}{r_B} \right], \text{ e allora il campo radiale}$$

$U$  tale che  $F = -\nabla U$ , per cui  $\mathcal{L}_g(A \rightarrow B) = U(A) - U(B)$

è il chiaro fenomeno che  $U(r) = \frac{qQ}{4\pi\epsilon_0} \frac{1}{r} + \text{costante}$

Notiamo che quando l'energia potenziale  $U$  ha valore minimo

~~$\frac{C^2}{C^2/(Nm^2)}$~~   ~~$\mu$~~  =  $Nm = J$  (Joule) ; in effettu, per  
 fare un cerchio di forza in un piano  $A$  ( $= \pi A$ ) "dall'interno" →  
 obbiamo  $\oint_{\text{ciclo}} (A \rightarrow \infty) = U(A) - U(\infty) =$   
 $= U(A) - \text{costante} = \frac{qQ}{4\pi\epsilon_0} \frac{1}{r_A}$  : tenere bene  
 la costante in  $U$  appena e 0 cascata'  $U(r) = \frac{qQ}{4\pi\epsilon_0} \frac{1}{r}$   
 riferendo  $\Delta$  per  $r$  il raggio per fare una forza di  $q$  in  
 un piano "dall'interno" j ciò si deve fare che la distanza tra q  
 e  $Q$  divenga infinita . , In effetti, fai' calcolando,  
 $U(r) < 0$  ( $\text{caso naturale}$ )  $\Leftrightarrow q \neq Q$  non sono opposti (caso ri-  
 obbiamo, più forte!) , ma solo in realtà sarebbe altre cose se  
 $q \neq Q$  ; invece  $U(r) > 0 \Leftrightarrow q \neq Q$  non sono opposti,  
 e in quel caso avremmo , se  $q$  è l'oscillante ad una ferocia di  
 mossa in  $(\gg)$  ( $\text{inizialmente in quiete}$ ) , dove  $q$  è mai' sollecitato perché  $Q$  frena  
 movimento di  $\frac{qQ}{2\pi\epsilon_0 r_A^2} = L = U$ ,  
 cioè  $\omega_f = \sqrt{\frac{qQ}{2\pi\epsilon_0 r_A^2}}$   
 Come allora faccio effettuare che  $\int F \cdot dr = 0$  ; me  
 dunque ciò vale per  $F = F/q$  , se è vero che

$$\text{defin} \quad V(A) := \frac{U(A)}{q}, = \frac{1}{q} \int_A^{\infty} F \cdot d\sigma = \int_A^{\infty} E \cdot d\sigma, =$$

$$= \frac{Q}{4\pi\epsilon_0} \frac{1}{r_1} \quad : \quad \text{chiemisch}$$

$V(n) = \frac{Q}{4\pi\epsilon_0} \frac{1}{rn}$

il

POTENZIALE ELETTROSTATICO ~~potenziale~~ de  $Q$  e distanza  $r$ .

Dunque tale carica cel  $\frac{L_{n \rightarrow \infty}}{q}$ ; MA ALTRIMENTI

Le differenze di potenziale ~~potenziale~~  $\rightarrow$  D.P.F., d

TENSIONE, tra due punti A e B si ha

$$\Delta V = V(A) - V(B) = \int_A^{\infty} E \cdot d\sigma - \int_B^{\infty} E \cdot d\sigma =$$

$$= \int_A^B E \cdot d\sigma = \frac{L(A \rightarrow B)}{q}$$

Dunque in generale

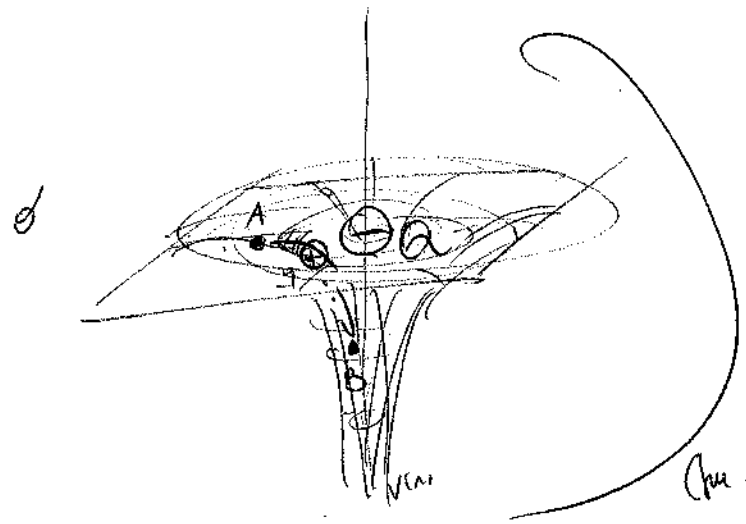
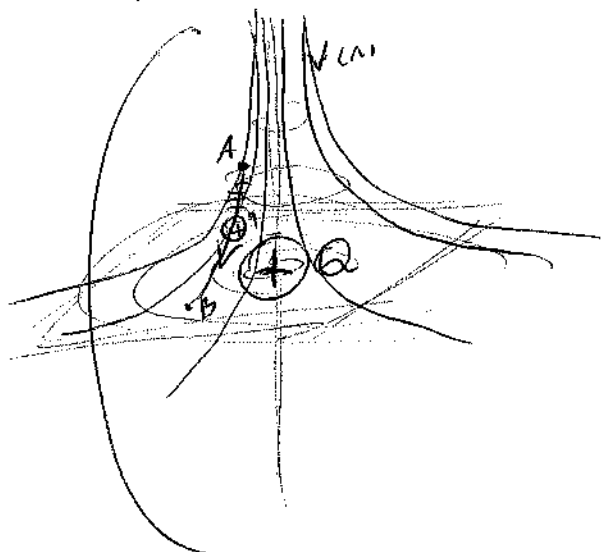
$$\boxed{\Delta V = V(A) - V(B) = \frac{L(A \rightarrow B)}{q}} \quad ; \quad \text{diminuisce } \propto q \text{ e}$$

perche: ~~aumento~~ ~~diminuzione~~

~~potenziale~~  $V(A) > V(B) \Rightarrow L(A \rightarrow B) > 0 \Rightarrow$  le forze attive attrattive il campo  $\vec{E}$  di  $A$  e  $B$ ; invece  $V(A) < V(B) \Rightarrow L(A \rightarrow B) < 0 \Rightarrow$  le forze attive  $\vec{E}$  di  $A$  e  $B$  maggiore numero e minor distanza per contrastare la spinta attiva;

il fatto che per ~~potenziale~~  $q$  maggiore le

consiste à offrir ; au contraire : in un campo elettrico, le fibre del campo tendono a muoversi con verso + verso (verso la densità elettrica minore), e dunque anche - verso verso con forza elettrica maggior.



(fig +)

Motore per che la densità elettrica è d.s.f. meno volte  $\frac{I}{C}$  minore : Definisco il volt come  $1V = \frac{1J}{1C}$  j

$$\text{in fedelate } [E] = \frac{N}{C} \left( = \frac{N \cdot m}{C \cdot m} \right) \Rightarrow \frac{V}{m}$$

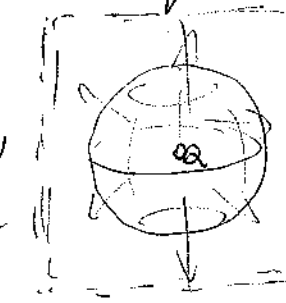
Motore che fa la forza di  $E$  è dato da

$$F = - \nabla V$$

Motore perché ha il rapporto equilibrato del campo elettrico

se  $Q$  sono le spine di carica (con carica minima diversa da  $0(V)$ ) quindi

(1.) Orbi di  $V$  non si chiude ma se ne fa un buco che si apre in un punto dove tutte stanno, allora il moto è 0



(2.) Nota poi che  $F(\propto E)$  debba essere  $\perp$  rispetto a  $V$ , in accordo al fatto perché che  $\nabla V$  è  $\perp$  alla sua

"come" si mette!

**II** Campi  $E$  generati da un insieme finito di cariche.

Considerate delle  $E$  che riceve (lettamente) dei singoli campi  $E_1, E_2, \dots, E_m$ , e assumiamo per questi che  $E_i = -\nabla V_i \quad \forall i \in \{1, \dots, m\}$ , si ottiene che  $E = E_1 + \dots + E_m = (-\nabla V_1) + \dots + (-\nabla V_m) \Rightarrow -\nabla(V_1 + \dots + V_m)$ ,

ovvero anche  $E = -\nabla V$ , con  $V = V_1 + \dots + V_m$ ; unica

estensione: solo il sistema di riferimento, oppure (anche) la distruzione

delle cariche  $Q_i$  per un rapporto  $\lambda_i$ , per cui  $V_i(\lambda) =$

$$= \frac{Q_i}{4\pi\epsilon_0} \frac{1}{|\mathbf{r}_{i\lambda}|}, \text{ e allora } V(\lambda) = V_1(\lambda) + \dots + V_m(\lambda) =$$

$$= \frac{1}{4\pi\epsilon_0} \left( \frac{Q_1}{|\mathbf{r}_{1\lambda}|} + \dots + \frac{Q_m}{|\mathbf{r}_{m\lambda}|} \right) \quad \checkmark$$

**III**  $E$  generato da una distribuzione continua di cariche.

(CASO GENERALE)

Se tale distribuzione è sparsa nelle dimensioni di carica  $p(x_{imn})$ , essa ha in un volume infinitesimo  $dV$  che contiene  $\mathbf{r}' := (x_{imn})$  ci sono cariche  $Q_q = p(x_{imn}) dV$ , allora

il campo elettrico generato da  $Q_q$  in un punto  $\mathbf{r} = (x_{imn})$  è

$$\partial E(x_{imn}) = -\nabla \partial V(x_{imn}), \text{ con } \partial V(x_{imn}) = \frac{1}{4\pi\epsilon_0} \frac{\partial q}{|\mathbf{r}' - \mathbf{r}|} \quad (\text{It's})$$

il ordine compiuta  $\mathbf{r}'$  e  $\mathbf{r}$ ) ; quindi in finale

$$V(L) = " \int \partial V " = \frac{1}{4\pi\epsilon_0} \int \frac{\partial q}{|L|} =$$

$$= \frac{1}{4\pi\epsilon_0} \int \frac{\rho(x^1, y^1, z^1) \partial x^1 \partial y^1 \partial z^1}{|L|} \quad (\text{interpretazione})$$

ovviamente in  $\mathbb{R}^3$  ; notiamo il vantaggio di calcolare  $V$ , su calcolare  $E$ , invece che calcolare  $E$  dalla definizione ! )

Notiamo che, se  $E$  è il vettore da  $Q_1, \dots, Q_m$  alla

$$\partial L = F \cdot \partial S = qE \cdot \partial S = q(E_1 + \dots + E_m) \cdot \partial S =$$

$$= q(E_1 \cdot \partial S_1 + \dots + E_m \cdot \partial S_m) \quad \begin{array}{l} \text{(a ogni parte della curva} \\ \text{corrisponde una} \\ \text{carica) } \\ \text{(somma dei lavori!)} \end{array}$$

$$= -q \partial V \quad , \quad \Rightarrow L(A \rightarrow B) =$$

$$= q \int_A^B E \cdot \partial S = q(V(A) - V(B)) \quad \begin{array}{l} \text{muovendo} \\ \text{il vettore} \end{array}$$

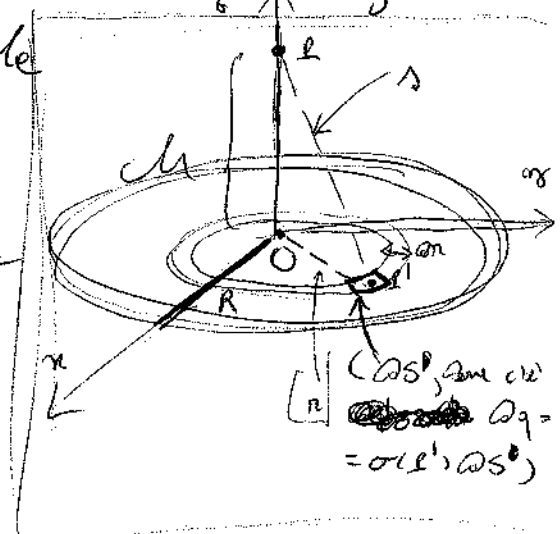
cioè in linea generale .

**EX** In un cerchio di raggio  $R > 0$  è presente una distribuzione di cariche elettriche con doppio simmetria  $\sigma$  ; si calcoli  $V$ , e quindi  $E$ , in un punto  $L$  dell'esterno del cerchio a distanza  $h$  dal centro.

$$\boxed{E} \quad \text{ovviamente } V(L) = \frac{1}{4\pi\epsilon_0} \int \frac{\partial q}{r} \quad , \quad \text{interpretazione di superficie}$$

Dove  $\sigma$  è l'area della base  $L$  e  $\ell$  l'elemento (induttore) di  
carica nello spazio interno a un piano fatto del quale  
sarebbe calcolare le integrale massima (che  
è minima dell'intensità) nulla

- \* circonferenza approssimata  $\pi (R + h)$  con area

$$A_0 = (2\pi R \Delta r) \cdot \sigma$$


$$V(L) = \frac{1}{4\pi\epsilon_0} \int_0^R \frac{\sigma \cdot 2\pi R}{\sqrt{R^2 + h^2}} \Delta r =$$

$$= \frac{\sigma}{2\epsilon_0} \cdot \left[ \int_0^R \frac{\pi}{\sqrt{R^2 + h^2}} \Delta r \right] = \frac{\sigma}{2\epsilon_0} (\sqrt{R^2 + h^2} - h) ; \text{ ovvero,}$$

$$\left( = \left[ \sqrt{R^2 + h^2} \right]_{h=0}^{h=R} \right)$$

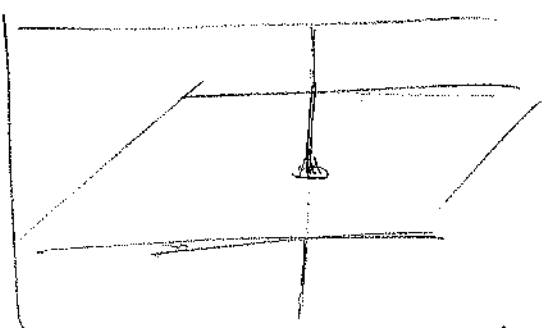
$$E = -\nabla V \Rightarrow E_1 = E_2 = 0, \text{ essendo } V \text{ costante in raggio,}$$

$$\text{mentre } E_3 = -\frac{\partial V}{\partial z} = -\frac{\partial V}{\partial h} = \frac{\sigma}{2\epsilon_0} \left( 1 - \frac{h}{\sqrt{R^2 + h^2}} \right). \quad \square$$

Le cose importanti è che QUINDI, se  $h$  è molto piccola rispetto a  $R$ , cioè  $R$  molto grande rispetto a  $h$ , allora  $E =$

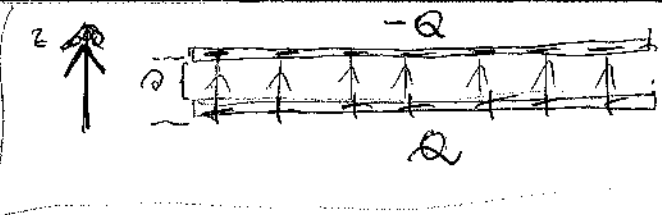
$$= E_3 = \frac{\sigma}{2\epsilon_0} ; \text{ cioè } E \text{ vale che}$$

{ una carica uniforme di area  $\sigma$  sara in un  
piano, con densità superficiale  $\sigma$ , genererà  
presso un campo elettrico uniforme di valore  $|E| = \frac{\sigma}{2\epsilon_0}$ .



Concludiamo allora UN CONDENSATORE (piano), ovvero

Un risultato importante da dire riguardo  
a questo tipo di spazio è che il campo elettrico



(nel senso) non ha alcuna  $\Rightarrow$  dipendenza riferita alle due cariche  $Q$  e  $-Q$  riportate (tutte le forze e le tensioni sono dovute alla carica totale del condensatore).

Si può fare un esempio (permettendo) che 1. se  $S$  è l'area di ciascuna carica, allora le cariche sono distribuite uniformemente con densità  $\frac{\pm Q}{S}$ ;

2. il campo elettrico (nella  $S$ ) è uniforme nulla all'interno del condensatore;

3. all'interno il campo elettrico  $E$  contiene la forza di attrazione delle cariche (non solo di carica).

$$\text{con intorno} \quad \frac{\sigma}{\epsilon_0} \quad (= \frac{Q}{\epsilon_0 S}) \quad (\text{fatto } E = -\nabla V)$$

E' ovvio allora che  $E$  sia la forza elettrica  $V(z) = -\frac{\sigma}{\epsilon_0} \cdot z + V_+$ , più ovviamente la forza elettrica dell'azione

$$\text{azione} \quad V_- = V(0) = -\frac{\sigma \cdot 0}{\epsilon_0} + V_+, \quad \text{e allora la}$$

differenza tra le due forze è

$$\Delta V = V_+ - V_- = \frac{\sigma}{\epsilon_0} \cdot 0 \quad [ \text{In effetti la forza netta è nulla.} ]$$

Perché, se per le due cariche  $Q$  delle cariche + e quelle -, le forze di attrazione sono  $F = q \cdot E \cdot d = q \cdot \frac{\sigma}{\epsilon_0} \cdot d$ ;

$$\text{Ma come scriviamo } \frac{F}{q} = \Delta V \quad ?$$

**Ex** Un elettrone, che ha massa  $m = 9.11 \cdot 10^{-31} \text{ kg}$  e carica

$q = -1.6 \cdot 10^{-19} \text{ C}$ , si muove da un punto

A ad un punto B. Si muova elettrone, sotto

Mentre delle sole forze del campo; se in

A la velocità nulla si ha D.Q.f tra A e B di  $\Delta V =$

$$= V(A) - V(B) = (-) 50 \text{ V} \quad (V = 5 \text{ V}) \text{, che velocità farà il campo per B?}$$

Il lavoro L fatto dalle forze del campo è  $L =$

$$= q \cdot \Delta V = 1.6 \cdot 10^{-19} \text{ J} \quad , \text{ a tale } v = \frac{1}{2} m v_B^2 -$$

$$- \frac{1}{2} m v_A^2 = \frac{1}{2} m v_B^2 \quad , \text{ da cui } v_B = \sqrt{\frac{2 \Delta V}{m}} = \sqrt{\frac{2 \cdot 1.6 \cdot 10^{-19} \text{ J}}{9.11 \cdot 10^{-31} \text{ kg}}} =$$

$$\approx 1.87 \cdot 10^6 \text{ m/s}$$

$$(J = \frac{m^2}{s^2} \text{ kg})$$

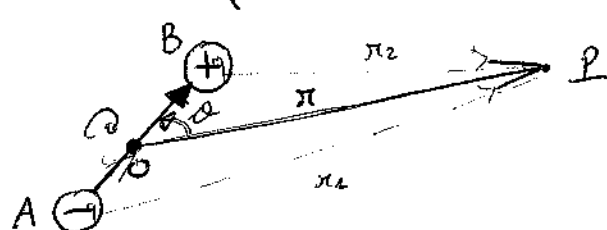
**Ex. IMPORTANTE.** Chiamiamo DIPOLO ELETTRICO un

sistema costituito da due cariche opposte  $q$  e  $-q$  poste a

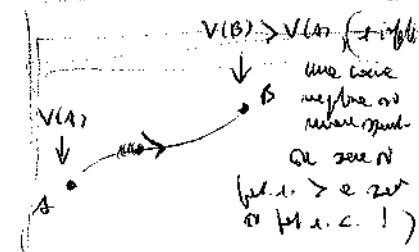
distanza  $|AB|$  fixate rispetto alle distanze ~~fra di~~ dei cariche

stesse e i punti delle quali nei quali interagire condividono il campo elettrico da loro generato. Colesteur dunque

tal campo in un punto P come in figura:



(P è niente volgare!)



$$\text{Foturito} \quad V(L) = \frac{\epsilon}{4\pi\epsilon_0} \left( \frac{q}{r_1} + \frac{(-q)}{r_2} \right) = \frac{q}{4\pi\epsilon_0} \left( \frac{\epsilon}{r_1} - \frac{\epsilon}{r_2} \right)$$

Se consideriamo  $r_1 \approx r_2$  (ossia suppose  $|r| \gg |\alpha|$ !) belli  $V(L)$  è  
(in questo caso) (sicché non si calcola ulteriormente che le due  
frazioni sono simili) Comunque, ricaviamo  $V(L) = \frac{q}{4\pi\epsilon_0} \frac{r_1 - r_2}{r_1 \cdot r_2} =$   
 $= \frac{q}{4\pi\epsilon_0} \frac{r_1^2 - r_2^2}{(r_1+r_2)(r_1+r_2)}$ , e osserviamo che  $r_1^2 - r_2^2 =$

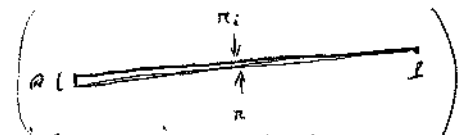
$$= \left| r + \frac{\alpha}{2} \right|^2 - \left| r - \frac{\alpha}{2} \right|^2 \quad (=) \quad 2\alpha \cdot r \quad (\text{d' dove si ricava la}}}$$

$$\text{(resta) } \|r + \alpha\|^2 - \|r - \alpha\|^2 = 4\langle r; \alpha \rangle \quad !$$

abbastanza  $V(L) = \frac{q}{4\pi\epsilon_0} \frac{2\alpha \cdot r}{r_1 r_2 (r_1 + r_2)}$ ; ora belli,

affrontiamo  $r_1 \approx r_2$  con  $|r|$ , facendo anche compiere l'affermazione

$$V(L) \approx \frac{q}{4\pi\epsilon_0} \frac{\alpha \cdot r}{|r|^3} \quad , \quad \text{tanto meglio quanto più } (r) \gg |\alpha| \quad !$$



Definiamo quindi il momento elettrico di doppio

$$P := q\alpha \quad (\alpha \text{ ; le unità di misura c.m.}), \quad \text{e}$$

osserviamo che  $\frac{P}{|r|^3} = -\nabla \left( \frac{\epsilon}{|r|} \right)$  ricavando dalla

$$V(L) \approx \frac{\epsilon}{4\pi\epsilon_0} \frac{P \cdot r}{|r|^3} = \frac{-\epsilon}{4\pi\epsilon_0} P \cdot \nabla \left( \frac{\epsilon}{|r|} \right)$$

Moral : per il calcolo di  $E(L)$  nell'ipotesi doppio delle cariche

Sul dipolo  $e$  sufficiente ne conoscere  $\vec{P} = q\vec{d}$  !  
 E' e fuorile campo  $E(L)$  : essendo che  $E = -\nabla V$  e  
 che, per le condizioni del problema  $\nabla(Q\varphi) = Q\nabla\varphi +$   
 $+ \varphi\nabla Q$ , con le scelte  $Q = p \cdot r$  e  $\varphi = \frac{1}{|r|^3}$   
 (in  $n$  !) ottieni  $E(n) = -\nabla V(n) = \cancel{\text{term}} - \frac{1}{4\pi\epsilon_0} \nabla(p \cdot n \frac{1}{|n|^3})$

$$= -\frac{1}{4\pi\epsilon_0} \left\{ p \cdot n \underbrace{\nabla\left(\frac{1}{|n|^3}\right)}_{\left(= -\frac{3n}{|n|^5}\right)} + \frac{1}{|n|^3} \underbrace{\nabla(p \cdot n)}_{(= P)} \right\} =$$

$$\frac{1}{4\pi\epsilon_0} \left\{ \frac{3(p \cdot n)n}{|n|^5} - \frac{p}{|n|^3} \right\} \quad ; \quad \text{e in particolare}$$

("giustamente")  $E(n)$  si calcola facendo uso di  $p \cdot n$  e  $n \cdot j$

$$\text{cioè, in generale } a \times (b \times c) = (a \cdot c)b - (a \cdot b)c \Rightarrow$$

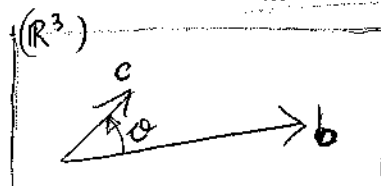
$$b \times (b \times c) = (b \cdot c)b - (b^2)c \quad ; \quad \text{e in particolare}$$

$$n \times (n \times p) = \underbrace{(n \cdot p)n}_{(= q \cdot n)} - (n^2)p \quad ; \quad \text{Dunque formiamo anche scelte}$$

$$E(n) = \frac{1}{4\pi\epsilon_0} \left\{ 2 \frac{(p \cdot n)n}{|n|^5} + \frac{n \times (n \times p)}{|n|^5} \right\} \quad ; \quad \text{il}$$

ove abbiamo usato ovviamente  $E = E_n + E_\theta$  con " $E_n$ " le componenti radiali di  $E$  e " $E_\theta$ " le componenti tangenziali a  $n$  ;

Ora, essendo in generale (in  $\mathbb{R}^3$ )



$$b \cdot c = |b||c|\cos(\alpha) \quad \text{e} \quad |b \times c| = |b||c|\sin(\alpha) \quad ,$$

Si considera ( $r_1 > |r|$ ), ponendo O come origine che ( $x$  è l'asse  
di  $r \in \mathbb{R}$ )

$$\left\{ \begin{array}{l} |E_r| = \frac{1}{4\pi\epsilon_0} \frac{2|P| \cos(\alpha)}{|r|^3} \\ |E_\theta| = \frac{1}{4\pi\epsilon_0} \frac{|P| \sin(\alpha)}{|r|^3} \end{array} \right.$$

(risultato che permette anche di ottenere direzionalmente  $|\nabla(r)| =$

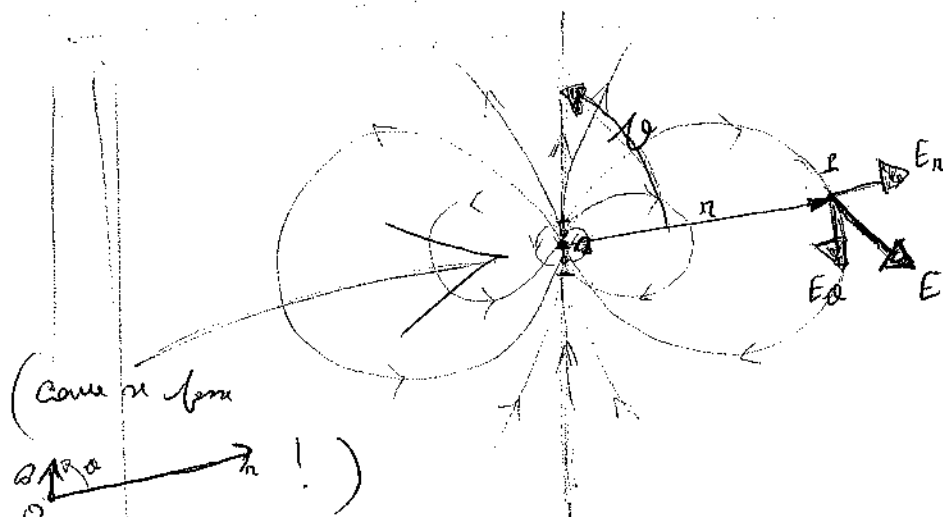
$$= \frac{1}{4\pi\epsilon_0} \frac{|P| \cos(\alpha)}{|r|^2} \dots )$$

, se poi si mette

$$|E| = \sqrt{|E_r|^2 + |E_\theta|^2} = \frac{1}{4\pi\epsilon_0} \frac{|P|}{|r|^3} \sqrt{1 + 3\cos^2(\alpha)}$$

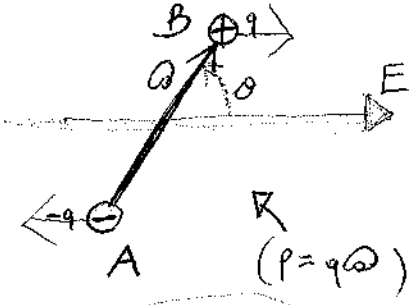
Dunque l'intensità del campo elettrico  $E$ , generato da un dipolo, varia  
proporzionalmente alla distanza ( $|r|$ ) del "dipolo" stesso secondo le leggi

$\frac{1}{|r|^3}$  e NON  $\frac{1}{|r|^2}$  come nel caso del campo elettrico  
generato da una sorgente cava funzionale.



□

**Ex** Consideriamo un doppio doppolo posto in un campo elettrico esterno  $E$ ; se con " $E_p$ " indichiamo tale campo in un punto



Si calcola rispetto, allora, le risultanti delle forze esercite sul doppolo.

$$\text{i) } F = (-q)E_A + qE_B = q(E_B - E_A) \quad ; \quad \text{nell'ipotesi} \\ \text{che } |\theta| \text{ sia "angolo fra i due" (nel senso che } E \text{ sono in modo} \\ \text{fissamente legati dalla relazione di } |\theta| \text{), forse effettuare} \\ \text{al (minimo) } E_B - E_A \approx \left( \frac{\partial E}{\partial x} \theta_1 + \frac{\partial E}{\partial y} \theta_2 + \frac{\partial E}{\partial z} \theta_3 \right) = \\ = (\rho \cdot \nabla) E \quad , \quad \Rightarrow F = (\rho \cdot \nabla) E \quad , \quad (\stackrel{E=-\nabla V}{=} - (\rho \cdot \nabla)(\nabla V))$$

$$\Rightarrow - \nabla(\rho \cdot \nabla V) = + \nabla(\rho \cdot E) \quad (\text{oss. le linee}$$

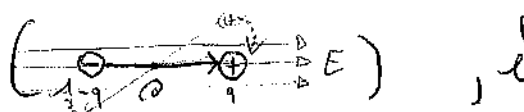
$$\text{componenti di } (\rho \cdot \nabla)(\nabla V) \text{ e } \frac{\partial(\frac{\partial V}{\partial x})}{\partial x} p_1 + \frac{\partial(\frac{\partial V}{\partial y})}{\partial y} p_2 + \frac{\partial(\frac{\partial V}{\partial z})}{\partial z} p_3 = \\ \stackrel{\text{(stima)}}{=} \frac{\partial}{\partial x} \left( \frac{\partial V}{\partial x} p_1 + \frac{\partial V}{\partial y} p_2 + \frac{\partial V}{\partial z} p_3 \right) = \frac{\partial}{\partial x} (\rho \cdot \nabla V) \quad :$$

Quindi il campo da cui parte in questione  $F$  è comunque, ovvero  $F = -\nabla U$  (per definizione campo scalare  $U$ ), e l'energia potenziale di un doppolo  $p$  "di fondo" è

$$U = -p \cdot E = -|p||E| \cos(\alpha)$$

**[ES.]**: se il nostro doppolo  $p_1$  ha la stessa forza netta elettrica fatta da un altro doppolo  $p_2$  a distanza  $|r_1|$  ("angolo minore" di  $|p_2|$ ), allora effettua  $p_1$  sarebbe energia potenziale  $U =$

$$= -p_1 \cdot E_2 = \frac{1}{4\pi\epsilon_0} \left\{ \frac{p_1 \cdot p_2}{|r_1|^3} - \frac{3(p_2 \cdot r)(p_1 \cdot r)}{|r_1|^5} \right\} . \quad \square$$

Calcoliamo infine il momento risultante  $M$  delle forze agenti sul  
 dipolo: queste saranno in linea effettivamente una coppia con  
 armi di misura  $|P|E \sin(\theta)|$ , per cui  $|M| = \underbrace{|F|}_{(=qEI)} \cdot \text{braccio} =$   
 $= |P| |E| |\sin(\theta)|$  ; mentre (per definizione)  $M \perp P, E$ ,  
 si osserva che le forze agenti fanno e sforzare il dipolo  
 parallelemente al campo elettrico diminuisce al  , e  
 $M = P \times E$ . (Motore che, puramente, illeso  
 risulta col momento risultante  $M$  delle forze per motore il dipolo. Se  
 un'orientazione parallela al campo elettrico sia ad un angolo  $\theta$  da  
 lo stesso  $\vec{r}$  si ha  $\int_0^{\theta} |M(\theta')| d\theta' = \int_0^{\theta} |P| |E| \sin(\theta') d\theta' =$   
 $= |P| |E| \left[ -\cos(\theta') \right]_{\theta=0}^{\theta=\theta} = U(\theta) - U(0)$ . 6 )  $\square$



# TEOREMA DELLA DIVERGENZA (o di Gauss)

il flusso di un campo vettoriale attraverso una superficie chiusa è uguale all'integrale delle divergenze del campo esterno alla regione di stessa racchiusa dalla superficie.

Siamo  $\mathbf{F}$  campo vettoriale (regolare) (per cui  $\text{div } \mathbf{F} =$

$$= \nabla \cdot \mathbf{F} = \frac{\partial F_1}{\partial x} + \frac{\partial F_2}{\partial y} + \frac{\partial F_3}{\partial z} \quad , \quad S \text{ superficie}$$

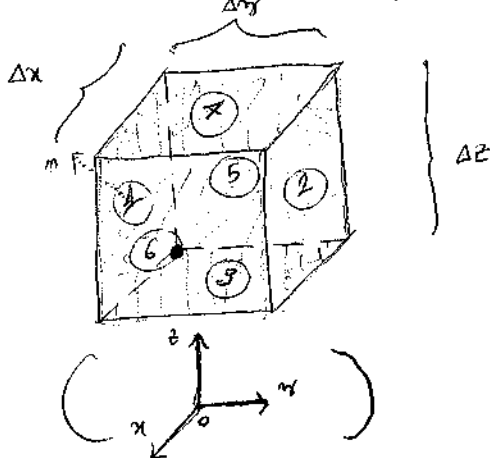
chiuse orientate con l'esterno col versore normale  $\mathbf{n}$

$\checkmark$  il volume che  $S$  racchiude : se fosse

$$\boxed{(\oint_S (\mathbf{F} \cdot \mathbf{n}) dS = \int_V \text{div } \mathbf{F} dV)}$$

(potremmo anche scrivere " $dV$ " invece di " $S$ ")

Distribui la regione  $V$  in "tanti" cubetti infinitesimi come in figura



⇒ superficie del cubetto =  $\Delta S$  (che racchiude un volume  $\Delta V$ )  $\Delta x \Delta y \Delta z = \Delta V$

⇒ facci perpendicolari all'asse  $x$  = ① e ②,  
quelle  $\perp$  a  $y$  = ③ e ④,  
quelle  $\perp$  a  $z$  = ⑤ e ⑥;

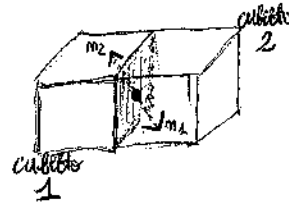
(versore normale rivolto verso l'esterno!)

$$\text{allora } \oint_{\Delta S} (\mathbf{F} \cdot \mathbf{n}) dS = \sum_{i=1}^6 \int_{\Delta S_i} (\mathbf{F} \cdot \mathbf{n}) dS ; \text{ M.R.}$$

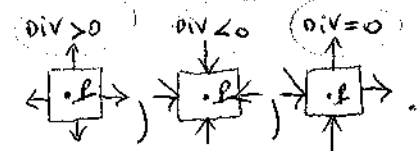
$$\text{in fine espressione, } \int_{\Delta S_1} (\mathbf{F} \cdot \mathbf{n}) dS = - \int_{\Delta S_2} (\mathbf{F}_2 \cdot \mathbf{n}) dS \approx -F_2(1) \Delta x \Delta z \text{ e}$$

$$\text{confrontivamente } \int_{\Delta S_2} (\mathbf{F} \cdot \mathbf{n}) dS = \int_{\Delta S_3} (\mathbf{F}_2 \cdot \mathbf{n}) dS \approx F_2(2) \Delta x \Delta z \approx$$

$\textcircled{N} \left( F_2(x) + \frac{\partial F_2}{\partial y} \Delta y \right) \Delta x \Delta z \Rightarrow \begin{cases} \int F \cdot \text{mQS} + \int F \cdot \text{mQS} = \\ \textcircled{1} \quad \textcircled{2} \end{cases}$   
 $= \frac{\partial F_2}{\partial y} \Delta x \Delta y \Delta z$  ; per riunire i costanti che, in modo  
 del tutto analogo, otteniamo da  $\textcircled{3}$  e  $\textcircled{4}$  il termine col  $\frac{\partial F_3}{\partial z}$ ,  
 mentre da  $\textcircled{5}$  e  $\textcircled{6}$  il termine col  $\frac{\partial F_1}{\partial x}$ , e dunque in  
 conclusione  $\oint_{AS} (F) = \int_{AS} F \cdot \text{mQS} \approx \left( \frac{\partial F_1}{\partial x} + \frac{\partial F_2}{\partial y} + \frac{\partial F_3}{\partial z} \right) \Delta x \Delta y \Delta z =$   
 $= (\text{div } F) \Delta V$ ; ma  $\int_{AS} \text{div } F \Delta V$  è proprio la somma  
 di TUTTI i termini  $(\text{div } F) \Delta V$ , cioè di tutti i flussi  
 impiantarini  $\oint_{AS} (F)$ , e tale somma coincide con  $\int_{S} F \cdot \text{mQS}$   
 in quanto il flusso  $\text{div } F$  obiettivo fece di cubetti interno alle  
 superficie i nello, ovvero che tali facevano confine nettanente  
 due volte come faceva di due cubetti opposti (quindi con numeri  
 opposti) :

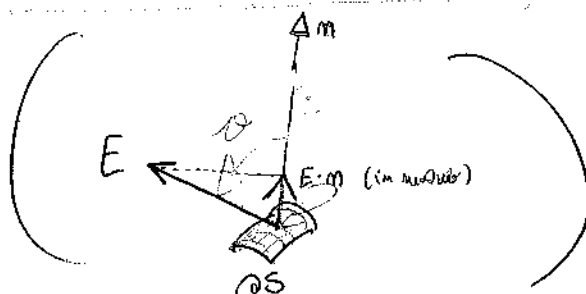


NOTA: potremmo esperimentivamente (ma meno comodamente) definire  
 le componenti di  $F$  in un unità  $L$  (però come il flusso  
 specifico (cioè per unità di volume) di  $F$  usante se  $L$ ),  
 ovvero  $\frac{\oint_{AS} (F)}{\Delta V}$  se  $L$  è nel cubetto di superficie laterale  $AS$   
 e volume  $\Delta V$  (), esendo così



Consideriamo una superficie infinitesima  $\partial S$  munita di versore normale  $n$  alle superficie stessa ; il flusso infinitesimo  $\Phi(E)$  del campo  $E$  attraverso  $\partial S$  è il prodotto di  $\partial S$  con <sup>(il vettore normale)</sup> la componente di  $E$  nelle direzioni normale alle superficie, cioè (essendo  $|n|=1$ ,  $E \cdot n = |E| \cdot \cos(\theta)$ , se  $\theta$  è l'angolo fra  $E$  e  $n$ )

$$[\Phi(E) := E \cdot n \partial S]$$



(il flusso di  $E$  attraverso  $\partial S$  convergeva a questo valore  $\Phi(E)$  quando le dimensioni di  $S$  (cioè  $\Phi$ ) erano infinite in  $S$  (cioè  $\Phi \rightarrow 0$ !))

Dunque  $\Phi(E)=0 \Leftrightarrow E$  è parallelo a  $\partial S$ , cioè  $\theta > 0 \Leftrightarrow$  "tacca" di  $E$  per  $\partial S$  (come insomma  $\theta = \pi$ ) e in tal caso è meno  $\Leftrightarrow E$  è perpendicolare a  $\partial S$ , cioè  $E \cdot n = |E|$ .)

Considerate allora una superficie (orientabile) arbitraria  $S$ , il flusso di  $E$  attraverso  $S$  è  $\boxed{\Phi_S(E) = \int_S E \cdot n \partial S}$

(NOTARE che l'elemento di area  $d\Phi$  è  $d\Phi_S$ !) (unità di misura =  $\frac{Nm^2}{c}$ )

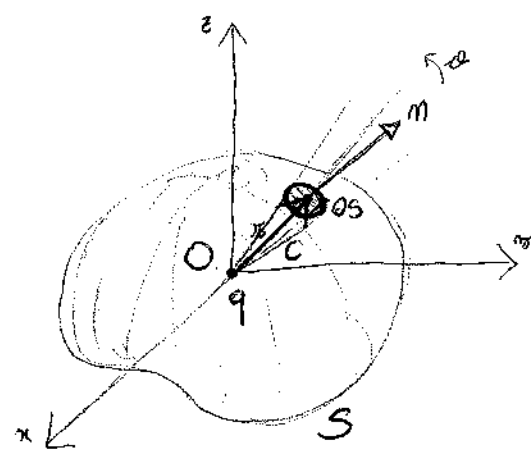
Caso I : sia  $q$  carica (puntiforme), che fissa nell'origine  $O$  del nostro sistema di riferimento ; allora, in un qualsiasi punto  $P$ , onde è distanza  $r = \overline{OP}$  da  $q$ , è

$$E(r) = \frac{1}{4\pi\epsilon_0} \frac{q}{r^3} \vec{r}$$

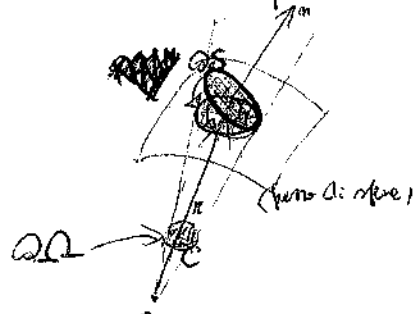
; considerate quindi una qualsiasi

Superficie chiusa (orientabile)  $S$  che circonda  $q$ , che orientiamo ponendo i vettori normali  $m$  che puntano verso l'esterno di  $S$ , avendo che  $\oint_S E \cdot m \, dS = \frac{q}{4\pi\epsilon_0} \int_S \frac{\mu \cdot m}{M^3} \, dS$ ,

Dove formalmente  $dS$  e' un piano infinitesimo che coincide con l'elemento infinitesimo di superficie staccato da  $S$  per un cono infinitesimo con vertice in  $O$ , come in figura :



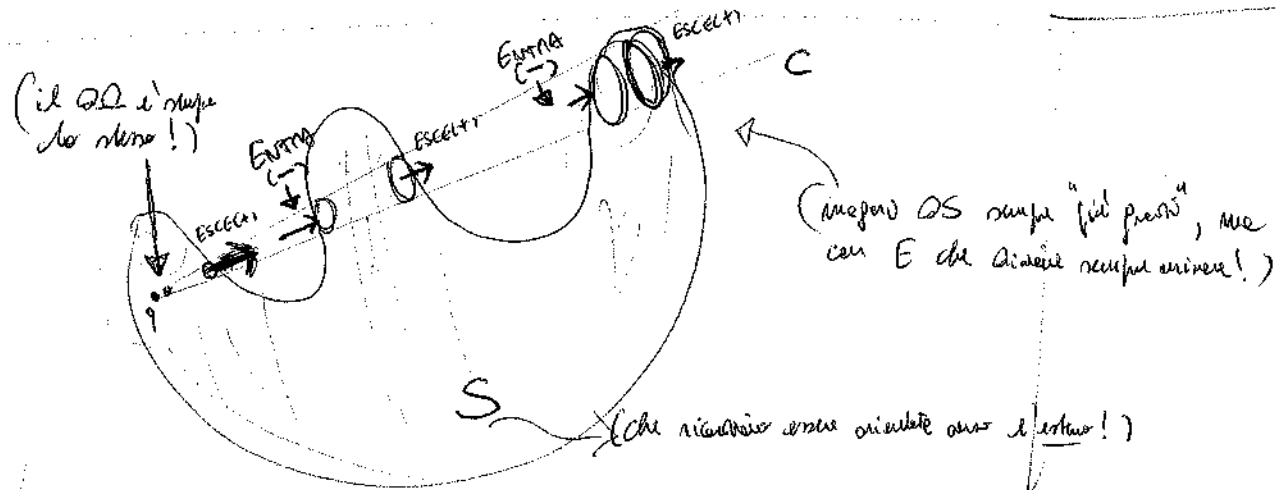
One,  $\frac{\mu \cdot m}{M^3} dS = \cos(\theta) dS$  ( $\Rightarrow$  la funzione  $\cos \theta$  sul piano bidimensionale  $x-y$  ( $\Rightarrow$  l'elemento infinitesimo di superficie staccato dal cono  $C$  nella sfera di centro  $O$  e raggio  $r$ )  
 $= M^2 d\Omega$ , dove ormai  $d\Omega$  e' l'angolo solidi del  $dS$  sottratto al cono  $C$  cioè :



Quindi, esteso a  $dS$ ,  $\oint_S \Phi(E) = \frac{q}{4\pi\epsilon_0} \frac{\mu \cdot m}{(M^3)} dS =$   
 $= \frac{q}{4\pi\epsilon_0} d\Omega$ , dove effettivamente  $d\Omega$  non piu' angolo solido infinitesimo (perche' deve  $d\Omega \geq 0$  e <math>\leq</math> perche' <math>\mu \cdot m</math>)

Si calcoli il campo infinitesimale che stacca gli elementi  $dS$  da  $S$ .

E' anche ovvio che il campo infinitesimale stacca subito anche diverse cariche  $q$  che unico infinitesimale vorrà in  $q$ , le modelli costanti.



Per  $\oint_{S+C} \mathbf{E} \cdot d\mathbf{l} = \frac{q}{\epsilon_0}$  (concluso), deduciamo infine che il campo

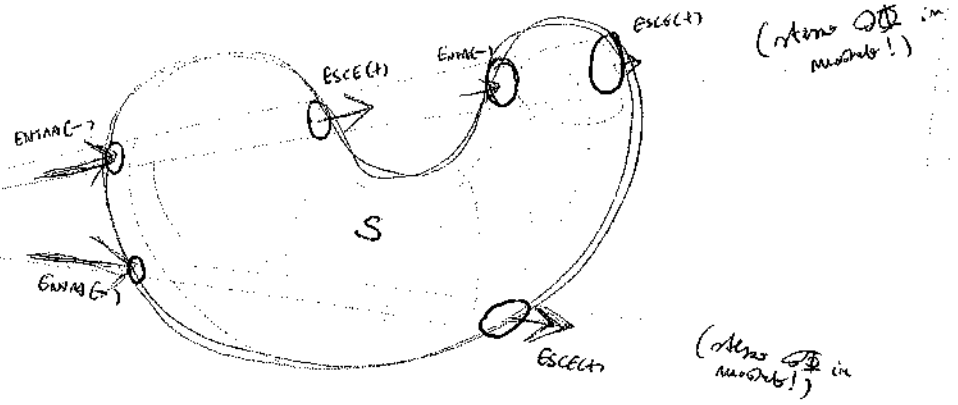
di  $E$  elaborato ~~sulla~~<sup>come</sup> superficie chiusa  $S$  circonda  $q$  di

$$\Phi_S(E) = \frac{q}{4\pi\epsilon_0} \int_{(S)} dA = \frac{q}{\epsilon_0} \quad (\text{in effetti "uscita" } q > 0 !)$$

Deduciamo quindi subito che, se  $S$  circonda più cariche (uniformali  $q_1, \dots, q_m$ ), allora la linea del campo

$$\Phi_S(E) = \Phi_S(E_1) + \dots + \Phi_S(E_n) = \frac{1}{\epsilon_0} (q_1 + \dots + q_m).$$

Notare solo : le cariche (elettrici)  $q$  esterne a  $S$  non contribuiscono affatto a  $\Phi_S(E)$ , in quanto chiaramente fanno i carichi infinitesimali di carica in  $q$  incarteggi  $S$  un numero finito di volte, e "tanto" entro questo "cerchio" finito, come sopra, fanno difese dei  $dQ$ .



Possiamo dunque scrivere che, sia in generale,  $\Phi_S(E) = \frac{1}{\epsilon_0} \sum$  (loro  
subfari interni a  $S^u$ ) .

In realtà c'è veramente che, essendo in generale, se S racchiude una distorsione contenuta di eccesso con densità (volume)  $\rho$  e se ne ripete lo stesso dentro S la volume  $V$ , allora

$$\boxed{\Phi_S(E) = \int_S E \cdot n dS = \frac{1}{\epsilon_0} \int_V \rho dq = \frac{1}{\epsilon_0} \int_V \rho dV}$$

Ecco il modo tecnico in formula del TEOREMA DI GAUSS :

il flusso totale del campo elettrico  $E$  attraverso una superficie chiusa è uguale alla carica totale interna alla superficie, divisa per  $\epsilon_0$ .

Allora, per il teorema delle divergenze,  $\Phi_S(E) = \int_S E \cdot n dS = \int_V \rho dV E \cdot n dV$ , e l'area totale della S chiusa

è uguale all'area totale dei volumi, per cui si ha anche

(risulta per fatto)

$$\boxed{\nabla \cdot E = \frac{\rho}{\epsilon_0}}$$

, formula che

essi equivalente e quelle presenti, mentre frequentemente le forme distinguibile delle formule (interpretate) presenti;

Quando le dipendenze da  $E$  in un punto siano uguali alle dipendenze volumetriche da corrispondenti punti, si dice che  $E$ .

Deduciamo quindi immediatamente l'equazione di Poisson per il potenziale elettrostatico, ovvero

$$\boxed{\Delta V = -\frac{f}{\epsilon_0}} \quad (\text{che, per}$$

l'altra, permette di calcolare facilmente  $f$  conoscendo  $V$  (il precedente è già stato visto!) ) : infatti  $\Delta V = \nabla \cdot (\nabla V) = = \nabla \cdot (-E) = -\nabla \cdot E (=) -\frac{f}{\epsilon_0}$ . Dunque, in una regione  $\Omega$ : spazio completamente vuoto (o cerchio)  $V$  risulta

l'equazione di Laplace  $\Delta V = 0$ .

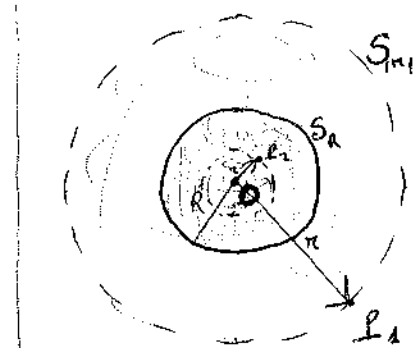
Il teorema di Gauss può essere utilizzato per calcolare il campo elettrico prodotto da distribuzioni di corrente con elevata simmetria.

**Ex** Una cerce totale  $Q$  si distribuisce all'interno di una sfera di centro  $O$  e raggio  $R$  ( $\gg$ ), e la distribuzione abbia simmetria sferica (cioè le densità di corrente abbiano lo stesso valore in punti ugualmente distanti da  $O$ ) :

(conosciuto il calcolo di (distribuzioni) flusso nei camminanti!)

- (1.) calcolare l'intervallo dell'angolo elettrico all'esterno delle sfera;
- (2.) calcolare all'interno sufficienente frequentemente che la distribuzione

Si corse si uniforme.



(4) Distributo, date le condizioni distribuzionali di corse, per simmetrie il campo elettrico E è diretto radialmente verso l'esterno  $\Leftrightarrow Q > 0$  in un qualsiasi punto P + estero alle sfera, dunque distante  $|x| \geq R$  da O, inoltre  $|E|$  è lo stesso in tutti i punti equivalenti da O, e allora dimostra subito che

$$\Phi_{S_m}(E) = \int_{S_m} E \cdot n \, dS \stackrel{\text{(a.m. radiale)}}{=} \int_{S_m} |E| \, dS \stackrel{\text{(cost.!)}}{=} |E| 4\pi R^2 ;$$

ma la corse totale intorno a  $S_m$  è per simmetria  $Q$ , dunque per Gauss  $\Phi_{S_m}(E) = |E| 4\pi R^2 = \frac{Q}{\epsilon_0}$ , cioè in conclusione  $|E(x)| = \frac{Q}{4\pi\epsilon_0 R^2} \quad \forall |x| \geq R$ .

Deduciamo inoltre che il campo elettrico all'esterno di una distribuzione di corse con simmetrie sferiche è lo stesso di quello prodotto da un'unica corse sferica, posta al centro delle sfera, si corse uniforme all'estero delle distribuzioni ! )

(5.) Se ore  $R_2$  intorno alle sfera, dunque è corso ( $x \leq R$  da O)

come fanno ovviamente  $\Phi_{S_m}(E) = |E| 4\pi R^2$ , ma è  $\frac{Q'}{\epsilon_0}$

con  $Q' \leq Q$  insieme nell'ipotesi (restrictive) che le distribuzioni si corse uniforme, così ~~non~~ quindi è  $\rho = \frac{Q}{\frac{4}{3}\pi R^3}$ , obviously

che  $Q' = \left(\frac{4}{3}\pi M^3\right) \rho = \frac{QM^3}{R^3}$ , quindi che infine

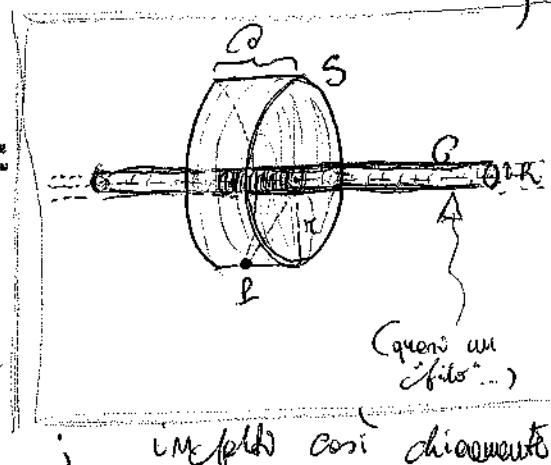
$$|E(r)| = \frac{Q}{4\pi\epsilon_0} \frac{M}{R^3} \quad \forall M \leq R$$



**EX**

All'interno di un cilindro C di lunghezza ~~non nulla~~ non nulla  $R (> 0)$ , ora si è una distribuzione di carica con simmetria cilindrica, dovendo uniforme calcolare il campo elettrico all'esterno di tale cilindro.

Per ragioni di simmetria, il campo elettrico è direttamente rispettato all'asse di simmetria del cilindro (e verso l'esterno → le aree totali interne del cilindro è finiture) e ha intensità uguale in un punto come nel suo riflesso rispetto all'asse di simmetria stesso. si è che l'asse esterno del cilindro, si dice e distante  $|r| \geq R$  dall'asse del cilindro.  
Questo è chiamato come "superficie di Gauss" un altro cilindro S, di raggio  $b$  e  
corticolare al precedente, con altezza  $\Delta > 0$ .



$$\Phi_S(E) = |E|(2\pi b \Delta) = 2\pi |E| b \Delta$$

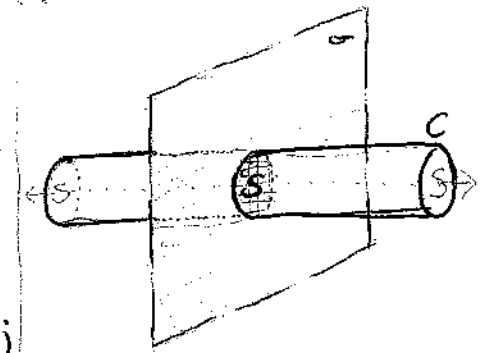
$$, \stackrel{\text{(Gauss)}}{=} \frac{q}{\epsilon_0} \propto q \text{ e}$$

Le aree totali contenute all'interno di S, cioè all'interno del cilindretto  $C \cap S$  è se quindi  $\Delta$  è le aree contenute fuori dalla lunghezza nel cilindro C, allora in conclusione  $|E_{(S)}| =$

$$= \frac{q}{2\pi\epsilon_0|\varphi|} = \frac{\lambda}{2\pi\epsilon_0|\varphi|} \quad \forall m \geq R$$

**EX** Ritrovare con Gauss che una distribuzione uniforme di carica su un piano infinito, con densità superficiale  $\sigma$ , genera nello spazio un campo elettrico ( $\perp$  al piano) di modulo  $\frac{\sigma}{2\epsilon_0}$ .

Consideriamo un cilindro, con una superficie al piano, che interseca il piano stesso in modo che le sue aree siano, ad esempio,  $S$ , sezione parallela al piano e equidistante dal piano;

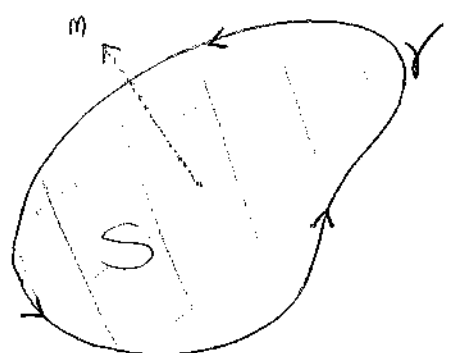


Si dimostra allora che  $\Phi_C(E) = 2JES$

$$\stackrel{(Gauss)}{=} \frac{\sigma S}{\epsilon_0}$$

TEOREMA DI STOKES : Se circuito di un campo vettoriale lungo une linea chiusa  $\gamma$  e' uguale al flusso del rotore del campo esterno une quelque surface orientata  $S$  contenuta  $\gamma$  stessa.

Se  $S$  une surface orientata  $\gamma$  come contour, e niose  $m$  (il senso normale a  $S$ ) e il senso di percorrenza "frontiera" di  $\gamma$ . Nei letti delle stite "regole delle stite" :



(Saranno anche scritte " $\partial S$ " invece che " $\gamma$ ")

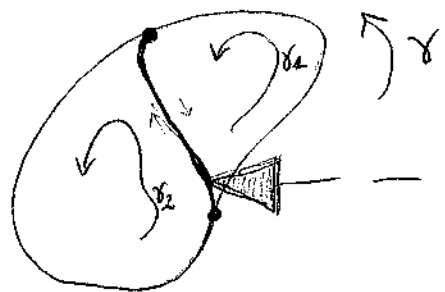
Se  $F$  campo vettoriale (regolare), per cui  $\text{rot } F = \nabla \times F = \begin{vmatrix} i & j & k \\ \frac{\partial}{\partial x} & \frac{\partial}{\partial y} & \frac{\partial}{\partial z} \\ F_x & F_y & F_z \end{vmatrix} = \left( \frac{\partial F_3}{\partial y} - \frac{\partial F_2}{\partial z} \right) i + \left( \frac{\partial F_1}{\partial z} - \frac{\partial F_3}{\partial x} \right) j + \left( \frac{\partial F_2}{\partial x} - \frac{\partial F_1}{\partial y} \right) k$

+  $\left( \frac{\partial F_2}{\partial x} - \frac{\partial F_1}{\partial y} \right) k$ , e le fini si ha formula

$$\oint_{\gamma} F \cdot d\gamma = \int_S \text{rot } F \cdot m \, dS \quad (= \oint_S (\text{rot } F) \cdot m \, dS)$$

Cominciamo con l'osservare che le circuiterie di  $F$  lungo  $\gamma$  e' uguale alle summe delle circuiterie di  $F$  su due curve  $\gamma_1$

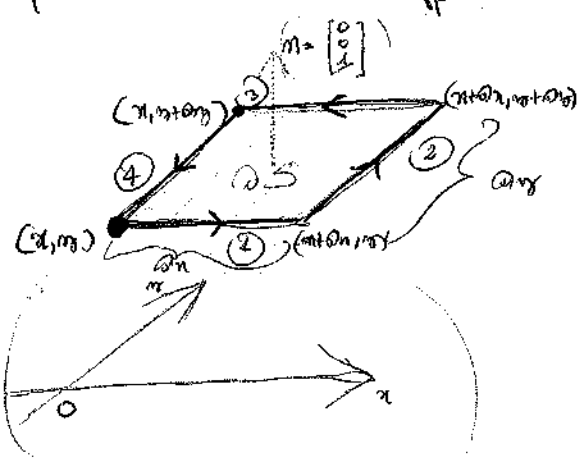
e  $\gamma_2$  effettua compognimenti sui punti  $\alpha$  e  $\gamma$ :



Le circonferenze totale nel tubo  $\alpha\gamma$  compognente è nulla!

Più in generale,  $\oint F \cdot dS =$  la somma delle circonferenze di  $F$  lungo

"quadrati" infinitesimi che partizionano (con le loro aree intime) la superficie  $S$  intima e  $\gamma$  i contribuenti quindi uno do solo quadrati e nessuno ~~oltre i lati~~ paralleli ~~oltre i lati~~ ~~oltre i lati~~ :



i le circonferenze di  $F$  lungo tali quadrati  
è allora, in linea effettivamente,

$$F_1(1)\partial x + F_2(2)\partial y - F_3(3)\partial x -$$

(N.B.  $F_1(3) - F_2(2)$ !)

$$- F_2(4)\partial y \approx \left( \frac{\partial F_2}{\partial x} - \frac{\partial F_1}{\partial y} \right) \partial x \partial y = (\text{rot } F)_3 \partial x \partial y =$$

(25)

$= \text{rot } F \cdot m \partial S$  i vediamo subito ovunque che il risultato è esatto nel senso che il quoziente delle lati paralleli ad un'altra coppia opposta, è esso stesso somma dei contribuenti "lineari"  
per un quoziente finito in modo arbitrario: in fatti sostitui-

ti a " $F_1(1)$ " sono sostituiti da una circonferenza lineare da soluzioni con tutti  $F_1, F_2$  e  $F_3$  (e coefficienti  $\pm$ ) , quasi sempre finiti portando sufficien-za soluzioni finite, che può essere comunque linea-ri ad un'etate finita . Dunque il risultato ottenuto coi quadrati

infinitesimi e' ovvio in generale, e sarebbe un quesito se  
essere nelle ore necessarie.

NOTA: faremo vedere il nolo  $\oint F \cdot d\gamma$  in un piano  $P$  fia  
che "not  $F$ " tale che  $\text{not } F \cdot n = \lim_{AS \rightarrow 0} \frac{1}{AS} \oint F \cdot d\gamma$  (x)

Se determinate la superficie  $AS$ , la quale ha orientazione  $n$  (dato al  
verso positivo di  $\gamma$  con le rette parallele alla orbita), ormai e'  
un ottimo esercizio mostrare il valore minimo delle caratteristiche  
specifiche (cioè per unità di superficie) di  $F$  allora a  $P$ , e  
direzione coincidente con quelle del versore normale alla superficie infinitesima  
comprendente la tale orbita minima.

Abbiamo visto che il campo elettrico  $E$  genera se una qualsiasi  
distribuzione di carica finita è un campo conservativo, cioè  
tale che esiste campo scalare  $V$  (il potenziale elettrostatico di  $E$ )  
con  $E = -\nabla V$ , cioè tale che le caratteristiche di  
 $E$  lungo una qualsiasi curva chiusa si zero:  $\oint E \cdot d\gamma = 0$ .

Alla fine Stokes  $\oint E \cdot d\gamma = \int_{\gamma} (\text{not } E \cdot n) dS$ , e dunque fa  
l'elaborazione di  $\gamma$ , ormai di  $S$ , e  $\boxed{\text{not } E = \nabla \times E = 0}$ ,  
(risulta in tutto  $\mathbb{R}^3$ )

ciel)  $E$  e' inotazione , e cosi equivalente alle frequenti  
formule interrate nulle curvilinee di  $E$ .

(Due que corrispondenze )

$$\left\{ \begin{array}{l} E = -\nabla V \quad (\nabla \times E = 0) \\ \nabla^2 V = -\frac{\rho}{\epsilon_0} \quad (\nabla \cdot E = \frac{\rho}{\epsilon_0}) \end{array} \right.$$

Se si frena su un campo elettromotore, cioè se si genera un potenziale elettromotore, si genera naturalmente movimento di cariche sotto forma dell'effetto del campo steso : definiamo

l'INTENSITÀ DI CORRENTE ELETTRICA attraverso una data superficie

Come la quantità di carica che attraversa la superficie nell'unità di tempo , ovvero  $i = \frac{\partial q}{\partial t}$  (l'unità di misura è d'AMPÈRE  $A := \frac{C}{s}$ ) ; definiamo anche la "densità delle corrente elettrica" come quella di moto delle cariche , e quindi il "verso" delle correnti come quello di moto delle cariche positive (come l'effetto di quelle delle cariche negative) ; le correnti e' continuo se tutto ciò resta costante nel tempo .

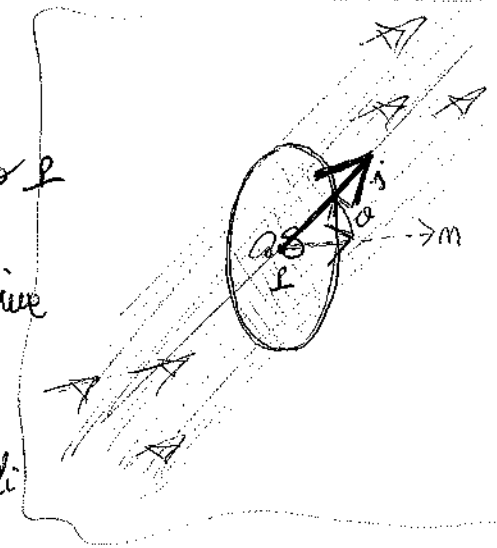
Definiamo quindi il vettore "DENSITÀ DI CORRENTE ELETTRICA  $\vec{S}$ " in un certo punto  $P$

Come segue : considerare una superficie infinitesima  $\partial S$  "versante" per  $\vec{S}$  e fissare direzione

direzione e verso di  $\vec{S}$  ; integri e quelli

delle corrente elettrica che attraversa  $\partial S$  ; mettete infine alfabigrice  $(\vec{S})$  ~~verso~~ in modo che il verso (infinitesimo) di  $\vec{S}$  si ottenga  $\partial S$  coincidere con  $i$  , ovvero facciamo  $(\vec{S})$  tale che

$$i = \frac{\partial q}{\partial t} \quad (= |(\vec{S})| \partial S \cos \alpha) \quad (= i \cdot m \partial S = \Phi_{\partial S}(i)) \quad \text{per}$$



Cui inoltre l'unità di misura di  $i$  è  $A/m^2$ . Dunque otteniamo che su qualiasi superficie  $S$

$$i = \Phi_S(s) = \int_S i \cdot n dS$$

Ora, sufficente che si conosca sia probabilità del movimento di particelle rotanti avvenire con  $\omega$  circa  $q$ , in numero  $m$  per unità di volume e con velocità media  $\omega$  (settore) : allora,

nell'intervalle di tempo  $\Delta t$ , cui corrisponde

in media  $m \omega \Delta t$  si ottiene

$dS$  venendo tutte "a sole" le particelle contenute nel cilindretto di base  $dS$  e ripetutamente,

che sono ovviamente in numero  $m \cdot ((\text{rap}) dS \cos(\alpha)) =$

$= m \omega \Delta t dS \cos(\alpha)$   $j$  se  $q > 0$ , allora  $\omega$  è verso (sollello)

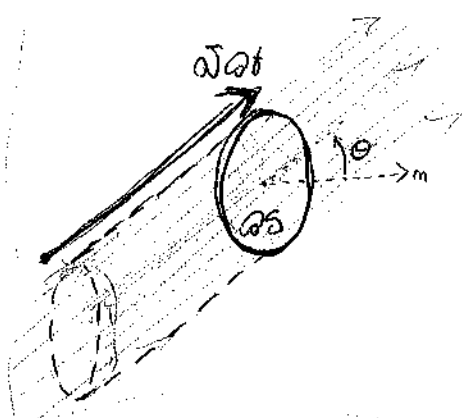
e in questo effettua le cause che ottengono  $dS$  nell'intervallo di tempo  $\Delta t$   $|i| dS \cos(\alpha)$ , dunque che

$$|i| dS \cos(\alpha) = \frac{m q \omega \Delta t dS \cos(\alpha)}{\Delta t}, \text{ cioè}$$

$|i| = m q |\omega|$  se invece  $q < 0$ , allora  $\omega$  è meno, ottiene direzione ma verso opposto, per il quale resta quello calcolato  $|i| = m |q| |\omega|$ , quindi in ogni caso

$$i = m q \omega$$

Chiaramente allora si ha



Consente di calcolare il momento di forza attorno ad "una linea" (il cui centro si chiama centro di massa) e quindi la posizione del centro di massa (o centro di massa).

$$S = \sum_i m_i q_i \vec{r}_i \quad (\text{per cui sempre } S = 0)$$

$\Leftrightarrow$  tutte le cariche elettriche sono in quiete (nel senso che non muovono in una direzione non parallela); quindi possono tenersi strettamente!

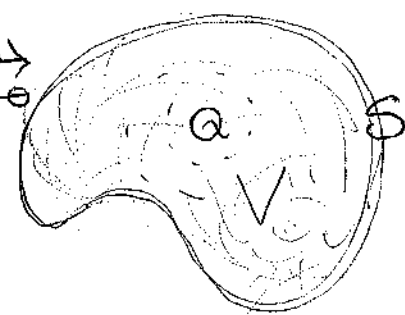
Principio di conservazione delle cariche elettriche: per ogni carica uscente da una regione si sposta  $\nabla$  racchiusa da una superficie chiusa  $S$  se la sua componenti variazione nelle cariche totali  $Q$  contenute nella stessa regione  $V$ .

Dunque, se all'intante  $t$  le cariche totali in  $V$  è  $Q$ , allora all'intante  $t+\Delta t$  le cariche totali in  $V$  è  $Q + \partial Q$  ( $\Rightarrow$  le cariche uscite da  $V$  nell'intervallo di tempo  $\Delta t$  è  $-\partial Q$ ),

cioè  $\int_S s \cdot n dS = -\frac{\partial Q}{\partial t}$  ; ma, se  $s$  è la

densità volumetrica di carica in  $V$ , allora  $Q = \int_V s dV$ , per cui (ipotesi di regolarità su  $p$ )  $\int_S s \cdot n dS = - \int_V \frac{\partial s}{\partial t} dV$ ;

l'altra parte, per il teorema delle correnti, è



$$\int s \cdot n dS = \int_{\partial\Omega} s \cdot \partial V : \text{ per l'erlamento di } \nabla \text{ delle}$$

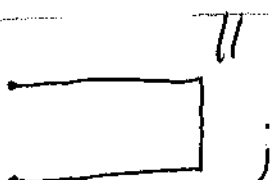
curve (equaz.)  $\partial_{\Omega} s = - \frac{\partial f}{\partial t}$ , cioè vale

l'equazione di continuità (delle corse elettriche)

$$\partial_{\Omega} s + \frac{\partial f}{\partial t} = 0$$

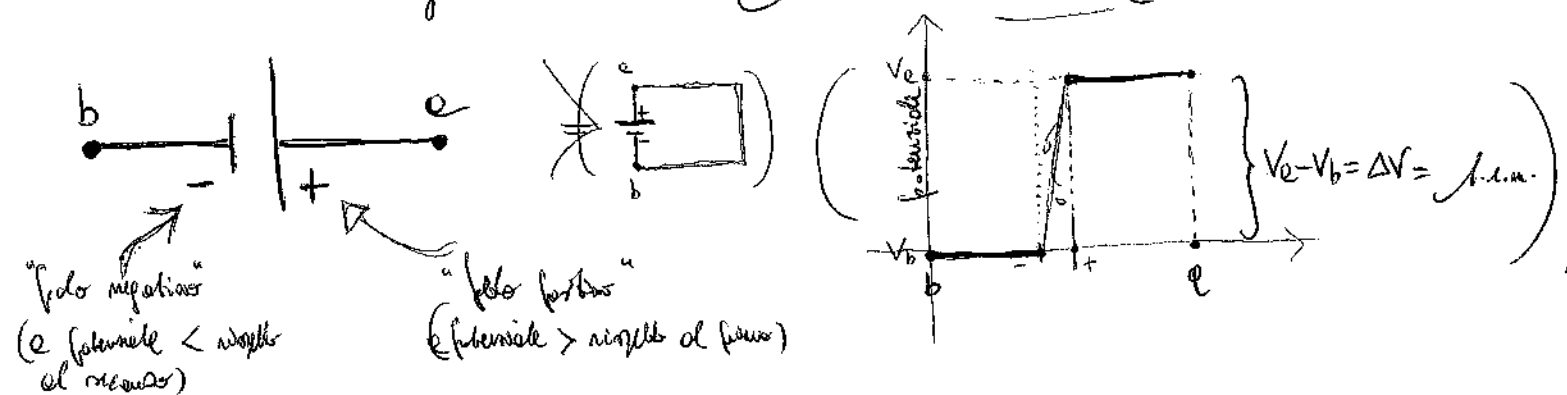
(e quindi, in ogni intervallo infinitesimo di tempo, una variazione nel tempo delle corse elettriche asymmetria o diseguale della diversità tra valori delle corse elettriche di concerto).

Alcune condizioni strutturali, per restare coerente in ogni punto e quindi (equaz.)  $\partial_{\Omega} s = 0$ ,  $\nabla s = 0$  (cioè omogeneità di concerto) : infatti bisogna avere una concerto continua (e un filo conduttore), ed è chiaro che concerto assegnato deve avere ormai tutte le corse elettriche definite altrimenti.

Concetto di filo elettrico assegnato 

Se poi un filo continuo di corse ottiene uno elencato (e sufficiente) che lungo questo filo contiene contenuti un campo elettrico, ovvero un potenziale elettrostatico, concerto assegnato di un  $\Omega$ .  $s$ .  $\nabla$  corrispondente alle corse esterne del filo stesso ed un qualche dispositivo che insieme, naturalmente, sufficie

frequenze in magie elettriche come le altre specie. Chiamiamo  
tutte queste "generatori di forze elettromotrici" → intanto per  
forza elettromotrice o A. e. m. si differenziano le potenzialità che  
entra ~~quando~~ tra i due "poli" (mornelli) a circuito chiuso;  
intochiamo un generatore di A. e. m. costituito così:

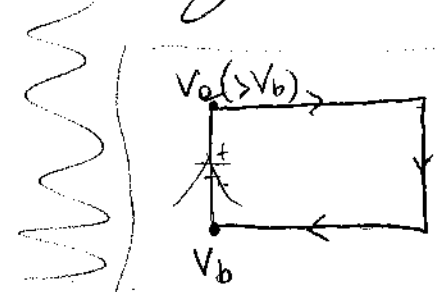


Si osserva sperimentalmente che, quando un generatore manda corrente (come si chiude il circuito), al suo interno si produce una caduta di potenziale uguale alle dimensioni del tronco che riporta ai poli.

LEGGI DI OHM: L'intensità i delle correnti elettriche  
che scorrono in filo metallico a temperatura costante è proporzionale  
alle A. e. m. esistenti alle estremità del filo.

Da formula:  $i = \frac{1}{R} (V_e - V_b)$ ,

Cioè  $V_e - V_b = R \cdot i$



Il fattore di proporzionalità R è LA RESISTENZA ELETTRICA DEL FILO  
e ha la sua unità di misura d'OHM  $\Omega := \frac{V}{A}$ .

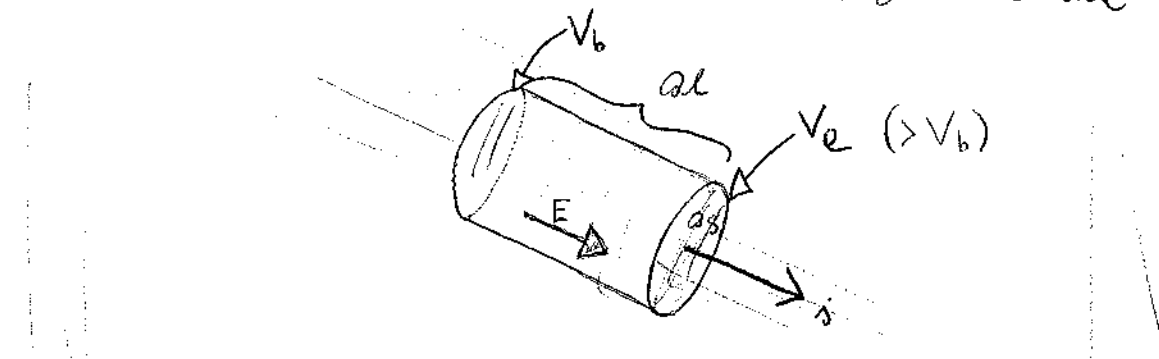
Misuri "freccia" delle leggi di Ohm sono tre per cui R

NON dipende da  $V_a - V_b$ ; fanno dipendere del metallo, delle dimensioni, delle forme e delle temperature del conduttore. Se un filo omogeneo, di sezione costante  $\alpha$ : area  $S$ ,  $R$  risulta proporzionale alla lunghezza  $l$  del filo e inversamente proporzionale a  $S$  (ma non delle sue forme!) :

$$R = \rho_c \frac{l}{S}$$

$\rho_c$  dipende solo dalle temperature e dalle sostanze del filo, e  
è la resistività specifica o resistività del conduttore (con unità  
dimensione  $\Omega \cdot m$ ) ;  $\gamma := \frac{1}{\rho_c}$  è la conductività.  
(È questo RESISTORE un conduttore che resiste le differenze di tensione.)

**ES.** : Consideriamo un cilindro retto, di lunghezza  $l$  e sezione  $\alpha S$ , di un conduttore isotropo (come le concrete), e l'area del cilindro sia parallela alle dimensioni delle concrete.



Se poi  $E$  è il campo elettrico intorno al cilindro; l'intervallo delle concrete che attraversa il cilindro è  $l \times \alpha S = i$ , mentre la corrente che le attraversa è  $V_a - V_b = -\partial V = |E| l \alpha S$ ; ma è

$$\text{essere } V_a - V_b = R \cdot i = (\rho_c \frac{\alpha l}{\alpha S})(l \times \alpha S) = \rho_c \alpha l (l \times \alpha S)$$

da cui  $|i| = \frac{1}{\rho_c} |E| l = \gamma |E| l$ ; notando che in un conduttore isotropo le concrete assorbe parzialmente il campo elettrico,

formano scritte  $i = \gamma E$ , e anche  $E = \int_C i = \int_C q \omega$  (se il conduttore non mettessi altre  $q = -e$  !)

che invece se la forza elettrica del campo elettrico rispetto alle reticolari mette  
che i poteri si conservano.

Un tratto di filo si puo' dire che ha una corrente elettrica  $\Delta i$  (intervale) costante se a fine i suoi estremi risulta una D.A.  $\Delta V = V_a - V_b$  ; se in un intervallo  $\Delta t$  di tempo  $\Delta t$  ha una quantita' di carica  $\Delta q = i \Delta t$  che nel filo attraversa un suo estremo, allora (equiv.) una quantita' uguale nello stesso filo dall'estremo opposto : e' ovvio che, se un punto di svolta emigra, si ha come se una corrente  $\Delta q$  fosse fornita dal potenziale  $V_a$  al potenziale  $V_b$ , quindi nell'intervalle  $\Delta t$  di tempo il lavoro compiuto dal campo elettrico vale  $\Delta L = \Delta q (V_a - V_b) \Delta t$

$$\left( = \frac{(V_a - V_b)^2}{R} \Delta t, = i^2 R \Delta t \right), \text{ cioè sarebbe fornito}$$

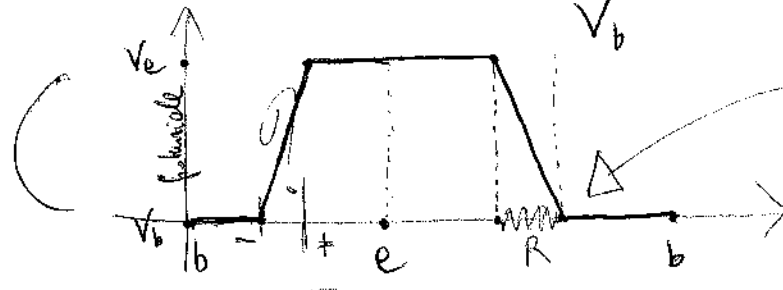
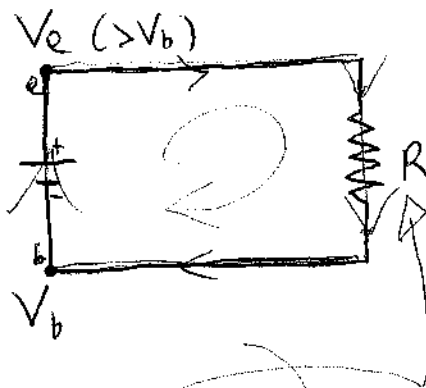
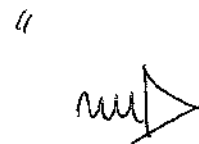
$$\text{e } W = \frac{\Delta L}{\Delta t} = (V_a - V_b)i = \frac{(V_a - V_b)^2}{R} = i^2 R.$$

In condizioni stazionarie la corrente e' costante, quindi il lavoro compiuto in un intervallo  $\Delta t$  di tempo e'

$$\left. \begin{aligned} L &= (V_a - V_b)q = i^2 R \Delta t \\ &= i \cdot \Delta t \end{aligned} \right\} \text{ se naturalmente } q = \text{ la corrente fornita nell'intervalle } \Delta t \text{ di tempo } \Delta t \quad (\text{se naturalmente } q =$$

Ora, nel caso di circuito continue NON si verifica alcun aumento delle sezioni di moto d'inerzia dei fettori di corrente, quindi il moto  $L$  ( $\neq 0!$ ) conferito non fa che ridurre in modo inimmaginabile un aumento dell'impie di efficienza fermeza degli elettroni di condizione e dell'impie vibrazionale del nucleo cristallino. Punto altrettanto: se non ci sono differenze di colore fra l'esterno, allora le tensioni sulle sezioni altrettanto il moto esterno ha quantità di colore  $Q$  equivalente all'impie  $L$  (cioè  $Q = L = i^2 R \Delta t$ , se minimo  $Q$  in sole). Questo fenomeno è noto col nome di "EFFETTO JOULE".

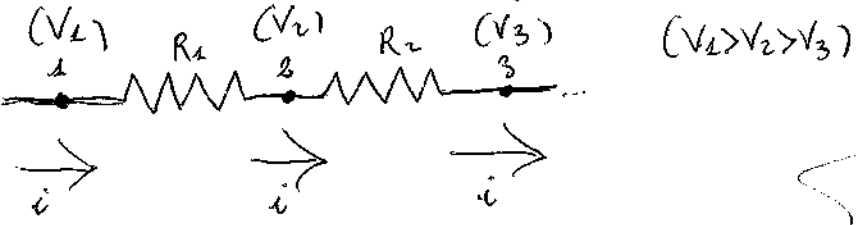
Quando presentate le resistenze elettriche  $R$  ad un filo metallico, se in circuito, si ottiene effettivamente il segnale così:



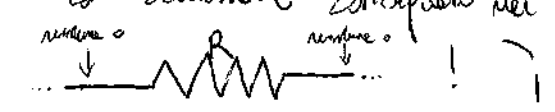
(in questo caso  
sezione di potere  
fondamentale  
 $iR = V_e - V_b$ ,  
quindi  $V_e - (V_e - V_b) = V_b$ )

Possiamo collegare tra loro i due circuiti elettrici ottenuti allo stesso tempo.

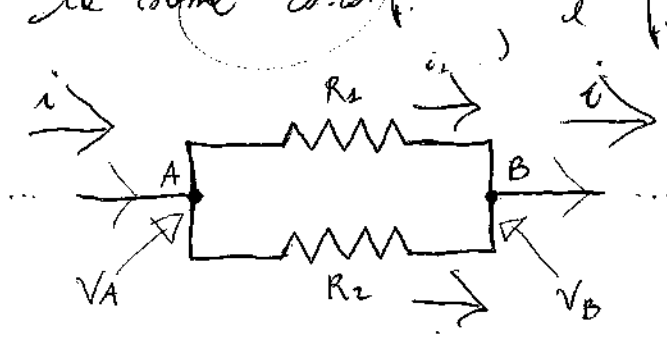
(e conduttori)

Due o più conduttori sono collegati in serie quando ovunque  
passano stesse correnti, e fanno (rispetto ad)  
resistenze in serie : 

La resistenza equivalente (o "equivalente") di più conduttori disposti in  
serie è la somma delle resistenze dei singoli conduttori :  
$$R = R_1 + R_2 \quad (\text{di } R_{\text{eq}})$$

E su questo che forse appare i fili ad unire disposti nei circuiti come  
filo (mai si rendono) : 

Infatti per Ohm abbiamo  $V_1 - V_2 = i R_1$  e  $V_2 - V_3 = i R_2$ ,  
 $\Rightarrow V_1 - V_3 = (V_1 - V_2) + (V_2 - V_3) = i (R_1 + R_2)$ .

Due o più conduttori sono collegati in parallelo quando gli estremi  
di ciascuno ad uni ciò che si chiama circuito comune, e fanno ad  
una resistenza in parallelo : 

Il reciproco delle resistenze equivalenti ad più conduttori disposti in  
parallelo è "quello delle somme dei reciproci delle resistenze dei  
singoli conduttori" : 
$$\frac{1}{R} = \frac{1}{R_1} + \frac{1}{R_2} \quad (\text{di } R_{\text{eq}})$$

D'après la loi de Kirchhoff pour la tension  $i_1 = \frac{V_A - V_B}{R_1}$  et  $i_2 = \frac{V_A - V_B}{R_2}$ ,  $\Rightarrow$   
 $i = i_1 + i_2 = \left(\frac{1}{R_1} + \frac{1}{R_2}\right)(V_A - V_B)$

( $\frac{1}{R}$  est l'impédance à chaque, parallèle en série, série (en parallèle) la résistance, mentre la capacité im parallolo rimane la capacità)

Dei casi particolari:

<u>(con)</u> resistenza	<u>(con)</u> capacità	in serie	in parallelo
$R_1 = R_2$		$R_{eq} = 2R_1$	$R_{eq} = \frac{R_1}{2}$
$R_1 \ll R_2$		$R_{eq} \approx R_2$	$R_{eq} \approx R_1$

Abbiamo visto che le O.A. si fanno in genere che non sono continue e le chiamiamo "Z" ; si verifica invece che le O.A. di V si fanno in tale funzione chiuso su una resistenza R, che sono continue chiamate i, e i' rispettivamente.

$$\Delta V = Z - iR$$

$$\Delta V < \frac{E}{R} , \text{ dove}$$

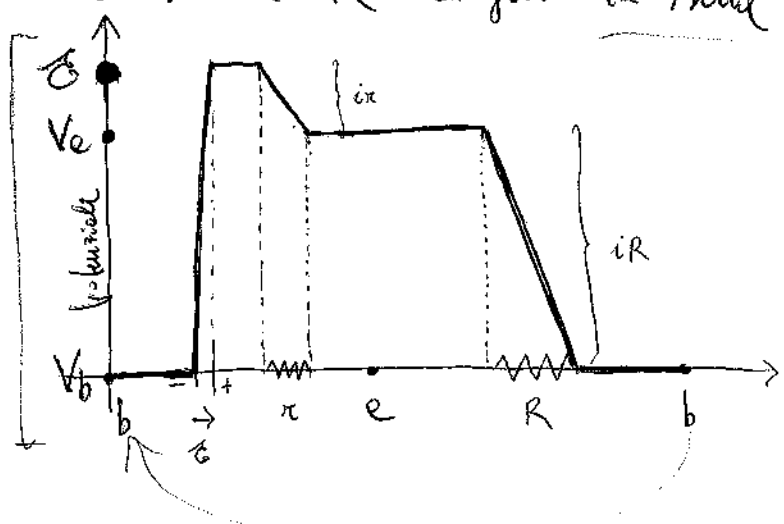
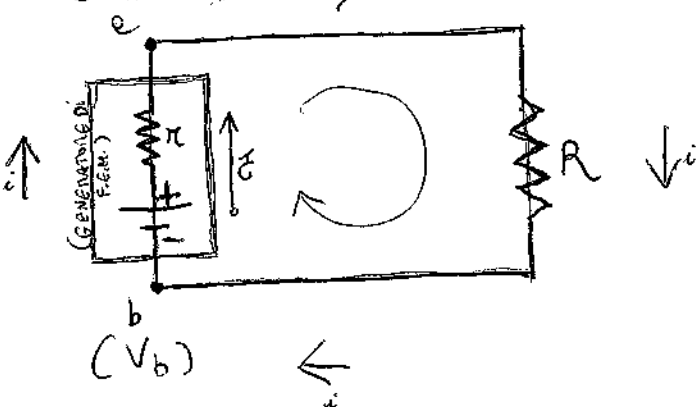
è una costante caratteristica del generatore chiamata "tensione interna" ; quindi se è il calcolo interno si trova

come per Ohm  $\Delta V = iR$ , dunque che

$$\mathcal{E} = i(\pi + R) \quad : \quad \text{d' dove si il generatore di tensione}$$

Nome "idroele", cioè  $\Delta V = \mathcal{E}$  ( $\pi=0$ ) insomma delle intimità i correnti uscite, con forza una resistenza di  $R + \pi (> R)$  del circuito, che risulterebbe equivalentemente alla resistenza equivalente alle due resistenze  $\pi$  e  $R$  disposte in serie.

$$(V_e > V_b) \rightarrow$$



Le resistenze offerte da una generale rete di più conduttori interconnessi ("rete elettrica") non può essere calcolata semplicemente ritirando espressioni delle due resistenze nelle "resistenze equivalenti" da resistenze in serie o in parallelo.

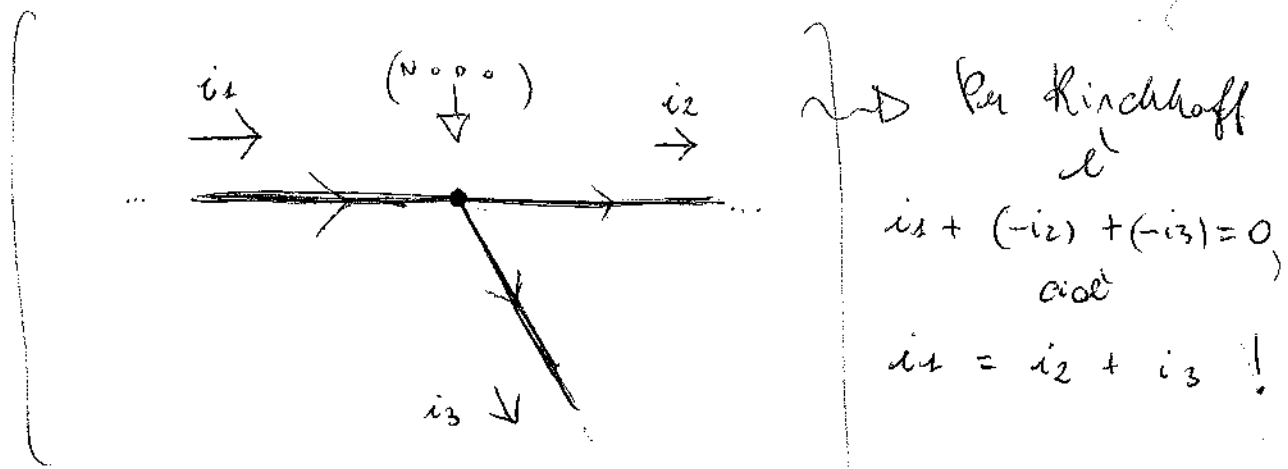
Chiamiamo "node" un punto di una rete nel quale concorrono  $N (> 2)$  conduttori, che in tale circostanza formano chiamate "rami", e se  $i_1, i_2, \dots, i_N$  sono le intimità delle correnti negli  $N$  rami allora le conduttori con segno: segno + se le correnti corrispondenti fluisce nel nodo, segno - se

tele corrente era del modo. Ma anche se ne considerasse l'intensità si conosce totale per un nodo.

PRIMA LEGGE DI KIRCHHOFF : le somme algebriche delle intenzioni di corrente nei vari punti sopra un nodo sono nulle j in formula

$$\sum_{k=1}^N i_k = 0$$

È evidentemente equivalente di tale legge che le somme delle tensioni ai nodi siano nulle ( $i_k \cdot R_k = \Delta q_k$ !).



Chiamiamo "maglie" un insieme di (una o) più reti delle reti formanti un unico circuito chiuso. Non ulteriormente disponibile in parti chiuse (il fascio), che abbiamo ad un certo punto di funzionamento; allora, se nel k-esimo numero delle maglie c'è f.e.m.  $E_k$  "isola", resistenze  $R_k$  (comprensive quelle interne del generatore) e corrente d'intensità  $i_k$ , consideriamo di conoscere  $i_k$  e  $E_k$  con segno:

(+)  $i_k > 0$  se la corrente fluisce nel verso preso del

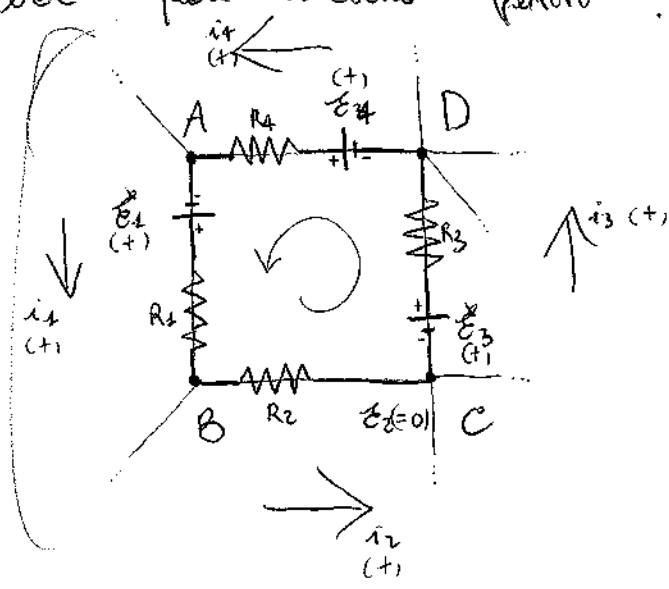
Remo conduttore  $\rightarrow$  otteniamo  $i_k < 0$  ;

(2)  $E_k > 0$  se il suo sentire finisce nel verso opposto del polo - al fab + del generatore  $\rightarrow$  otteniamo  $E_k > 0$  ;  
Ma anche non sono esattamente tali numeri da una meglio.

SECONDA LEGGE DI KIRCHHOFF : le somme algebriche delle f.e.m.  
degli lungo i reni  $\alpha_i$  da meglio  $\delta$  uguale alle somme algebriche  
dei prodotti delle intenzioni  $\alpha_i$  connessi per la resistenza rispettiva  
 $\alpha_i$  ogni reno  $i$  in formula 
$$\sum_{k=1}^N E_k = \sum_{k=1}^N R_k i_k$$
.

Tale legge non solo intera (chiavemente) quelle di Ohm, ma  
mi dà vicino una conseguente simile escluso in generale il  
numero delle leggi di Ohm effettive ai reni delle meglio.

Un effettivo numero intero tale legge come segue: considerando  
un buon chiuso lungo una rete, ritroviamo allo stesso potenziale  
del quale nessuno fatto.



Ottieniamo  $E_1 + E_2 + E_3 + E_4 = R_1 i_1 + R_2 i_2 + R_3 i_3 + R_4 i_4$  (KIRCHHOFF)  
effettuando Ohm a ciascuno dei quattro reni :

$$\left\{ \begin{array}{l} V_A + E_1 - R_1 i_1 = V_B \\ V_B - R_2 i_2 + E_2 = V_C \\ V_C + E_3 - R_3 i_3 = V_D \\ V_D + E_4 - R_4 i_4 = V_A \end{array} \right.$$

(e sommando  
membro a membro!)

L'idea che c'è quelle di avere un grado di conoscere l'insieme  
 di coniuti di tutti i nomi di una certa rete elettrica  
 come ad esempio i nodi delle p.e.m. e delle resistenze di  
 ogni rete (cioè di sapere doveva le dimensioni dello spettro  
 di certe reti elettriche). Infatti, fu una qualsiasi rete  
 elettrica di  $M$  nodi e  $R$  ( $\geq M$ ) nomi, ci sono  
 sostanzialmente  $\Delta M = R - M + 1 = R + 1 - \Delta M$  meglio indipendenti  
 e dunque  $i_1, \dots, i_{\Delta M}$  sono le  $R$  incognite interrate di coniuti  
 (con peso in uno spazio) dei nomi nomi, allora ottieno le  $\Delta M$  numeri in  
 fatti incognite grazie a Kirchhoff: mi ottieno  $M-1$  effetti  
 che mi fanno legge di modo, e ottieno le rimanenti  $R -$   
 ~~$M + 1$~~  effettuando la mia stessa legge delle maglie.  
 Visto che tale studio si traduce in un insieme di alcuni numeri  
 (dove da tenersi con cautelari ohmici e generici delle p.e.m.),  
 possiamo dire formalmente di reti elettriche numeri. Il metodo  
 oppure emulante per compiere questa funzione è "il metodo dei nomi",  
 il quale può essere molto direttamente applicabile rispetto ai due  
 metodi spiegati di seguito.

(a) Metodo delle maglie: introducendo  $\Delta M$  coniuti (incognite)  
 $I_1, \dots, I_{\Delta M}$  di maglie, che soddisfano automaticamente e in  
 modo naturale la mia legge di Kirchhoff, ritengo effettuare  
 a  $\Delta M$  il grado del insieme di quelli che risultano (effettuato).

soltanto le reaz. legg. di Richhoff e ciascuna maglie) j

Determinate così  $I_1, \dots, I_m$  di maglie, i m termini di queste si scrivono immediatamente  $i_1, \dots, i_k$  di reaz.

b) Metodo dei modi : introducendo le  $(M-1)$  Q.Q.F.

(incognite) fra obbligati modi fermo e il resto dei  $M-n$  modi (di quale in realtà purtroppo corrisponde funzione 0), che non solo subordinatamente e in modo banale le reaz. legg. da R., violazioni e  $M-1$  il quale del sistema risolvente (effettuando solo le forze legg. da R.) j Determinate tali Q.Q.F. riceviamo le dirette  $i_1, \dots, i_k$  mediante cui si applica la Regola.

Chiarimenti riceviamo (b) invece che (a) se  $M-1 < M$ , (a) invece che (b) se ovvero  $M < M-1$ .

Nota generale sui questi due metodi : le matrici di coefficienti del sistema risolvente s'è in ogni caso simmetrica.

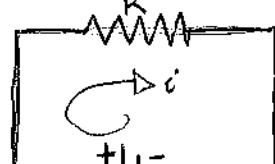
Considerando quindi lineare le derivate delle "dinamiche" in una qualsiasi rete elastica (lineare), possiamo enunciare il TEOREMA DI SOVRAPPOSIZIONE : su una rete contenuta chiavi due generatori, le "riforse" in uno dei suoi "elementi" a quell'alle somme delle riforse che i singoli generatori ~~che~~ facessero effettivamente.

Sai siamo che un rete generale epoca "de nob"  $\Leftrightarrow$  tutti gli altri generatori contano unicamente per le loro resistenze interne ; cioè il rete costituisce oggi altri generatori con una resistenza pari alle rispettive resistenze interne (semplicemente perché conosciamo ogni generatore come "ideale" e fatto per ad appagare le reti le rispettive resistenze interne) ; Dunque poniamo "dopo" il generatore ma non le rispettive resistenze interne ! ) ; tale procedura può essere sintetizzata dicendo che un generatore è stato reso "puro". Risulta poi risultato il seguente

TEOREMA DI COMPENSAZIONE : in una rete forniamo sostituire una resistenza  $R$ , percorso da una corrente d'intensità  $i$ , di cui un generatore di corrente che maggi una corrente "di compensazione" (<sup>della</sup> <sup>"compensazione"</sup>) stessa intensità  $i$ , di cui un generatore di f.e.m. che fornisce una d.o.f. "di compensazione"  $V_c = iR$ .

Si sente di d.o.f., avere una resistenza equivalente ad avere una corrente meno intensa ; e sente d'intensità di corrente, avere una resistenza equivalente ad avere più d.o.f. (tutto ciò in un certo senso)

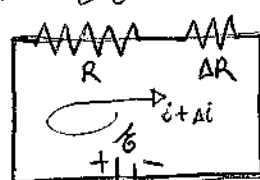
Consideriamo ora il circuito  
 (senza generico  
 di una rete!!)



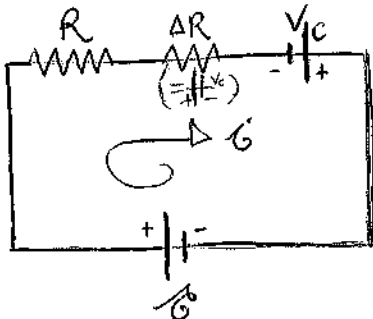
$G$  ("ideale")

$\Delta R$  la resistenza complessiva (ammesso di si l'intensità di corrente : di si il corrente come Mfotore) :

(offre resistenza  $\Delta R$  e  
 non ammesso  $i \neq i_0$ )

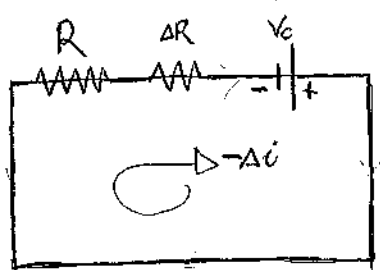


chiaramente, per compensazione, annulliamo l'effetto  $\Delta R$  aggiungendo contemporaneamente un generatore d.c. ch.m. opposto alle t.c.m. Ad compensazione  $\Delta R$ ,  $V_C = i \Delta R$ , come in figura

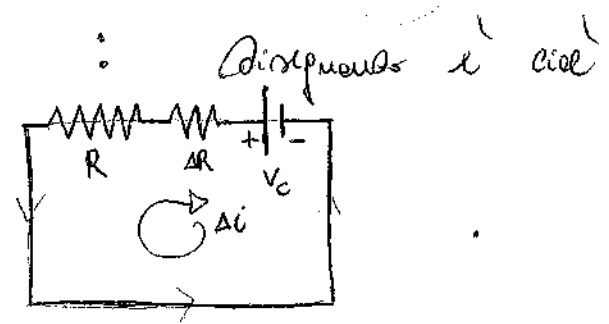


o meglio scrivendo l'intensità  $i$  ad avante nel rete (che è il circuito vero), per il flusso ad avvolgente,  $i'$  uguale a  $i = (\underbrace{i + \Delta i}_{(V_C \text{ fermo})}) + \underbrace{i'}_{(\delta \text{ fermo})}$ , se

con definizione  $i' = -\Delta i$  (finitivo!)



, o equivalente



Conclusione, come chiedi, fornire riconoscere il flusso ad compensazione. C'è regola: se una variazione  $\Delta R$  delle resistenze in un rete d.c. fornisce un rete dove sono due corrente d'intersezione

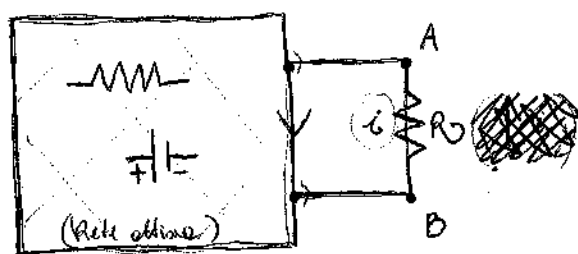
o comunque una variazione  $\Delta i$  dell'intensità ad avante in un generatore della rete ad avere uguale a quella risultante in quel punto quando non fornisce i generatori originali, nel rete modificata esiste un generatore ad compensazione d.c. ch.m.  $V_C = i \Delta R$ .

**TEOREMA DI THÉVENIN**: una rete elettrica obbedisce (cioè contiene, oltre a resistenze, almeno un generatore d.c. ch.m.) collegate a due terminali in uscite equivalenti ad un singolo generatore d.c. ch.m. Compongo in serie ad una resistenza  $j$  le f.m.

equivalente coincide con le Q.D.F. fra i due terminali e circuito chiuso

Effetto (come questo non sono collegati ad altro circuito), mentre se  
risultante equivalente è quella delle resistenze minime fra i terminali  
delle reti quando queste sono rese ferme.

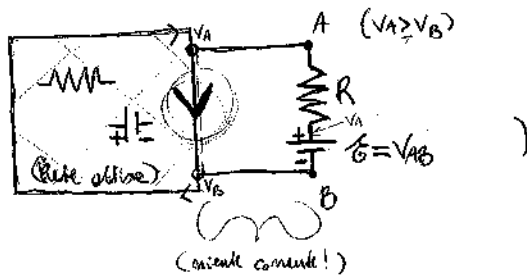
Le generice reti elettriche obbligatamente collegate a due terminali in uscita e  
sulle quali



immendo estero un

generatore di C.c.m.  $E = V_{AB} :=$  (Q.D.F. fra A e B e circuito chiuso)

nel nuovo caso in figura



(det' niente)

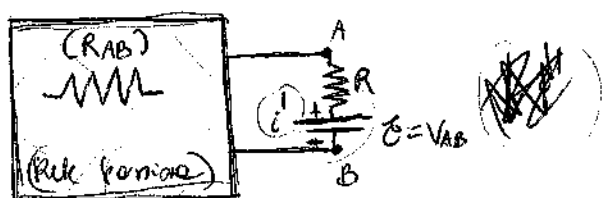
obtieniamo che

nel nuovo  $\overline{AB}$  non sono elementi comuni

ai R e E (ni elisano!)

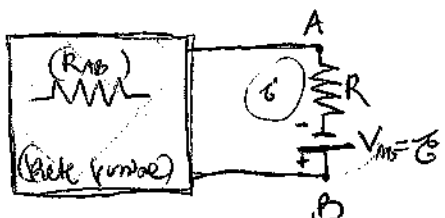
(esempio: non sono comuni,  $i = \frac{V_{AB}}{R}$  e  $-i$ !), j comuni ore una rete con almeno due generatrici, dunque il termine A: non appartiene all'interno di

comune nel nuovo  $\overline{AB}$  ottienendo che  $0 = i + i'$  dove



$$i' = \frac{V_{AB}}{R + R_{AB}}$$

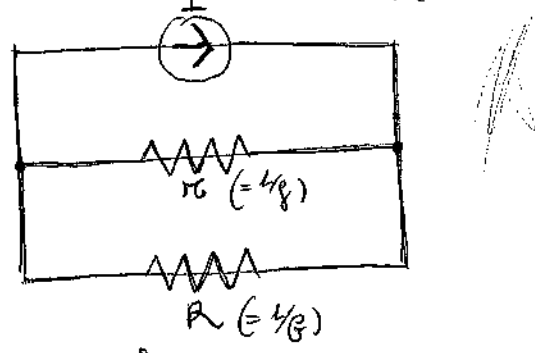
Cioè



(e, in effetti, le "come" di  
tale circuito col secondo disegno)

è quella del nuovo circuito disegnato)

Piccole tensioni : consideriamo un generatore di corrente  $I$  (continua) (che disegniamo così  $\text{---} \xrightarrow{I} \text{---}$ ) chiuso su una resistenza  $R$  ( $>0$ ), e se  $\Delta V$  le O.S.F. si può scrivere : si osserva sperimentalmente che la corrente  $i$  è in realtà  $i = I - g\Delta V$ , dove  $g$  è una costante (in  $\frac{1}{\Delta V}$ ) caratteristica del generatore chiamata "conduttanza interna"; quindi se  $\Delta V$  è la "caduta" interna di corrente. Considera per ora  $i = \frac{\Delta V}{R} =: G\Delta V$ , se  $G := \frac{1}{R}$ , abbiamo quindi che  $I = \Delta V(g + G)$  : si vede se il generatore di corrente ha forma "ideale", cioè  $i = I$  (" $g=0$ ") indipendentemente dalla O.S.F.  $\Delta V$  se non ce lo, con esso una conduttanza  $G + g = \frac{1}{R} + g =: \frac{1}{R} + \frac{1}{\pi}$  all'interno, che risulterebbe evidentemente la conduttanza equivalente alle due  $\frac{1}{R}$  e  $\frac{1}{\pi}$  sovrapposte in parallelo :



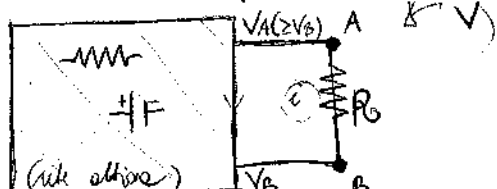
Ottieniamo che precisamente  $i = I - \frac{g}{g+G}I$ , quindi (puntualmente) se  $g \ll G$  allora precisamente  $i \approx I$ ; cioè ciò se  $R$  è trascurabile : diciamo che il generatore di corrente è

"Contacircuitato" quando effettu è chiuso su una resistenza  $R$  "fornitrice"

Dilido : quando un generatore reale è connesso ad una resistenza di carico, il suo comportamento può essere indifferentemente rappresentato come un generatore di t.c.m. in serie ad una resistenza (interna)  $r$  o come un generatore di corrente in parallelo con una conduttanza (interna)  $g$ ; in effetti non farebbe nulla sostituire che  $r = 1/g$ .

TEOREMA DI NORTON : una rete elettrica ottime collegate e due terminali in uscita equivalenti ad un singolo generatore di corrente connesso in parallelo ad una resistenza  $j$  l'interno di corrente erogata da tale generatore è uguale a quella che fanno i terminali in uscita quando questi sono cortocircuitati mentre la resistenza equivalente è uguale alla resistenza in uscita delle reti quando queste sono vere fonte.

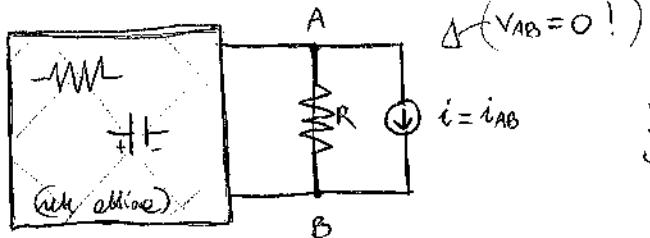
Le genuine reti elettriche ottime collegate e come terminali in uscita i delle fonte



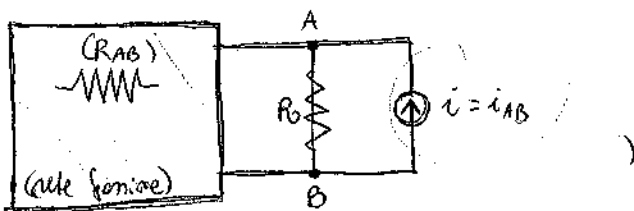
è equivalente come

(ma nell'effetto di  $R$  rendendo le d.o.f. dei terminali nulli come "contacircuitato") risultante  $\frac{1}{T} \delta = V_{AB}$  uguale a incarico

Come in figura un generatore di corrente  $i = i_{AB} =$  la corrente magica delle reti che tiene dei terminali messi in contacircuito (generata generalmente nel collegamento di contacircuito (parallelo a  $R$ ))



Considerando quindi



per non effettuare le Q.d.f.  $V$  ci

$$\text{cioè} \quad \overline{AB} \quad \text{e} \quad V = \frac{i_{AB}}{G + G_{AB}} \quad , \quad \text{Dove mettiamo} \quad G :=$$

$$= \frac{t}{n} \quad \text{e} \quad G_{AB} := \frac{t}{R_{AB}}$$

Motivazione che è circuito elettrico

$$\text{è} \quad V = V_{AB} \quad , \quad \text{e quindi} \quad i_{AB} = G_{AB} V_{AB} = \frac{V_{AB}}{R_{AB}} \quad ! \quad \square$$

TEOREMA DI RECIPROCA : in una rete lineare e contenente un solo generatore, il rapporto fra l'entità di corrente in un punto delle reti e le tensioni fornite dal generatore è costante quando si scambiano le loro posizioni nelle reti.

Diciamo che rete col metodo delle maglie, cioè con un sistema lineare di equazioni

$$[R][i] = [E]$$

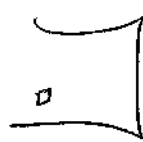
(generatore di maglie)      (entità di corrente di maglie)      (tensione di maglie)

Simmetria, si intende  $E$  con componenti tutte uguali, per ottenere le tensioni simmetriche delle resistenze ( $\theta$ ),

col metodo dei nodi  $[G][V] = [I]$ , per simmetria

(autoconduttori (luminari Day)  
e nudi (M+M')  
(conduttori) (cavi))

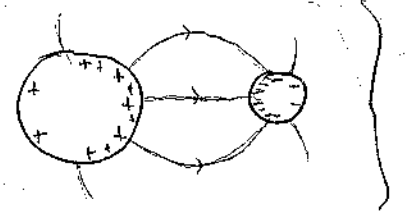
(concentri (D)  
recettori)

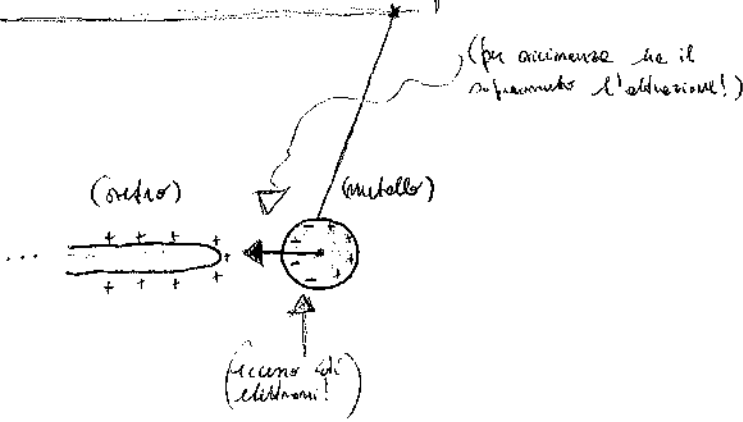


delle condutture! )

Consideriamo un conduttore all'interno di un campo elettostatico ( $E$ ) i gli elettroni di conduzione si spostano quindi, sotto l'azione delle forze esercitate dal campo elettrico, in senso opposto al campo stesso, cioè verso regioni elettriche più leggere, in modo da ridurre una disparità del campo elettrico dentro il conduttore (perciò effettua il campo elettrico campo stesso ( $-$ ) sulle elettroni di conduzione) i cui effetti ormai sono privi di un campo elettrico esterno, quelli generati finiti in seguito alla spostamento degli elettroni di conduzione, che rimane altrimenti insieme il campo  $E$ . Il risultato finale è che quindi, in condizioni statiche, il campo elettrico all'interno di un conduttore è nullo), cioè tutti i punti del conduttore hanno lo stesso potenziale elettrico. Alla fine, per un conduttore che ha una ~~volume~~ <sup>superficie</sup> chiusa, ovvero le sue superficie non c'è flusso di campo elettrico perché ora tale è nullo, ovunque (per Gauss) NON ha senza che il no interv: ovunque, se pure in condizioni statiche, fatto che certe elettrone possiede se un conduttore si trova nelle sue superficie esterne.

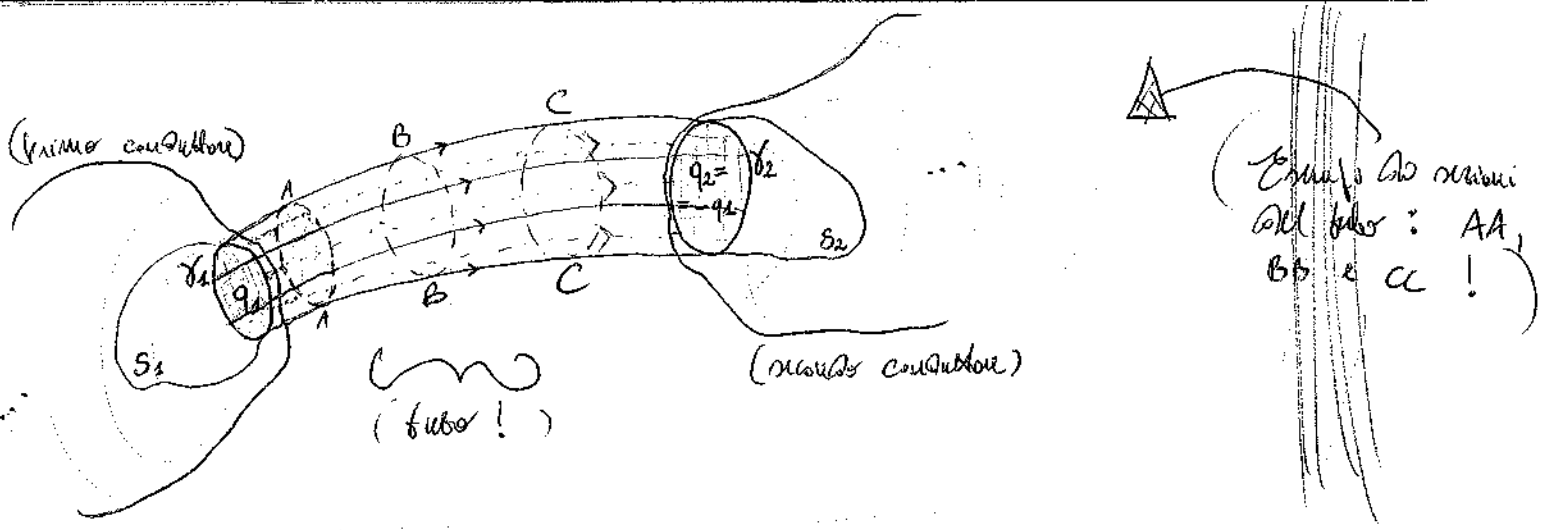
Adesso, tale superficie è comunque una superficie equipotenziale, quindi nelle sue "immediate vicinanze" il campo elettrico  $E$  è particolarmente intenso.





NOTA: se le palle sono e toccate la bacchetta, allora la capacità si moltiplica ancora in relazione a le palline non allontanate! (Oraio: quando le palline esprimono "del +")

Consideriamo una superficie  $S_1$  intima ad un conduttore e esiste per contorno le linee chiuse  $\mathcal{H}_1$  forte sopra la superficie esterna del conduttore stesso, così che non può essere considerata l'unione delle linee di forza presenti per i fuori di  $S_1$ , ovvero "un tubo di linee di forza" j moltiplicando che tale tubo indirà le linee chiuse  $\mathcal{H}_2$  sopra un secondo conduttore, e siccome quindi  $S_2$  una superficie  $S_2$  intima a questo conduttore e esiste contorno  $\mathcal{H}_2$ . Allora il flusso (di  $E$ ) attraverso le superficie chiuse costituite da  $S_1$ , del tubo e da  $S_2$  è comunque nullo (in  $S_1$  e  $S_2$ ,  $E = 0$ ; poi, rispetto al tubo,  $E$  è parallelo!) cioè per ogni tale superficie contenuta entro il tubo nullo: se quindi  $q_1$  e  $q_2$  siano rispettivamente le cariche nello spazio all'interno e del secondo conduttore delimitato dal tubo, allora (equaz.)  $q_1 = -q_2$ . Riemunendo: le cariche contenute nelle superficie delimitate dai conduttori da un tubo di linee di forza sono opposte, se no.



Altro osservazione elementare: il flusso attraverso una qualsiasi sezione di un tubo tubo di linea di forza è costante in qualsiasi sezione. (Difatti, per misurare la corrente nel tubo, il flusso attraverso le superficie chiusa BB e CC è nullo!)

Dobbiamo supporre che il tubo abbia sezione infinitesima e che determini in fronte una superficie  $\Omega S$  sul primo conduttore, e immaginiamo la superficie AA e distanza infinitesima dal medesimo conduttore; i conduttori allora le superficie chiusa  $\Omega S$  e AA si avvicinano ad AA e  $\Omega S$ , fronte infinitesima AA. Naturalmente all'origine del tubo infinitesima consideriamo la corrente come  $I \approx \Omega S$ , per cui  $\Phi(E) = |E| \Omega S$  ( $E$  campo)  $\Rightarrow$  flusso  $|E| \Omega S$  attraverso l'intera superficie chiusa  $\Omega S$  il conduttore e AA; ma se ne cerca la densità di questo racchiuso è  $\sigma \cdot \Omega S$  (o la densità superficiale  $\sigma$  come nel conduttore) quindi (per definizione)  $\Phi(E) = |E| \Omega S \Rightarrow \frac{\sigma \Omega S}{\epsilon_0}$ , cioè

$$|E| = \frac{\sigma}{\epsilon_0}$$

; Ormai vede il TFOREGA DI COVOLPI:

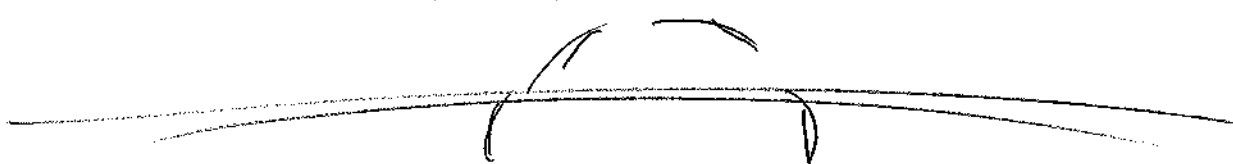
Nelle "immediate vicinanze" della superficie esterna di un conduttore (immerso) in un campo elettostatico  $E$ ) l'induzione di  $E$  è  $\frac{\sigma}{\epsilon_0}$ , le direzione di  $E$  è  $\perp$  alla superficie esterna di questo di  $E$  è uscente  $\Leftrightarrow \sigma > 0$ .

(NOTA: ciò NON è in contrasto col fatto (teorico) che una sottile sbarra di ferro di sezione uniforme di sezione finita in un campo elettostatico costante  $\sigma$  l'induzione  $|E| = \frac{\sigma}{2\epsilon_0}$ ; infatti ciò è vero perché (maglie e punti impenetrabili a tutti) un tale filo, MA fatti il campo da "lui" finito è mai nulla solo all'esterno!)

Se due (potenziali) due punti  $P_1$  e  $P_2$  sulla stessa linea di ferro e i "potenziali" sono conosciuti  $q$  da  $P_1$  e  $P_2$  (ai potenziali risp.  $V_1$  e  $V_2$ ), allora il campo  $E$  compreso tra  $q$  (da  $E$ ) è tale che  $V_1 - V_2 = \frac{q}{\epsilon_0} =$   
 $= \frac{1}{\epsilon_0} \int_{P_1}^{P_2} (q \cdot E) \cdot dS$   $= \int_{P_1}^{P_2} |E| q dS$  ; dunque da

le linee di ferro ( $q$  di  $E$ ) NON formano curve chiuse (con  $L_1 = L_2$ ,  $V_1 - V_2 = 0$  ma  $L_{1+2} \neq 0$  in quanto lungo le linee di ferro  $|E| dS$  ha sempre lo stesso segno  $\star\star\star$ ),

come) le linee di forza ( $\vec{E}$ ) o lecce de cariche (+ e minus in cariche -), o vettori dell'impulso, o tensioni all'infinito. Define, in modo analogo, ceffeso nello che le linee di forze non (non <sup>(non)</sup> <sub>(solo)</sub> la fermare sulla superficie di un altro conduttore (essendo allo stesso potenziale i punti di tale superficie!).



Ricordiamo che, posto nella spazio un nucleo di momento, se  $V(r) = O\left(\frac{1}{r}\right) + c$  e  $r \propto q$  il suo campo, oltre <sup>(momento)</sup> <sub>(elettrostatico)</sub> ( $\vec{V}_0$  nullo) ( $c$  costante),

il lavoro compiuto da  $E$  su  $q$  per spostare  $q$  da  $\infty$  all'infinito è tale che  $\frac{1}{q} \int_0^{\infty} dr (r \rightarrow \infty) = V(r) - V(\infty) = V(r) - c =$

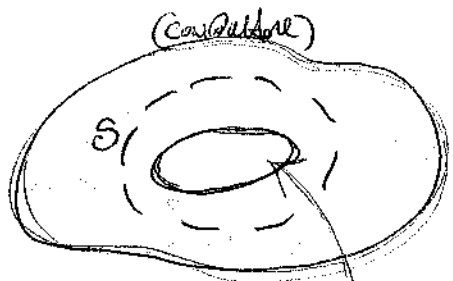
$= V_r$  : ponendo quindi  $c = 0$ ,  $V(r) \neq$  comunque <sup>(caso  $V(r) = V_r$ )</sup> il potenziale elettrostatico di  $E$  che cambia formalmente rispetto ad  $q$  se si sposta  $q$ . Dobbiamo quindi: il potenziale elettrostatico nel punto  $r$  (cioè  $V_r$ ) è la somma di potenziali due

quelli punti sia un punto di "sistema infinito" di cui <sup>(solo)</sup> altrimenti: il potenziale elettrostatico è sistema infinito è 0.

Tuttavia il caso di carica immobile in uno spazio vuoto infinito sia tecnicamente semplice (e per questo interessante), inoltre

è molto più importante il caso di conduttori elettrici posti in aria (o abbattuti nudi) e conduttori collegati al suolo ;  
 ora, se mette Dine è un buon conduttore di elettricità e quindi tutti i suoi punti sono allo stesso potenziale elettrico.  
 Nel caso di cavo in mezza aria, poniamo oltre come tale (circolare)   
 Dalle Dine quale è Znd ( )

Un conduttore generale come cerchi, e supponiamo che si immerso in un campo elettrico  $E$  esterno ; allora, come capito, le cariche elettriche formate dal conduttore si distribuiscono sulla sua superficie esterna ; inoltre sulla superficie delle cerchi, si creano "forze interne", ma si accumulano cariche : infatti in ogni cerchio  $E = 0$  all'interno del conduttore, quindi il suo piano elettronico ha qualcosa rispetto a S totalmente contenute nel conduttore a nullo, ossia (Gauss) S non contiene cariche elettriche ;  
 poniamo allora S come in figura :

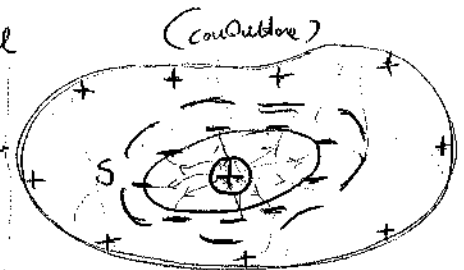


(che le cariche siano visibili o meno dall'esterno !)

Più "in genere", inoltre,  $E$  non è mai zero ovunque in un campo elettrico interno alle cerchi del conduttore (sempre fu Gauss, per cui la superficie è chiusa !), quindi le cariche risultanti

"schermato" dell'elioide : diremo che il conduttore condotto  
 è un "schermo elettostatico" per le cariche continue.

Ora, mettiamoci nel caso più generale che entro le cariche ci sia  
 un corpo carico, tenuto isolato dalle fonti interne del conduttore :  
 sempre per le S. A. fissa presente, ma tale  
 fonte interna compatta una carica elettrica  
 totale opposta a quelle del corpo, per  
 cui nelle superficie esterna del conduttore ormai troveranno le cariche  
 strettamente uguali a quelle del corpo (e il conduttore  
 comunque con carica elettrica interna 0).



Se "mettiamo a fuoco" il conduttore, allora le cariche sulla me-  
 sofuscia esterna si spostano sulla fuoco MA le distanze delle  
 fonti interne e delle cariche si invertono ; insomma il conduttore  
 che è equipotenziale, ha ora spaziamento potenziale 0. ||

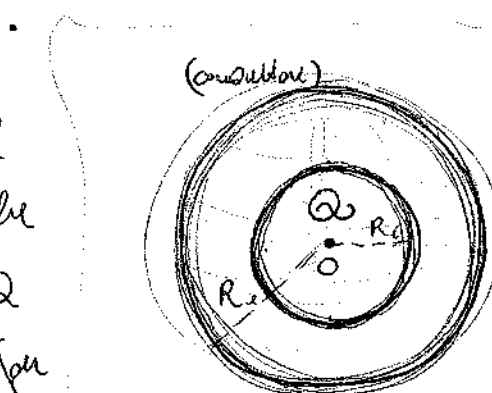
2) "Vidovene", se spostiamo il conduttore interno e mettiamo  
 e conduttore con le fonti interne, allora immediatamente  
 vediamo che le cariche sulla superficie esterna (distanziate in modo  
 che il conduttore sia equipotenziale !). || Vediamo quindi che le  
 distanze dei carichi fanno immediatamente sulle facce interne di  
 stesse del conduttore coincidere rispettivamente con quelle  
 che si hanno nei casi (1) e (2) (che rendono E nulla  
 nel conduttore, rispettivamente i quattro insieme j tali distanze sono  
 le cariche fondamentali per avere tali effetti  $E_{int}=0 \dots$ ). ||

Pertanto: carica sottrattiva delle cariche intime alle cariche NON  
modifica le distribuzioni delle cariche sulle superficie esterne  
del conduttore ; e' anche vero che, ovviamente, con queste  
distribuzioni stesse le cariche all'esterno del conduttore NON  
modificano il campo elettrico nelle cariche  
(schemi!)

(Vedi le diapositive esplicative sull'elettrostatica e specifica  
il "fatto di Babinet" !! )

**ES.**: Una carica uniforme  $Q$  si trova nel centro  $O$  di un conduttore  
cavoso e simile di forma sferica da raggio interno  
 $R_i$  e raggio esterno  $R_e$  ; calcoliamo le densità di  
carica sulle due facce intime e sulle due superficie esterne,  
ma anche l'intensità del campo elettrico e il potenziale elettrico  
in un qualsiasi punto dell'azio.

Per intuizione elettronistica, le cariche del  
conduttore si distribuiscono in modo che  
nelle facce intime si ricava una carica  $-Q$   
e sulle superficie esterne una carica  $Q$  ; per  
simmetria, e' chiaro che formalmente le due  
superficie di carica sono rispettivamente  $\sigma_i = \frac{-Q}{4\pi R_i^2}$  e  $\sigma_e =$   
 $= \frac{Q}{4\pi R_e^2}$  . f. One, il campo elettrico  $E$  generato da  $Q$  e'  
in ogni caso nullo all'interno del conduttore, mentre altrove e' diverso  
proportionalmente (e verso l'esterno  $\Rightarrow Q > 0$  !) ; date le simmetrie



Del risultato, uniamo formule per il campo  $E$ :  $|E|$  in un qualsiasi punto  $P$  distante  $r_0 (> 0)$  da  $O$  : infatti, chiamando  $s$  l'area del  
centro  $O$  e raffigurando  $r$  radiale come una linea retta di  $Q$   
(se non è contenuta all'interno del conduttore), quindi

$$\Phi_s(E) = |E| \frac{1}{4\pi r^2}, \quad (\stackrel{(E \text{ radiale!})}{=}) \quad \frac{Q}{E_0 r^2}, \quad \text{cioè} \quad |E| = \frac{Q}{4\pi E_0 r^2}. \quad \checkmark$$

Altre altre fatti sono i potenziali elettrici  $\phi(E)$  in  $\vec{r}$  delle forme  $V(r) = \frac{Q}{4\pi E_0 r} + \text{costante}$ ; ora, il conduttore è equipotenziale, mentre fuori da lui (fuori  $O = V(\infty) = \text{costante}$ ), per cui per  $r \geq R_e$  è  $V(r) = \frac{Q}{4\pi E_0 r}$  (e, in particolare, il intero conduttore è  $\phi$  costante  $\phi / (4\pi E_0 R_e)$ ); sarebbe allora da dire che, per  $r \leq R_i$ ,

$$\text{per } V(r) = \frac{Q}{4\pi E_0} \left( \frac{1}{r} - \frac{1}{R_i} + \frac{1}{R_e} \right) \quad \text{concreta} \quad V(R_i) = V(R_e); \quad (\text{dunque!})$$

Ma infatti, inserendo la sopra data formula di  $r$  e  $R_i$  in modo radicale, è  $V(r) - V(R_i) = \frac{Q}{4\pi E_0} \int_r^{R_i} \frac{1}{s^2} ds = \left[ \frac{Q}{4\pi E_0 s} \right]_{s=R_i}^{s=R_i} = \frac{Q}{4\pi E_0 r} - \frac{Q}{4\pi E_0 R_i}$ , dunque l'espressione per  $V(r)$ .

Consideriamo un conduttore isolato nello spazio in "condizioni di equilibrio", nel senso che le cariche totali  $Q$  fornite dal corpo siano distribuite sulla superficie (esterna) in modo che fieldi elettrici (interno ed esterno) siano equipotenziali; in tale distribuzione superficiale si dà anche l'area (periferia) delle forme geometriche del corpo.

Ponendo  $V(\infty) = 0$ , scatto un qualsiasi punto  $P_0 := (x_0, y_0, z_0)$

del conduttore,  $V(P_0)$  è costante e solo conveniente

$$V(P_0) = \int_S \frac{\sigma dS}{4\pi\epsilon_0 R} \Rightarrow \frac{1}{4\pi\epsilon_0} \int_S \frac{\sigma(x, y, z) dS}{\sqrt{(x-x_0)^2 + (y-y_0)^2 + (z-z_0)^2}}$$

osserviamo che nell'affissore  $V(P_0)$  ne apparisce  $\sigma$ , e quindi  $Q$ , mentre non appariscono  $Q$  ne apparisce  $\sigma$ ; fatti in parole, chiaramente, il rapporto

$$C := \frac{Q}{V - V(\infty)}$$

*(POTENZIALE ELETTROSTATICO)*

costante caratteristica del conduttore (dipende solo dalle sue forme), detta "capacità" del conduttore.

(Unità di misura:  $1F := \frac{1C}{1V}$  ("Farad"))

**ES.**: calcoliamo la capacità di un conduttore sferico (isolato) di raggio  $R$  e di carica totale fornita  $Q$ :

Come si vede, se distanza  $R \geq R$  dal centro della sfera è

$$V(r) = \frac{Q}{4\pi\epsilon_0 R} \rightarrow \text{in periferia la sfera è equipotenziale}$$

$$\text{con } V(R) = \frac{Q}{4\pi\epsilon_0 R} \quad (V(\infty)=0) \quad \text{e quindi } C = 4\pi\epsilon_0 R$$

$$\cancel{E} \text{ definiamo che } \epsilon_0 = 8.854 \cdot 10^{-12} \frac{C^2}{N \cdot m^2} \left( = 8.854 \cdot 10^{-12} \frac{F}{m} \right)$$

se ne trae insomma di avere (ma, in effetti,  $\frac{N}{C} = \frac{V}{m}$   $\Leftrightarrow \frac{C}{N} = \frac{m}{V}$ )

$$\frac{C}{Nm \cdot m} = \frac{C}{Vm} = \frac{F}{m} !) \quad . \quad \checkmark )$$

**EX:** calcoliamo la capacità di un condensatore cilindrico (cerco di non  
scrivere neppure di avere  $R$  e altrimenti  $h \gg R$ ).

Supponendo l'ipotesi  $h \gg R$ , poniamo comunque (con "buone"  
approssimazioni) che le cariche totali  $Q$  fornite dal cilindro  
si distribuiscono uniformemente sulla superficie laterale, e quindi  
con densità  $\sigma := \frac{Q}{2\pi R h}$ ; se  $l_0$  è la lunghezza del  
cilindro, allora

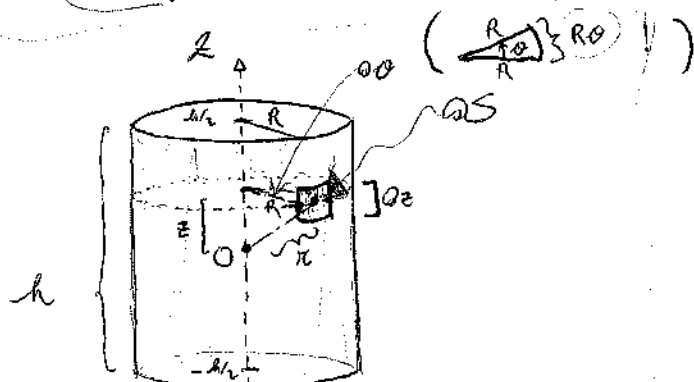
$$V(l_0) = \frac{1}{4\pi\epsilon_0} \int \frac{\sigma \cdot \Omega S}{R} \quad (= \int F_{\text{costante}} \frac{l_0}{m \cdot s^2})$$

$S$  (laterale) (distanza da  $l_0$ )

$$= \frac{\sigma}{4\pi\epsilon_0} \int \frac{\Omega S}{R} \quad ; \quad \text{per tale calcolo introduciamo un sistema}$$

di coordinate cilindriche con origine  $O :=$  il centro del cilindro  
e l'asse  $z :=$  l'asse del cilindro, e freccia  $\rho_0 := 0$

(è comunque allo stesso livello dell'intero cilindro!!)



$$\int \Omega S = (R \Omega \theta) \Omega z$$

$$r = \sqrt{R^2 + z^2}$$

allora

$$V = \frac{\sigma}{4\pi\epsilon_0} \int_0^{2\pi} \int_{-\frac{h}{2}}^{\frac{h}{2}} \frac{R \cos \theta}{\sqrt{R^2 + z^2}} dz d\theta = \frac{\sigma R}{2\pi\epsilon_0} \int_0^{2\pi} \left[ \int_0^{\frac{h}{2}} \cos \theta \right] \frac{1}{\sqrt{R^2 + z^2}} dz =$$

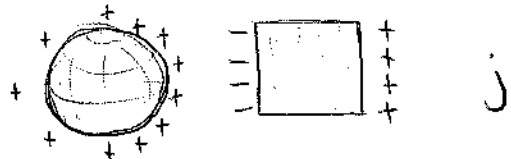
$$(!) = \frac{\sigma R}{\epsilon_0} \left. \log \left( z + \sqrt{R^2 + z^2} \right) \right|_{z=0}^{z=\frac{h}{2}} = \frac{\sigma}{2\pi\epsilon_0 h} \log \left[ \frac{1}{R} \left( \frac{h}{2} + \sqrt{R^2 + \frac{h^2}{4}} \right) \right]$$

$(= \frac{\sigma}{2\pi\epsilon_0 h})$

e in conclusione quindi  $C = 2\pi\epsilon_0 h / \log \left[ \frac{1}{R} \left( \frac{h}{2} + \sqrt{R^2 + \frac{h^2}{4}} \right) \right] =$

 $= 2\pi\epsilon_0 h / \log \left( \frac{h}{2R} + \sqrt{1 + \frac{h^2}{4R^2}} \right)$  j qui , per il  
 $R \gg h$ , si  $C \approx 2\pi\epsilon_0 h / \log \left( \frac{h}{R} \right)$  . . .

Elementare come elemento le espinte so un conduttore : mettano vicino un altro ! Verranno considerate un insieme costituito da due conduttori , il primo so forma sférica e carica positiva  $Q$  , e il secondo completamente neutro . Per intuizione Metteniamo , occorre questo :



è ovvio (anche immediato) vedere che il potenziale del conduttore sfondo rimane minore di quello che era possibile se isolato , cioè rimane maggiore  $C = \frac{Q}{V}$  (  $V$  è il potenziale rispetto all'infinito delle sfera ! ) j questo è meglio rispetto a il secondo conduttore si carica negativamente , e in tal caso

Le linee do forte incatti delle sfera fermare su lui, e il suo numero dipende dalle quantità do varie in gioco.

Un dispositivo costituito da due conduttori di carica si negli offrono è chiamato "condensatore", e tali conduttori sono le sue "armature" j indicano le facce do un condensatore in un circuito col simbolo seguente: "—||—".

Sappiamo che le due armature forniscono carica libera do qualche spazio  $+Q$  e  $-Q$ , e vero  $V_+$  e  $V_-$  i rispettivi potenziali elettrici; allora siamo forse con le A.O.F.

$$\Delta V := V_+ - V_- \quad , \quad \text{e definiamo le "capacità del condensatore" in questione come} \quad C := \frac{Q}{V_+ - V_-} = \frac{Q}{\Delta V} \quad ,$$

che chiaramente si dice una costante caratteristica del sistema.

**ES.**: in un "condensatore piano" le armature sono delle sferole (conduttori) finte e parallele fra loro, e distante  $d$  ( $> 0$ ), di uguale area  $S$  tolte da dimensione infinita  $\gg d$ .

Allora, come già visto, le cariche si distribuiscono uniformemente con densità superficiale  $\pm \sigma := \pm \frac{Q}{S}$  e creare un campo elettrico (soltanente nello all'interno  $\perp$ ) costante e "l'armatura" all'interno (con verso  $+e-$ !) con intensità  $\frac{\sigma}{\epsilon_0}$

$$\text{per cui } V(z) = V_+ - \frac{\sigma}{\epsilon_0} z \Rightarrow V_- = V_+ - \frac{\sigma}{\epsilon_0} d$$

Se allora  $\Delta V = V_+ - V_- = \frac{Q}{\epsilon_0} \cdot \sigma$  (in effetti  
 $\sigma = F \cdot \sigma = (qE) \sigma = q \frac{(\sigma Q)}{\epsilon_0}$ ; ma  $\frac{Q}{q} = \Delta V$  !);

essendo effetto  $Q = \sigma S$ , ricaviamo  $C = \epsilon_0 \frac{S}{\sigma}$ .

**ES.**: in un "condensatore cilindrico" le strutture sono due tubi:  
 cilindriche concentriche di raggi  $R_1 < R_2$  e lunghezza  $\lambda$  conica  
 periferica  $\rightarrow \lambda < +\lambda$  rispettivamente;

ricordando che l'intensità del campo elettrico  
 generato da una distribuzione uniforme di carica  
 su una superficie  $\Gamma$  sia  $E = q / (\epsilon_0 \pi r^2)$

da cui  $E(R) = \frac{\lambda}{2\pi\epsilon_0 R}$  con  $R \geq R_1$  (fatti),

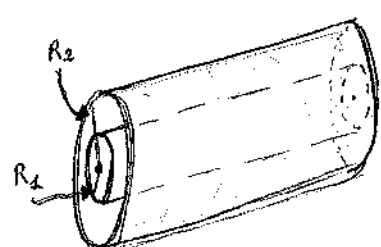
il potenziale è  $V(r) = \frac{\lambda}{2\pi\epsilon_0} \log(r)$  ( $V(\infty) = 0$ ) e in  
 particolare  $V(R_2) = \frac{\lambda}{2\pi\epsilon_0} \log(R_2)$ ;

quindi  $\Delta V = V_+ - V_- = V(R_2) - V(R_1) = \frac{\lambda}{2\pi\epsilon_0} \log\left(\frac{R_2}{R_1}\right)$   
 $\left(= \int_{R_1}^{R_2} dR \frac{\lambda}{2\pi\epsilon_0 R} \right)$  in approssimazione di cilindri "illimitati".

se poniamo il condensatore molto lungo  $\lambda \gg R_2 - R_1$ ,

allora ricaviamo  $C = \frac{Q}{\Delta V} = \frac{2\pi\epsilon_0 \lambda}{\log\left(\frac{R_2}{R_1}\right)}$ .

Per calcolare altrettanto  $C$  forniamo ora meglio.



Due condensatori sono "in parallelo" se su trovano allo stesso

Differenze di tensione cioè le capacità di un insieme di condensatori disposti in parallelo è la somma delle capacità di tutti i condensatori componenti:  $C = C_1 + C_2$ .

Inoltre i due condensatori formano le cariche:

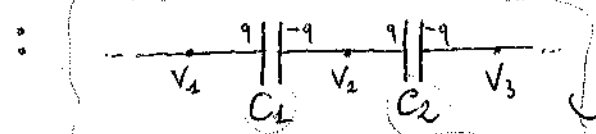
$$q_1 = \Delta V \cdot C_1 \quad e \quad q_2 = \Delta V \cdot C_2, \quad \text{per cui la}$$

carica complessiva fornita dalle armature positive è

$$Q = q_1 + q_2 = \Delta V (C_1 + C_2)$$



Due condensatori sono "in serie" se hanno "ordinatamente" le stesse quantità di carica fornita:



Allora il rapporto delle capacità del sistema risultante è la somma dei reciproci delle capacità di tutti i condensatori componenti,

$$\text{cioè } \frac{1}{C} = \frac{1}{C_1} + \frac{1}{C_2}$$

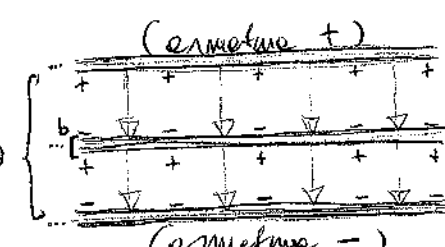
Inoltre  $C_1 = \frac{q}{V_2 - V_1}$  e  $C_2 = \frac{q}{V_3 - V_2} \Rightarrow V_2 - V_3 =$

$$= (V_2 - V_1) + (V_3 - V_2) = q \left( \frac{1}{C_1} + \frac{1}{C_2} \right)$$

Ora invece che , per due condensatori in serie,  $C_1 = C_2 \Rightarrow$

$$C = \frac{1}{2} C_1, \quad \text{ma allora fatta è cosa quasi mai}$$

diminuita la tensione alle armature !

**E5.**: Se le armature di un condensatore siano infissate verticalmente  
una testa metallica di spessore  $b < d$  := distanza armature ( $\ll$   
dimensioni armature) j calcoliamo la capacità del sistema  
risultante : anzitutto la "situazione" è come  
quella in figura (per infissione elettrostatica)  
(e fissa) j a 

Ora basta osservare che abbiamo due condensatori  
affacciati di capacità  $\frac{E_0 S}{\frac{d}{2}(d-b)}$  disposti in serie, per cui la  
capacità del sistema è  $\frac{1}{2}$  di questa, e cioè  $\frac{E_0 S}{d-b}$  ; j in  
oltre ciò restano pure comunque stesse inserite le teste :  

$$\left[ \frac{E_0 S}{\frac{d}{2}(d-b)} \right]^{-1} + \left[ \frac{E_0 S}{\frac{m-b}{m}(d-b)} \right]^{-1} = \left( \frac{1}{m} + \underbrace{\frac{m-1}{m}}_{1} \right) \frac{d-b}{E_0 S} = \frac{d-b}{E_0 S} \quad j$$

in alternativa poniamo osservare che  $\Delta V = \frac{\sigma}{\epsilon_0} (d-b)$  (=  
 $= \frac{\sigma \rho}{\epsilon_0} \left( 1 - \frac{b}{d} \right)$ ) indipendentemente dalla posizione delle teste. f  
(quello come la testa!)

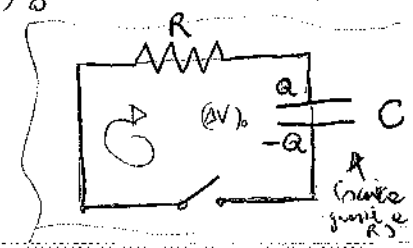
**L'esempio** Di un condensatore circolare di uguale al lavoro che  
si può fare ad una concentrazione completamente , collegando a  
tutte le sue armature con un filo metallico .  
Se la Q.Q. fra le armature è  ~~$V_+ - V_-$~~  cambiare  
la variazione dell'armatura positiva da  $q$  a  $q+\Delta q$  uguale a  
cambiare la variazione in quelle negative da  $-q$  a  $-q-\Delta q$  , e  
cioè è come se avessimo spostato una carica  $\Delta q$  dall'armatura

repetizione e quelle positiva, conferito quindi un senso  $\hat{Q}_L = (-V)Qq$  j ole, in cui faccio  $Q$  di concavo e  $Qq > 0$  e cioè  $\hat{Q}_L$  è (contro) la forza del campo che le armature, per cui ovviamente l'energia acquisita dal condensatore è  $\hat{Q}_U = | \hat{Q}_L | = (V - V_-)Qq = \frac{C}{C + \frac{q}{V}} Qq$  j se quindi impieghiamo ancora le formule coniche  $Q \pm Q$ , otteniamo l'energia immagazzinata:

$$= \int_{(concave)}^Q \hat{Q}_U = \int_0^Q \frac{q}{C} \hat{Q}_q = \left[ \frac{q^2}{2C} \right]_{q=0}^{q=Q} = \boxed{\frac{1}{2} Q^2 C}, \quad \text{(con } V \text{ e } q \text{ da } \text{single!})$$

(ed è ormai chiaro che ciò vale per un qualsiasi conduttore isolato, fornendo le cariche  $Qq$  dell'inspirito!).  
Formiamo l'equazione di così concavo il condensatore in seguito all'aver collegato ai capi  $Q$  un generatore di t.r.m.  $V$ , e avremo che del senso  $\hat{Q}_U$  sottra del generatore sarà la metà si ritrovare in energia immagazzinata dal condensatore:  
Le restanti metà è disposta per effetto Joule.

**Es.**: calcoliamo le situazioni per un condensatore di capacità  $C = 1 \mu F$  che all'istante  $t=0$  viene chiuso in una resistenza  $R = 1 k\Omega$ , sapendo che in tale istante  $(\Delta V)_0 = 100 V$ .  
S'intuisce un senso finito del circuito; a  $t=0$ , per Ohm,  $i_0 = \frac{(\Delta V)_0}{R} = 0.1 A$ . Ora,



Se  $q := q(t) :=$  la carica all'interno  $t$  sulle spine orizzontali del condensatore che incrementa (diminuisce) il carico nel suo verso (opposto) (conicche'  $q(0) = Q = C(\Delta V)_0$ ) , allora  $q(t) = Q + \int_0^t i dt$ ,

ovvero  $i = \frac{\partial q}{\partial t}$  ; inoltre abbiamo il condensatore n'ha le

caratteristiche di tensione  $\Delta V = \frac{q}{C}$ , mentre abbiamo la resistenza

$$\Delta V = R i \quad , \quad \text{e quindi} \quad \text{(riservamento)} \quad R i + \frac{q}{C} = 0 \quad ,$$

$$\text{cioè} \quad R \frac{\partial q}{\partial t} = - \frac{q}{C} \quad (\text{e } q(0) = Q) \quad \text{cioè}$$

$$q(t) = Q e^{-\frac{t}{RC}} = Q e^{-\frac{t}{\tau}} \quad \text{con } \tau := RC \quad \text{"costante di tempo"}$$

fusso del circuito (in effetti la nostra  $\Delta F = \frac{q}{C} = 0$ ) ; ma allora  $\Delta V(t) = \frac{q(t)}{C} =$

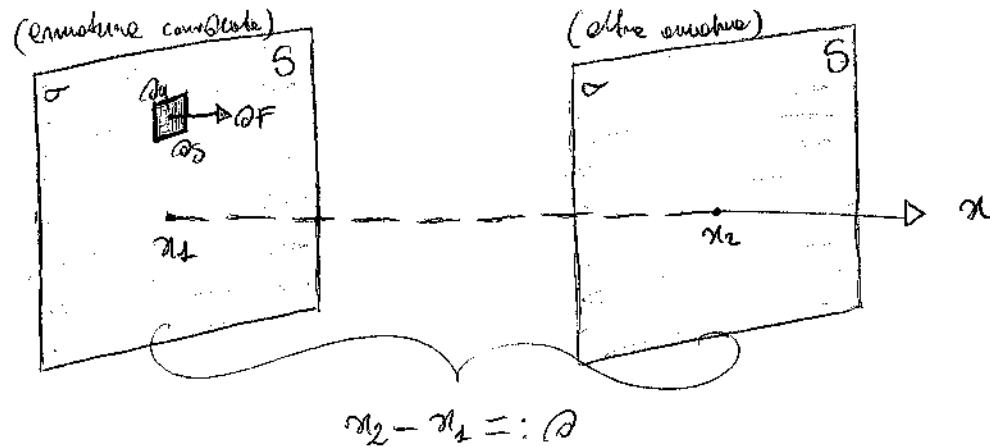
$$= \frac{Q}{C} e^{-t/\tau} = (\Delta V)_0 e^{-t/\tau} \quad \text{e} \quad i(t) = \frac{\Delta V(t)}{R} = \frac{(\Delta V)_0}{R} e^{-t/\tau}$$

e quindi l'energia dissipata complessivamente delle resistenze (per effetto Joule) è  $\int_0^\infty \Delta V i dt = \frac{(\Delta V)_0^2}{R} \int_0^\infty e^{-\frac{2t}{\tau}} dt =$

$$= \frac{1}{2} C (\Delta V)_0^2 = \text{energia inizialmente immagazzinata nel condensatore.}$$

(Osserviamo forse per cui analogo per il fatto di carica di un condensatore ! )

Celosamente alle forze  $F$  agenti su ciascuna delle strutture si unisce un'azione di tipo attrattiva come risultante delle forze coulombiane, e ciò con le considerazioni seguenti, tenendo in mente che:



Intanto che la forza  $F$  è parallela all'asse conduttore se si trova tra le due strutture; inoltre, se  $E_s =$  il campo elettrico generato dalla sola cernice dell'altra struttura, allora ovviamente  $\partial q$  ricevuta dalla parte  $\partial F = E_s \partial q = E_s \sigma \Delta S$ ; ma siccome  $E_s = \frac{\sigma}{2\epsilon_0}$ , quindi  $\partial F = \frac{1}{2} \frac{\sigma^2}{\epsilon_0} \Delta S$

$$F = \frac{1}{2} \frac{\sigma^2}{\epsilon_0} S \quad (\text{cioè } \frac{F}{S} = \frac{1}{2} \frac{\sigma^2}{\epsilon_0})$$

Altro modo: funzione di sosterre ad un bordo con l'asse conduttore (mentre isolabili il conduttore!), cernice il campo generato dalle forze interne  $F$  agenti su tale struttura sia  $\partial L = F \Delta x$ ; dove ovviamente l'azione del conduttore mette una variazione  $\partial U = -\partial L = -F \Delta x$  → cioè  $E$

$$F = -\left(\frac{\partial U}{\partial x}\right), \quad \Rightarrow -\frac{1}{2} Q^2 \frac{\partial \left(\frac{1}{C}\right)}{\partial x}; \quad \text{se il conduttore è}$$

$(Q \text{ costante!})$

Fisico, allora  $C = \frac{\epsilon_0 S}{x_2 - x_1}$  e quindi in effetto  $F = -\frac{1}{2} \cdot \underline{\underline{Q}} \cdot \underline{\underline{S}}$ .  
 $\left(= \frac{1}{2} \epsilon_0 S^2\right)$

$$\underbrace{- \frac{\partial}{\partial x_2} \left( \frac{x_2 - x_1}{\epsilon_0 S} \right)}_{\left(= -\frac{1}{\epsilon_0 S} \cdot (-1)\right)} = \frac{1}{2} \frac{\partial \underline{\underline{S}}}{\partial x} \\ = \left( -\frac{1}{C^2} \frac{\partial C}{\partial x} \right)$$

$$\text{(Motivazione di } -\frac{1}{2} \underline{\underline{Q}} \cdot \underline{\underline{S}} \cdot \frac{\partial}{\partial x} \left( \frac{1}{C} \right) = \frac{1}{2} \frac{\underline{\underline{Q}}}{C^2} \frac{\partial C}{\partial x} \text{)}$$

Caso più generale: consideriamo qualcosa a carica elettrica  $\sigma$  con densità  $\rho$ ; dunque se  $\sigma(x)$  fosse la carica elettrica costante, mentre avremo la carica. Ora, se  $\partial V_b$  è l'energia cinetica delle cariche, allora abbiamo  $\partial V = \partial V_b - \partial E =$   
 $= \partial V_b - F \partial x$ ; mentre da le leggi sappiamo che carica  $\partial Q$  fu mantenuta costante da funzione  $V$ , dunque  $\partial V_b = V \partial Q =$

$$= V \left( \frac{\partial Q}{\partial x} \right) \partial x \stackrel{\downarrow}{=} V^2 \frac{\partial C}{\partial x} \partial x \quad \text{Affatto analogamente}$$

$$\partial V = \left( \frac{\partial V}{\partial x} \right) \partial x \stackrel{\downarrow}{=} \frac{1}{2} V^2 \frac{\partial C}{\partial x} \partial x \quad \text{cioè } \partial V_b = 2 \partial V \quad \text{e}$$

$$\text{allora } F = \left( \frac{\partial V_b}{\partial x} \right) - \left( \frac{\partial V}{\partial x} \right) = \left( \frac{\partial V}{\partial x} \right) = \frac{1}{2} V^2 \frac{\partial C}{\partial x} \stackrel{\left(V=\frac{Q}{C}\right)}{=} =$$

$$= \boxed{\frac{1}{2} \frac{\underline{\underline{Q}}}{C^2} \frac{\partial C}{\partial x}}, \quad \text{che è la stessa forza!}$$

Se conosciamo la distribuzione  $\sigma(x)$  delle cariche elettriche in una certa regione di spazio, allora potremo calcolare il potenziale elettrico  $V$  in ogni punto della regione (mediante un integrale triplo) e

quindi il campo elettrico  $E$  in ogni punto ( $E = -\nabla V$ ) ; è  
 però chiaro che tale distribuzione di  $E$  coincide non solo in generale nello  
 spazio , specie se nelle regioni dove i conduttori sono ferri e non  
 sono conduttori . Il problema generale dell'elettostatica consiste  
 nel determinare il campo elettrico in tutto lo spazio quando per alcuni  
 conduttori fissati sono fissati i potenziali funzionali , per gli  
 altri conduttori sono imposte le condizioni formule , mentre nello  
 spazio stesso c'è solo la distribuzione delle cariche . Si  
 potrebbe dimostrare che tale problema ha una sola soluzione (e  
 ciò avviene anche nel caso che il volume conduttore sia contenuto in  
 una superficie chiusa con potenziali all'interno assegnati ) ; per dimostrare  
 che il potenziale  $V$  ha appunto <sup>(e generale)</sup> le condizioni che , per  $r \rightarrow +\infty$  ,  $V(r) \rightarrow 0$   
 ovvero come  $r^{\alpha}$  (cioè  $V(r) = O_{r \rightarrow +\infty}(\frac{1}{r})$ ) , anche perché in  
 ogni caso l'assegnato impone una condizione all'infinito .

Disattieniti qui in addebito tre situazioni particolari .

**I** ("Problema di Dirichlet") Le cariche sono assorbite solo su  
 gli conduttori , di geometrie note , per quelli non conduttori solo i  
 rispettivi potenziali  $V_i$  ordinatamente ( $i \in \{1, \dots, N\}$ ) ,  
 ovvero effatto  $\sum_i V_i$  . Si e  $V_i$  sono noti ; esiste (f) le cariche solo  
 sulle  $S_i$  , nello spazio interno  $\Omega$  tra i conduttori il potenziale  
 risultante  $V$  soddisfa l'equazione di Laplace  $\nabla^2 V = 0$  ,  
 alle quali effette appunto le "condizioni al contorno"  $\partial \Omega$   $V$

nelle  $S_i$  e all'interno, consegue (A! V); e questo fatto  
 obbliga  $E$  perciò a muti arbitrariamente ormai alle  $S_i$  e così  
 anche infine il termine  $\Delta$  dovuto per ottenere le  $V_{ik}$   
 sufficienti ad avere  $\sigma_i(p) = \epsilon_0 E K p_i$  ( $p_i$ : muto arbitrario di  $S_i$ )  
 e dunque le corde complete  $Q_i$ :

**I** Le corde sono distribuite solo su  $N$  conduttori, ad geometrie note,  
 ma questi sono associate le corde complete  $Q_i$ ; si potrebbe  
 dimostrare (facilmente) che i generici  $V_i$  sui conduttori dipendono  
 direttamente da tali corde, cioè che  $V_i = \sum_{j=1}^N p_{ij} Q_j$ ,  
 dove i  $p_{ij}$  dipendono dalle forme e dalle dimensioni relative dei  
 conduttori ("coefficienti di penetrazione"); essendo questo noto,  
 allora obbliga anche i  $V_i$  a riunire al loro insieme.

**II** Si hanno corde distribuite in regioni omogenee delle spese e  
 simili su  $N$  conduttori, ad geometrie note, ma queste sono associate  
 le corde complete  $Q_i$ ; dunque  $V$  tale che  $\nabla^2 V = -\frac{f}{\epsilon_0}$  all'intero, ma i  $V_i$  al centro non sono noti;  
 tuttavia, per convenzione, tali generi sono delle forme  $V_i =$   
 $= \sigma_i(p) + \sum_{j=1}^N p_{ij} Q_j$ , dove i  $p_{ij}$  sono quelli del  
 loro insieme,  $p$  è la somma di tutti gli spesi dei conduttori e  
 i coefficienti omogenei  $\sigma_i(p)$  vengono determinati; ma ciò  
 è facile perché, sebbene per non dei "solvi si fissa"

oblivio : Vi e quindi, come nel caso (I), le corde complete  
sia conduttori che Alanno coincidono con le Qd singole.

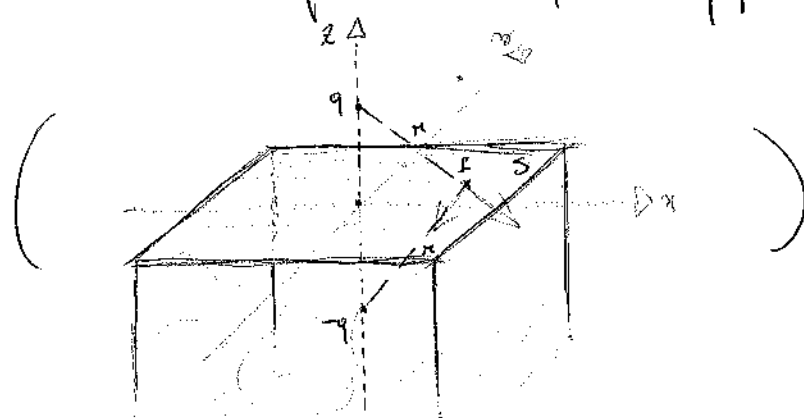
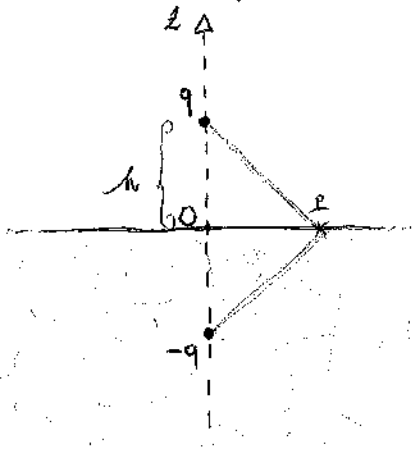
Considero diverse tecniche sperimentali per determinare le soluzioni del  
problema generale dell'elettrostatica (rispetto ad un certo sistema fisso).

Metodo delle corde immobili (se conduttori si fanno planari  
"surface", insomma si tiene a puro) . Sappiamo che il  
potenziale de' materiali non conduttori de' un solo conduttore messo a  
fase (corde' stesse sottratte  $V=0$ ) e de' una sola corona  
tunisiana q' esterna ad esso ; tale corona sommata al contributo  
 $\neq 0$  di noi (sul solo conduttore), quindi sulle sue superficie S  
siene e creare una distruzione di corde stesse de' rendere equipotenziali.  
il potenziale il quale do' tale distruzione. Ecco ora

l'idea : intendiamoci che a più "corde fissate" q'  
infine allo stesso contributo del conduttore, con posizioni tali che  
si annule il contributo del conduttore, il contributo de' portato al  
potenziale su S sia offerto e quello delle corde esterne q'.  
Infatti così le corde q e q' finiscono nello stesso estero al  
conduttore se stessa compiono lo spostamento  $V_{finale} = V_{iniziale}$  se q  
e q' sono o (caso : pure del conduttore c'è comunque solo  
q, dunque  $V_{iniziale} = 0$ ; inoltre la corona si muova  
per  $V$ , cioè su S, coincideva e  $V_{iniziale} = 0$  in entrambi i casi j  
pertanto si ricorda che eq. Poisson + cas. di tipo questo ha un

una rete reticolare!) , e come visto con  $\nabla \vec{E}$  essere fatto.  
 Poi in generale , per un insieme finito di cariche esterne q. al conduttore , indichiamo per ciascuna le cariche immesse q. corrispondente e fissiamo quindi il fabbisogno generale delle q. e delle q!. E' immediata l'estensione al caso di una struttura costituita da catene esterne al conduttore.

**ES.**: Consideriamo il caso di una rete reticolare q. esterna al un conduttore piano (piano e luce) ; supponiamo il sistema di riferimento in modo che il piano xy coincida con la superficie S del conduttore , e l'asse z punti su la frontiera occupata da q , che mappiamo direttamente su S ; e' allora facile che le cariche immesse siano  $q' = -q$ , in  $z = -h$ :



Ora , fissando  $\vec{E}$  di un campo elettrico , e chiedendo che siano evidentemente che su S ci sia campo elettrico  $E = -\frac{1}{4\pi\epsilon_0} \frac{2qh}{(h^2+x^2+y^2)^{3/2}} \vec{R}$

$$(x_1, y_1, 0) - (0, 0, h) = (x_1, y_1, -h) , mentre (0, 0, -h) - (x_1, y_1, 0) = (x_1, y_1, -h))$$

Quindi per Coulomb  $\sigma = \epsilon_0 |E| = \frac{1}{2\pi} \frac{qh}{(h^2+x^2+y^2)^{3/2}}$  (che impatti)

$$ma \left\{ \sigma = -q \dots \right\} \text{ mentre poi } F_x = \frac{-1}{4\pi\epsilon_0} \frac{q^2}{(2h)^2} \cdot R = -\frac{q^2}{16\pi\epsilon_0 h^2} \vec{R}$$

Consideriamo una spina di ferro sotto di un campo magnetico e un filo di rame metallico, di lunghezza infinitesima così, dove faremo le curvi elettriche d'intorno i (orientate a nel verso contrario alle correnti) j faremo tale filo in un punto dello spazio tale che ~~non~~ tre s e le linee di forza del campo in quel punto ci sia un angolo di  $\theta$ , si verifica sperimentalmente che le forze  $\Delta F$  esercite sul filo sono proporzionali a  $i A \sin \theta$ , e i s e nello:

$$\Delta F = i B l \sin \theta \quad ; \quad \text{il fattore di proporzionalità}$$

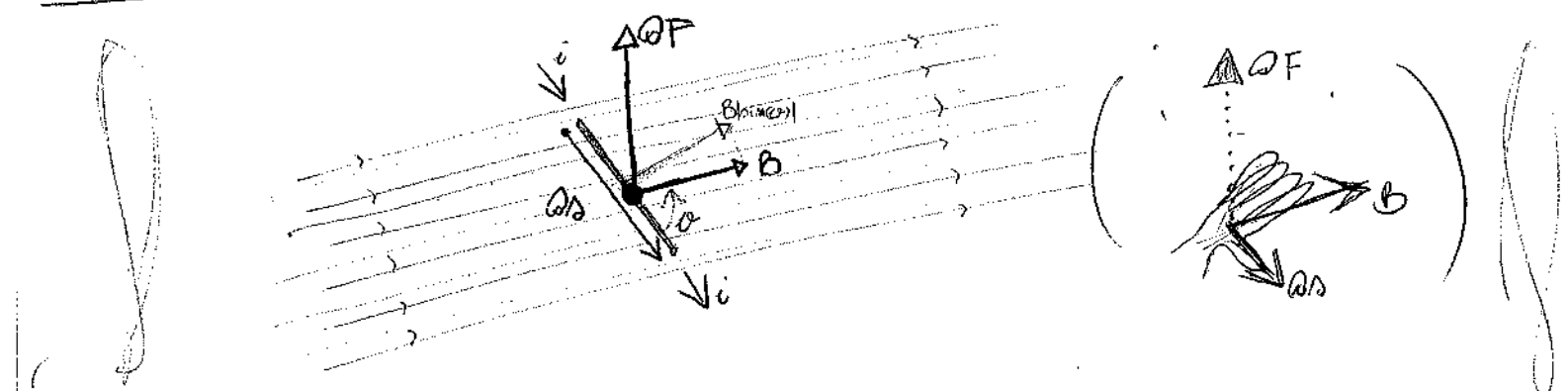
$B l$  è costituzionale del campo magnetico nel punto considerato. Scriviamo

"INDUZIONE MAGNETICA" in un punto il vettore  $B$  esercita direzione e (o "campo magnetico")

verso coincidenti con quelli delle linee di forza per quel punto, e la sua modulo uguale a  $(B l)$  fissato.

Ji verifica sperimentalmente che più frequentemente il angolo

$$\Delta F = i A \sin \theta \times B \quad ("seconda legge elementare di Lefébvre")$$



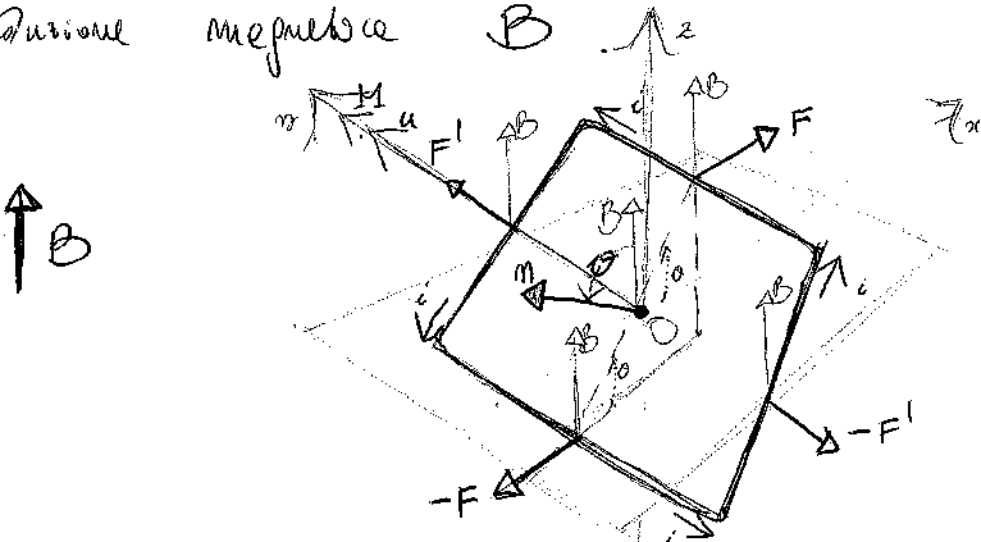
Da particolare le forze del campo zero nulla su un filo di filo parallelo alle linee di forza del campo stesso.

Nel caso generale (ai cui poli  $A$  e  $B$  hanno quote  $l_A$ ,  $B$  minore di  $A$ ) si ha la formula per calcolare le forze risultanti esercitate dai due poli:

$$F = \sigma \int_{\text{poli}} A \times B$$

L'unità di misura di  $B$  è il "TESLA"  $T := \frac{N}{A \cdot m}$  (o il "GAUSS"  $\text{G} := 10^{-4} T$ ), mentre l'unità di misura per il flusso  $\Phi_B$  è  $Wb := \frac{V \cdot s}{m^2}$ .  
Se si osserva una superficie  $S$ ,  $\Phi_S(B) = \int_S B \cdot n dS$ , e' il "WEBER"  $Wb := T \cdot m^2$ ,  $\Rightarrow \frac{N \cdot m}{A} = \frac{J}{A} = \frac{V \cdot C}{A} = V_s$ . (qui  $T = \frac{Wb}{m^2}$ )

**ES.**: Calcoliamo le risultante, il momento risultante, delle forze esercite su una spira chiusa, percorso da corrente continua di intensità  $I$ , fornita in un campo magnetico uniforme  $B$ .



( $m$  è il verso normale alla spira!)  
(di qua S)

Si ritiene di fare le simboli  $F$  nulle : infatti, se  
 e' le spire chiuse,  $F = i \left( \oint_{\gamma} ds \times B \right)$   
 $= i \left( \oint_{\gamma} ds \right) \times B = 0$   $\begin{matrix} (B \text{ costante e } x \\ i \text{ costante}) \end{matrix}$  Quindi il momento risultante  
(=0 perciò)

Se ritiene e' indipendente dal fuco ("fuo") rispetto al quale  
 eseguire il calcolo  $\oint$  si ritiene allora il fuo nell'origine O,  
 e neanche il vettore distanza da O è unico elemento infinitivo.

Per delle spire : quindi il momento delle spire eguali ne sono  
 $\vec{\omega}_1 = \vec{r} \times \vec{F} = i \vec{r} \times (\oint_{\gamma} ds \times B) = i (\vec{r} \cdot B) \oint_{\gamma} ds -$   
 $- i (\vec{r} \cdot \oint_{\gamma} ds) B$ , e il momento risultante e' fuo così

$$M = i \oint_{\gamma} (\vec{r} \cdot B) \oint_{\gamma} ds - i B \oint_{\gamma} \vec{r} \cdot \oint_{\gamma} ds \quad ||, = i \oint_{\gamma} (\vec{r} \cdot B) \oint_{\gamma} ds$$

Perche' l'ultimo integrale e' nullo (infatti  $\oint_{\gamma} ds = \vec{0} \Rightarrow$   
 $\oint_{\gamma} \vec{r} \cdot ds = \oint_{\gamma} \vec{r} \cdot \vec{ds} = 0$  perche'  $\vec{r} \cdot \vec{ds} = \frac{1}{2} d(M^2)$  ! ) ;

componiamo ad esempio  $M_1 = i \oint_{\gamma} (\vec{r} \cdot B) \mathbf{I} \cdot \oint_{\gamma} ds \quad (\mathbf{I} = \begin{pmatrix} 0 & 0 \\ 0 & 0 \end{pmatrix}) =$

(Stokes)  $= i \int_S \text{rot}((\vec{r} \cdot B) \mathbf{I}) \cdot n \oint_{\gamma} ds \quad ;$  ma, in generale, per la regola

e F ordinale e'  $\text{rot}(\alpha F) = \alpha \text{rot}(F) + (\nabla \alpha) \times F$ ,

da cui per l'altra parte  $\text{rot}(\mathbf{I}) = 0$  e  $\nabla(\vec{r} \cdot B) = B$ , si ha

$$M_1 = i \int_S (B \times I) \cdot n dS \stackrel{(a \cdot (b \times c) = c \cdot (a \times b) = b \cdot (c \times a))}{=} i \int_S (n \times B) \cdot I dS =$$

$$= i S (n \times B) \cdot I ; \text{ chiamiamo } \text{ per simmetria, } \text{ è}$$

quindi:

$$\boxed{M = i S n \times B =: \mu \times B} , \text{ dove}$$

il vettore  $\mu := i S n$  si chiama "momento magnetico delle spine" ( $|\mu| = i S$ , il numero delle spine e che sono deboli delle spine siano rispetto al vettore "di  $i$ "). Scriviamo

$$M = \int_M B \sin(\alpha) \cdot n \quad \xrightarrow{\substack{\text{(come in} \\ \text{figura)}}} \text{ se le spine ruote otteniamo un campo}$$

lungo  $\partial L$  m'è uguale alle spine moltiplicate, queste altre

confermo questo  $\partial L = M \cdot n \partial L = \int_M B \sin(\alpha) \partial L =$

$$= -\partial (\int_M B \cos(\alpha)) ; \text{ cioè } \text{ la quantità} (\in \mathbb{R})$$

$$\boxed{U := -\int_M B \cos(\alpha) = -\mu \cdot B} \quad \text{noteremo l'energia}$$

potenziale delle spine (vere forze nel campo di induzione  $B$  costante).

Potremmo concludere dicendo che una spina  $\mu$  in un campo magnetico

"si comporta come" un dipolo elettrico  $p$  in un campo elettrico.

Dunque la forza  $\vec{F}$  un campo magnetico uniforme su cariche elettriche in movimento ; l'esperienza mostra che  $\vec{F}$  ha la stessa direzione del campo magnetico generato dal corrente, e ciò ricorda "il principio di sovrafflessione dei campi magnetici" : l'intensità magnetica risultante da più correnti è la somma delle intensità magnetiche che le singole correnti genererebbero separatamente.

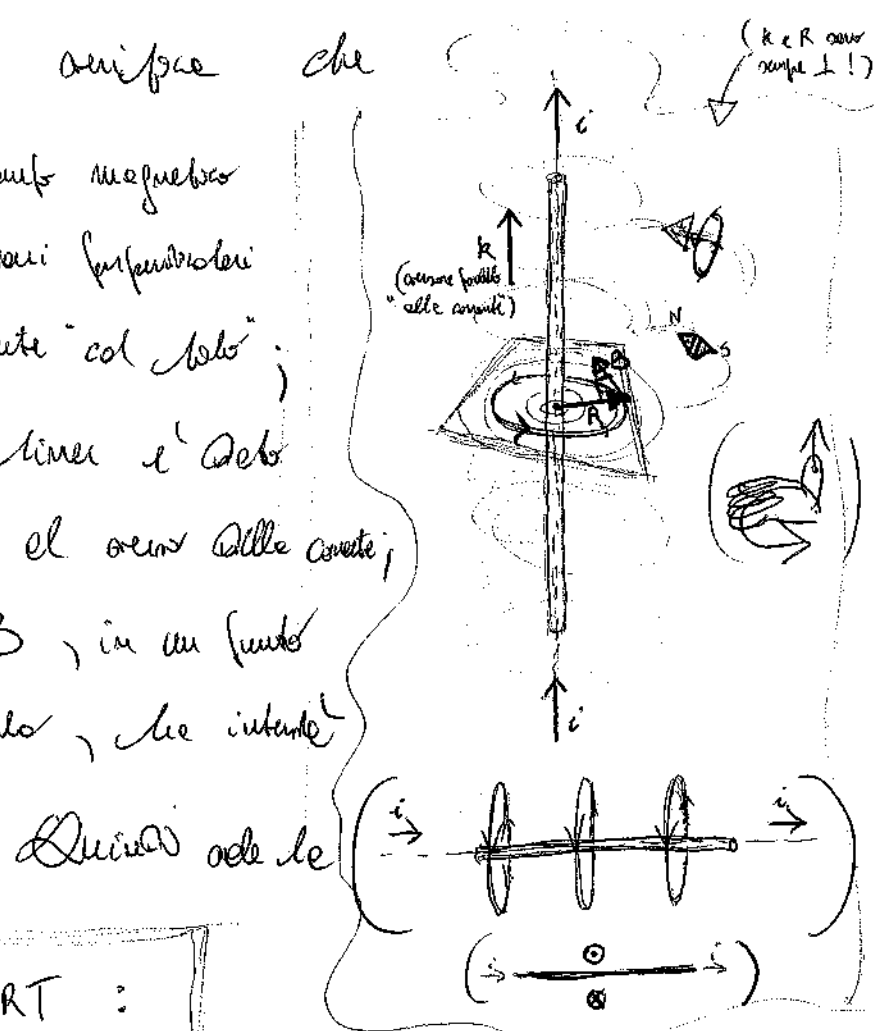
Consideriamo un tubo rettilineo posto nel vuoto (perché se una corrente circolare si intreccia si ha maggiore "impunto" (cioè  $\gg$  delle distanze del tubo del punto in cui minimo il campo magnetico) : si scrive che

$\bullet$  le linee di forza del campo magnetico sono circonference giacenti in piani perpendicolari al tubo con centro coincidente col tubo;

$\bullet$  il verso positivo di tali linee è detto delle regole delle corde o del verso delle correnti;

$\bullet$  l'intensità magnetica  $B$ , in un punto distante  $IR_1$  ( $> 0$ ) dal tubo, ha intorno

l'intensità  $\propto \frac{i}{IR_1}$



LEGGE DI BIOT E SAVART :

$$|B| = \frac{\mu_0}{2\pi} \frac{i}{IR_1}$$

con  $\frac{\mu_0}{2\pi} := 2 \cdot 10^{-7} \frac{\text{Wb}}{\text{Am}}$

$$\left( \frac{\text{Wb}}{\text{m}} = \frac{\text{N}}{\text{A}} \right) \rightarrow \left( = \frac{\text{N}}{\text{A}^2} \right)$$

$\mu_0$  è "LA PERMEABILITÀ MAGNETICA DEL VUOTO". Riconosci il  
fatto nell'arco formale solido

$$B = \frac{\mu_0}{2\pi} i \frac{R \times R}{|R|^2}$$

Si vuole quindi che permette di calcolare  $B$  per un'eliosfera  
distribuita si convie è conseguente della

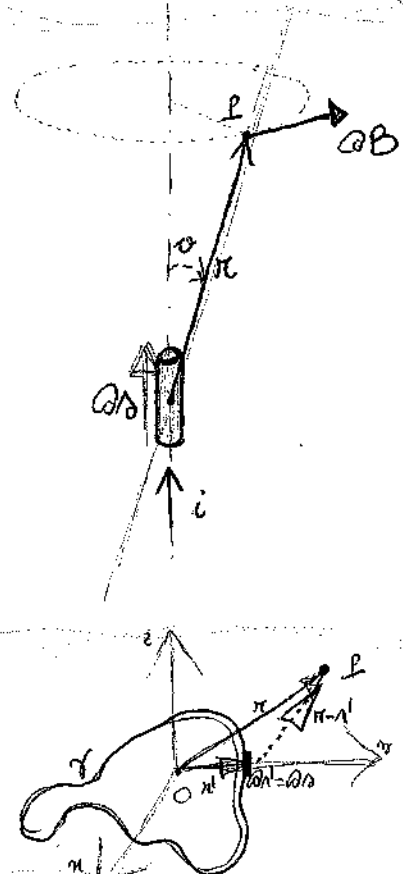
"Prima Legge Elementare di Lefèvre" : il contributo  $\partial B$   
portato all'induzione magnetica in un punto  $P$  dallo spazio da un  
fatto infinitesimale  $\partial S$  di area, fuoco di corrente  $i$ , se  
l'area  $\partial S$  e  $\partial S$  sono esse rette comprese il fatto  $\partial S$   
portato dal fatto  $P$ , sono simili delle regole delle rette e  
modulo (proporzionale a  $i \sin(\alpha) A(S)$ ) (misurata  $\frac{g}{4\pi}$ ), dove  $\alpha$  è l'angolo tra  
 $\partial S$  e la retta sovra citata, il momento proporzionale al questo  
della distanza  $|P|$  del fatto  $P$  dal fatto  $\partial S$ .

Bravamente :

$$\partial B = \frac{\mu_0}{4\pi} i \frac{\partial S \times M}{|P|^3}$$

Nel caso generale  $\partial S$  un eliosfera curva e  
fuoco di corrente d'estensione  $\ell$ , per il  
principio di sovrapposizione dei campi magnetici,

$$B(r) = \frac{\mu_0}{4\pi} i \int \frac{\partial S' \times (r-r')}{|r-r'|^3}$$



Nel caso caso più generale di conduttori con

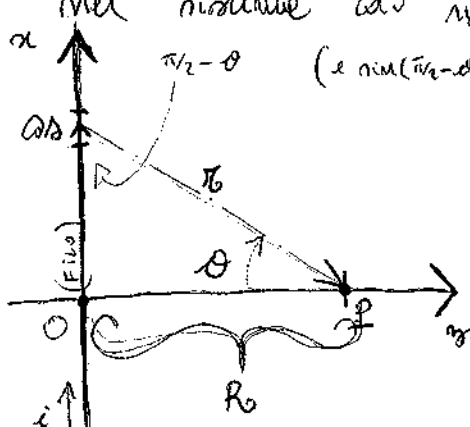
Azioni trasversali NON trascurabili, sono cioè un momento di rotazione che non raffigurabile nel vettore somma dei vettori i (componente del campo), se viene legge con L'effetto somma

$$B(r) = \frac{\mu_0}{4\pi} \int_{R^3} \frac{s(r') \times (r-r')}{|r-r'|^3} A^3 |r'| \quad (i \neq 0)$$

In effetti, se il conduttore considerato ha azioni trasversali da dimensioni piccole rispetto ai valori locali considerati, allora le forze parallele e radiali e quelle trasversali : infatti è sempre effettivamente costante (per il vettore), e non solo in questo, e dunque se si calcola la tensione normale del vettore  $A^3$  si trova che si ha una tensione superiore al vettore  $A^1$   $\Rightarrow \Delta V = S A^3 \Rightarrow B \Delta V = B(S A^3) \Rightarrow$   
 $\Rightarrow i A^3$  è così  $i A^3 = \Delta V = i A^1$  (perché è il vettore parallelo a  $A^3$ ) ; l'altra osservazione è che effettivamente nel vettore  $A^3$ , dunque l'integrale è nel vettore  $\int$ .

I Ottengono "Biot e Savart" per il vettore  $A^3$  : conoscendo il vettore rettificato infinito nel sistema di riferimento in figura

(rispetto a  $R$  il senso dell'orme  $z$ , che vede fuori nel vettore)



(l'orme  $z$  entra nel vettore  $A^3$ ! :  $\odot$ )

$$\text{in I ordine } B = \frac{\mu_0}{4\pi} i \int \frac{\partial s \times R}{|R|^3} = \frac{\mu_0 i}{4\pi} R \int_{-\infty}^{\infty} \frac{\cos(\omega)}{|R|^2} d\omega ;$$

$$\text{ma } s = R \tan(\theta) \Rightarrow ds = R \frac{1}{\cos^2(\theta)} d\theta (\equiv R \sec^2(\theta) d\theta),$$

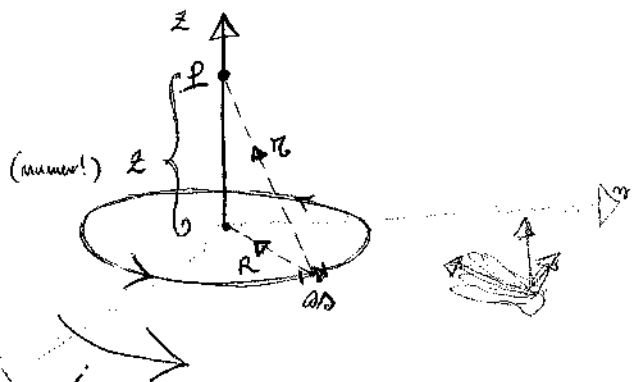
$$\text{mentre } \sec(\theta) = \frac{1}{\cos(\theta)} \quad , \quad \text{e' d'altra parte } R = |R| \cos(\theta)$$

$$(\text{cio'e' } |R| = R \sec(\theta)) \quad , \quad \text{per cui } ds = \frac{\cos(\theta)}{|R|^2} = R \frac{1}{\cos^2(\theta)} \frac{\cos(\theta)}{|R|^2} d\theta = \frac{1}{|R|^2} d\theta$$

$$= \frac{\cos(\theta)}{R} d\theta \quad , \quad \text{e' in conclusione in I ottiene}$$

$$B = \frac{\mu_0}{4\pi} i R \int_{-\pi/2}^{\pi/2} \frac{\cos(\theta)}{R} d\theta = \frac{\mu_0 i R}{2\pi} . \quad \checkmark$$

**II** Consideriamo la spira circolare (fisica). Si supponga  $|R| > 0$ , facciamo le sue coordinate d'intorno a  $i$ , come in figura



$$(e' che R = \begin{pmatrix} 0 \\ 0 \\ 1 \end{pmatrix}, \quad \vec{i} \uparrow) ;$$

$$\text{per l'elenco, in I } i' B = \frac{\mu_0}{4\pi} i \int \frac{\partial s \times R}{|R|^3} = -\frac{\mu_0 i}{4\pi} \frac{1}{|R|^3} \int \partial s \cdot R$$

$$= -\frac{\mu_0 i}{4\pi |R|^3} \left[ \int \partial s \times R + z \int \partial s \times R \right] = -\frac{\mu_0 i}{4\pi |R|^3} \int \partial s \times R$$

$\underbrace{\left( \int \partial s \times R \right) \times R}_{(0!)}$

$$\text{ma } \partial s \times R = |R| \partial s \cdot R \quad , \quad \text{e' inoltre } |R| = (IR^2 + z^2)^{1/2} \quad , \quad \text{quindi}$$

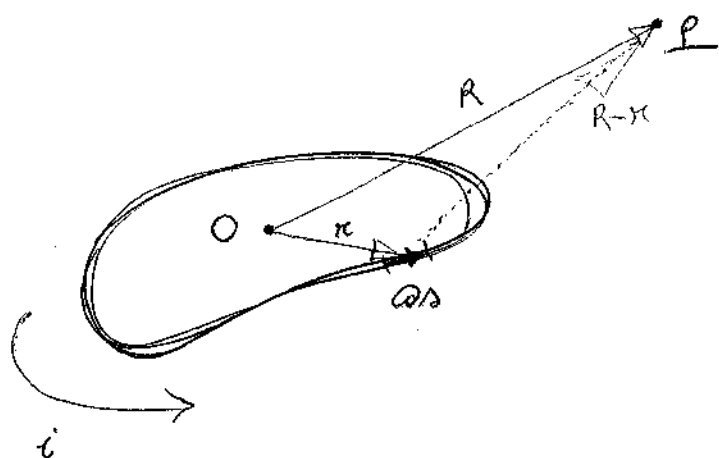
$$\text{in I } i' B = \frac{\mu_0}{4\pi} \frac{i}{|R|^3} |R| R \cdot \underbrace{\int \partial s}_{{\text{con } R}} = \frac{\mu_0 i}{2} \frac{|R|^2}{|R|^3} R =$$

$$= \frac{\mu_0 i}{2} \frac{|RI|^2}{(|RI|^2 + z^2)^{3/2}} R \quad ; \quad \text{quindi, finalmente, nel caso}$$

$$z \gg R \quad (\text{cioè "spire fiole"}) \quad \text{abbiamo} \quad B \approx \frac{\mu_0 i}{2} \frac{|RI|^2}{z^3} R =$$

$$= \boxed{\frac{\mu_0}{2\pi} \frac{\mu}{z^3}} \quad ; \quad \text{dove ovviamente } \mu := i S R = i(\pi |RI|)R \text{ è il momento magnetico delle spire}$$

**III** Consideriamo una spira fiole arbitraria, ponendo le sue  
concrete dimensioni  $i$ ,  $i$  cui appartengono come in figura



j suffidamente  $|RI| \gg$  Distanza delle dimensioni delle spire, cioè  $|RI| \gg |ri|$  per ogni  $r$  distanza da O

il generico elemento  $ds$  delle spire stesse (cioè tale cosa con  $\frac{|RI|}{|RI|}$ )

$$\ll 1) \quad j \text{ fu l'elenco, in } L \text{ di } B = \frac{\mu_0}{4\pi} i \int \frac{ds \times (R-r)}{(R-r)^3} \quad ;$$

$$\text{essendo } |R-r|^3 = \underbrace{(|RI|^2 + |ri|^2 - 2R \cdot r)}_{= |RI|^2 (1 - \frac{2R \cdot r}{|RI|^2} + \frac{|ri|^2}{|RI|^2})}^{-3/2} = \left(1 - \frac{2R \cdot r - |ri|^2}{|RI|^2}\right)^{-3/2} |RI|^3$$

ed essendo ( $\forall x \in R$ ) che  $(1+x)^\alpha = \overset{\text{(mca)}}{1 + \alpha x + \frac{\alpha(\alpha-1)}{2} x^2 + \mathcal{O}(x^2)}$

$$\Rightarrow (1-x)^{-3/2} = 1 + \frac{3x}{2} + \frac{15x^2}{8} + \mathcal{O}(x^2)$$

$$\left(1 - \frac{2R \cdot r - |ri|^2}{|RI|^2}\right)^{-3/2} = 1 + \frac{3}{2} \left( \frac{2R \cdot r - |ri|^2}{|RI|^2} \right) + \mathcal{O}\left(\left(\frac{|ri|^2}{|RI|^2}\right)\right) =$$

$= 1 + \frac{3R \cdot n}{|RI|^2} + \mathcal{O}\left(\left(\frac{|RI|}{|RI|}\right)^2\right)$  quindi è nulla di un  
moto dell'ordine di  $\left(\frac{|RI|}{|RI|}\right)^2$  abbiamo che in P si

$$B = \frac{\mu_0 i}{4\pi |RI|^3} \int \underbrace{\cos(R-n)}_{(=\cos R - \cos n)} \left(1 - \frac{3R \cdot n - |RI|^2}{|RI|^2}\right)^{-\frac{3n}{2}} \quad (=)$$

$$\approx \left(1 + \frac{3R \cdot n}{|RI|^2}\right)$$

$$= \frac{\mu_0 i}{4\pi |RI|^3} \left( \underbrace{\int \cos R}_{(\int \cos R) \times R = 0} + \int \cos R \frac{3R \cdot n}{|RI|^2} - \int \cos n - \int \cos n \frac{3R \cdot n}{|RI|^2} \right) \quad \cancel{(\text{integrale nullo})}$$

possibile uscire ogni  
integrale nullo!

$$\approx \frac{\mu_0 i}{4\pi |RI|^3} \int \cos R \left( R \frac{3R \cdot n}{|RI|^2} - n \right) \quad ; \quad \text{se } I = \begin{pmatrix} 0 \\ 0 \end{pmatrix}, \text{ allora}$$

(limit.)

in particolare  $B_z = \frac{\mu_0 i}{4\pi |RI|^3} \int I \cdot (\cos R \left( R \frac{3R \cdot n}{|RI|^2} - n \right))$  ("circuito")

$$= \frac{\mu_0 i}{4\pi |RI|^3} \int \cos R \cdot \left( \frac{3R \cdot n}{|RI|^2} RI - n \times I \right) \quad (\text{STOKES})$$

(circo nullo! ma  $\text{rot}(uF) = u\text{rot}F + \nabla u \times F$ )

$\Rightarrow \text{rot}(RI) = \begin{vmatrix} i & j & k \\ R_1 & R_2 & R_3 \\ 0 & 0 & 0 \end{vmatrix} = \begin{bmatrix} 0 \\ R_3 \\ -R_2 \end{bmatrix}$

$\text{rot}(n \times I) = \begin{vmatrix} i & j & k \\ n_1 & n_2 & n_3 \\ 0 & 0 & 0 \end{vmatrix} = \begin{bmatrix} -n_2 \\ n_1 \\ 0 \end{bmatrix} = -I$

$$= \frac{\mu_0 i}{4\pi |RI|^3} \int_S \cos R \cdot \left( \frac{3}{|RI|^2} \nabla(R \cdot n) \times (RI) - \text{rot}(n \times I) \right) \quad (= -2I!!)$$

(alla fine)

$$= \frac{\mu_0 i}{4\pi |RI|^3} \int_S \cos R \cdot \left( \frac{3R \times (RI)}{|RI|^2} + 2I \right) \quad ; \quad \text{ma, al netto,}$$

$$RI \times (RI) = (R \cdot I)R - |RI|^2 I \Rightarrow R \cdot \left( \frac{3R \times (RI)}{|RI|^2} + 2I \right) =$$

$$= 3 \frac{(m \cdot R)(R \cdot I)}{|RI|^2} - |RI|^2(m \cdot I) + 2m \cdot I = \frac{(3(m \cdot R)R - m) \cdot I}{|RI|^2}$$

che inoltre è costante rispetto alle variazioni d'integrazione, per

cui  $B_1 \approx \frac{\mu_0}{4\pi} \frac{is}{|R|^3} \left[ \frac{3(m \cdot R)R}{|R|^2} - m \right] \cdot I$ , e per  
 $(\mu = ism)$

simmetria

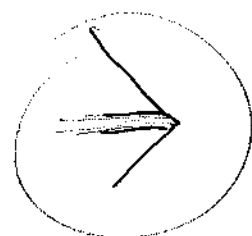
$$B = \frac{\mu_0}{4\pi} \frac{is}{|R|^3} \left[ \frac{3(m \cdot R)R}{|R|^2} - m \right], =$$

$$= \frac{\mu_0}{4\pi} \left[ \frac{3(\mu \cdot R)R}{|R|^5} - \frac{\mu}{|R|^3} \right], \text{ che chiamiamo "campo}$$

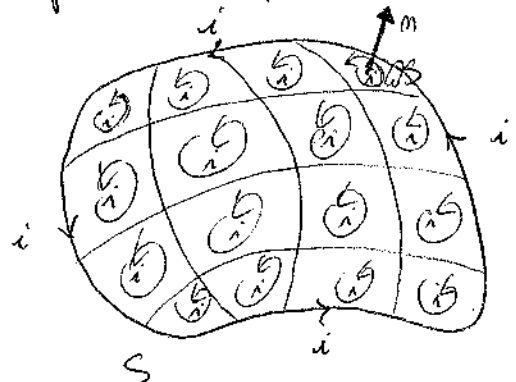
magnetico in dimensione di "dipolo" } ( $M \ll |R|!$ ) per le

dimensioni Belle nozze rispetto a quelle del campo elettrico generato da un dipolo (elettrico)  $P$  a grande distanza  $|R|$  da esso

$$(E = \frac{P}{4\pi \epsilon_0} \left[ \frac{3(p \cdot R)R}{|R|^5} - \frac{p}{|R|^3} \right]) . \checkmark$$



Seffatto risulta il caso di una spira qualsiasi (non necessariamente piana) : considerate infatti una superficie  $S$  con bordo tale spira, divise la  $S$  in "tanti" elementi impietriti da superficie piana  $\partial S$  (di numero  $m$ ) ; è chiaro che fornendo intorno i contorni di tali elementi  $\partial S$  come obiettivi di controlli delle distanze si trova a quale delle spire iniziali, quindi coni spire piane :



; osservere che un qualsiasi punto  $P$  della spira può trovarsi in ogni cerchio "molto" distante da un elemento  $\partial S$  (nel senso spaziale piane !), e

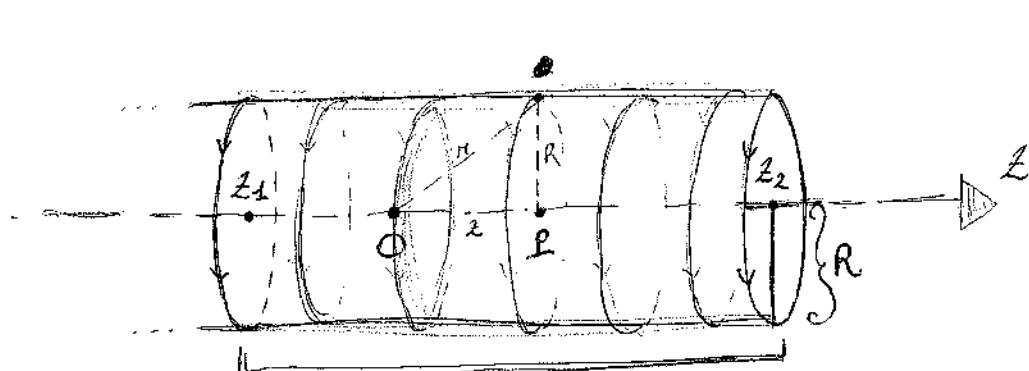
$$\begin{aligned}
 \text{im } \mathcal{L} \quad B &= \int_S \partial S \stackrel{\text{def}}{=} \frac{\mu_0}{4\pi} \int_S \left[ \frac{3(\partial \mu \cdot n) n}{(n \cdot l)^5} - \frac{\partial \mu}{l n^3} \right] = \\
 &= \frac{\mu_0}{4\pi} i \int_S \left[ \frac{3(m \cdot n)n}{(n \cdot l)^5} - \frac{m}{l n^3} \right]. \quad \checkmark
 \end{aligned}$$

(Motivazione che riotteniamo (II)) :  $B \approx \frac{\mu_0}{4\pi} \left[ \frac{3(\mu \cdot n)n}{(n \cdot l)^5} - \frac{\mu}{l n^3} \right] \approx$

$$\approx \frac{\mu_0}{4\pi} \left[ \frac{3(iS)zR}{z^5} - \frac{\mu}{z^3} \right] = \frac{\mu_0}{2\pi} \frac{\mu}{z^3} \quad . \quad f)$$

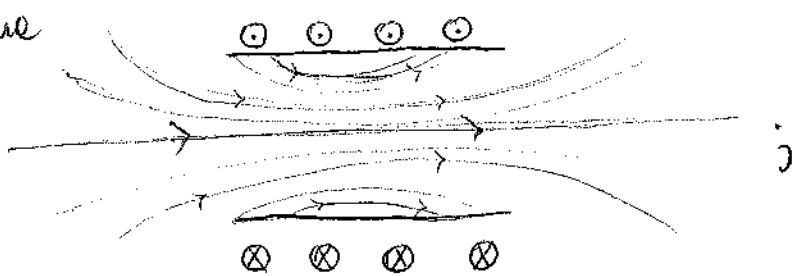
#### IV "Solenoido cilindrico", cioè filo avvolto uniformemente

Si usa un tubo cilindrico (non necessariamente circolare) in cui scorre una corrente  $i$  dell'intorno a  $j$  le spine del solenoide sono fermate vicine tra loro che si forse considera elettrone di uno come spire, cioè immaginiamo l'elettrone come in realtà un insieme di spine ferite, indipendentemente da esse altre che vicinissime e tutte ferite se esse corrente dell'intorno  $i$ .



Se  $N$  è la lunghezza del solenoide e  $N$  è il numero totale

delle spine, allora  $m = \frac{N}{l}$  è il numero di spine per unità di lunghezza  $l$  sufficiente inoltre che l'area del solenoidale è  $\pi R^2$  e tutte le spine, ciascuna di raggio  $R$ . Si può scrivere che la linea di flusso del campo magnetico generato dal solenoidale ha andamento come quello in figura



Calcoliamo ora l'induzione magnetica  $B$  nei punti dell'area del solenoidale cilindrico: un tratto di solenoidale di lunghezza  $l$  contiene  $nlz$  spine che insieme equivalgono ad una sola  $m$  corrente di  $imlz$  (intensità  $im$ ) nel qualeunque

$$\text{contribuisce all'induzione magnetica con } \partial B = \frac{\mu_0 imz}{2} \frac{R^2}{(R^2 + z^2)^{3/2}}$$

$$\text{allora } |B| = \frac{1}{2} \mu_0 im R^2 \int_{z_1}^{z_2} \frac{\partial z}{(R^2 + z^2)^{3/2}} ; \text{ ma } \int \frac{R^2}{(R^2 + z^2)^{3/2}} dz =$$

$$= \frac{z}{(R^2 + z^2)^{1/2}}, \text{ quindi } |B| = \frac{1}{2} \mu_0 im \left[ \frac{z_2}{(R^2 + z_2^2)^{1/2}} - \frac{z_1}{(R^2 + z_1^2)^{1/2}} \right]$$

(notiamo che  $0 < z_1 < z_2$  si requiri offerto!) nel caso interessante è che, se  $l \gg R$ , il campo magnetico è pressamente una forma all'interno e pressamente nulla all'esterno, a eccezione di una piccola regione in vicinanza dei suoi estremi; in tal caso inoltre, avendo  $|z_1| \approx |z_2| \gg R$ , con buone approssimazioni è

$$B = \mu_0 M i = \mu_0 \frac{N}{l} i$$

mici (fatti dell'area del solenoide), e  
(interno)

anzi all'interno in genere fanno che siano gli strumenti . ✓

Detti i pochi sperimenti noti sono in accordo con l'affermazione che  
le linee di forza del campo magnetico  $B$  sono di linee chiuse di  
lunghezza finita o linee a spirale di lunghezza infinita, cioè  
il campo magnetico non fornisce sorgenti né fonti (cioè sorgenti  
né fonte né riflessore) ; ma allora, per ogni superficie  
chiusa  $S$ , tutte le linee di forza che entro sono quante ce ne sono  
(altrimenti in  $S$  ci sarebbe una sorgente !) , cioè

$$\oint_S B \cdot d\mathbf{S} = 0 \quad ; \text{ ma allora per forza,}$$

$$\text{se } V \text{ è il volume in } S, \quad \int_V \nabla \times B \cdot dV = \oint_S B \cdot d\mathbf{S} = 0 \quad ,$$

e per l'arbitrarietà di  $V$  è quindi

$$\nabla \times B = \nabla \cdot B = 0$$

(qui equivalente e quanto detto) , cioè  $B$  è un "campo  
rotorevole", e sicuramente come tale non può ammettere l'esistenza  
di correnti magnetiche ("feti") analoghe alle correnti elettriche.

Così come un campo magnetostatico è conservativo , cioè gli integrali  
di linea da un punto A a un punto B Non dipendono

Sulle linee nello per il "biurto" di A e B, un campo solenoideale ha le proprietà del campo concatenato, cioè per qui linee che chiuse il campo del campo "attraverso" le linee.

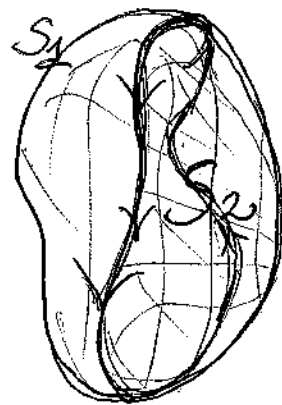
Nel caso di fondo delle superficie, ovette e per contorno, nello per il campo da tale campo : nel caso di B,

$$\oint_{S_1} (B) = \oint_{S_2} (B) \quad (\text{per qui superficie } S_1, S_2 \text{ con bordo } \gamma)$$

Inoltre il campo di B attraverso la superficie chiusa

formata da  $S_1 + S_2$  è nullo.

Portiamo quindi da campo (magnetico) concatenato alle linee chiuse.



NOTA :  $\nabla \times B = \text{rot } A$ , allora in effetti  $\nabla \times B =$   
 $= \text{div rot } A = 0$  e il "fatto" è che solo il campo concatenato, cioè  $\nabla \times B = 0 \Rightarrow \exists$  campo vettore A tale che  $B = \text{rot } A$

Detto "POTENZIALE VETTORE", che nello determinato e unico del precedente si ha un'entità campo scalare  $\psi$  (anche se  $\nabla \times \psi = 0$ )

$$B = \text{rot } A \Rightarrow \text{rot}(A + \nabla \psi) = \text{rot } A = B !$$

Riconoscendo che il campo magnetico B generato nel punto da una qualsiasi distorsione di campo ha esponente

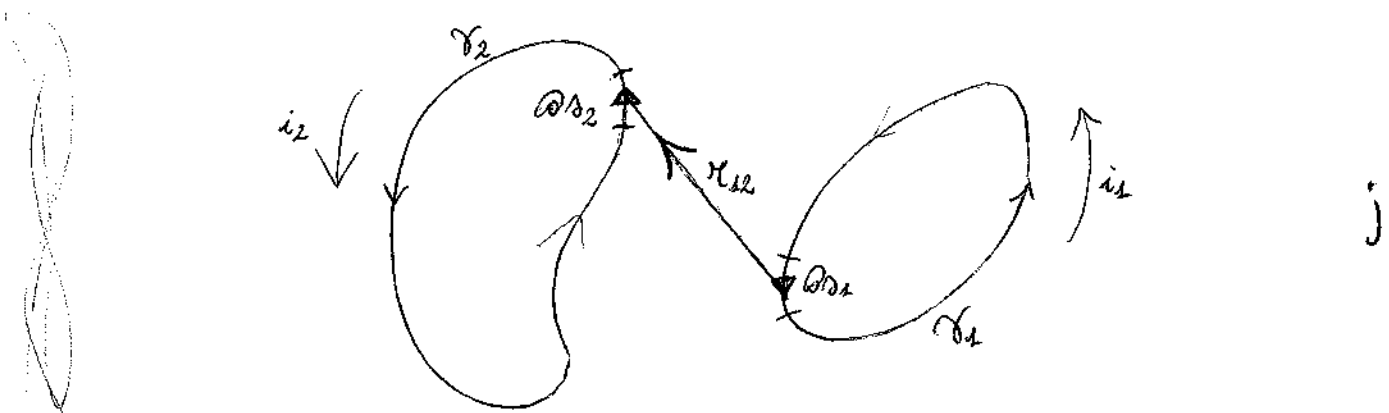
$$B(r) = \frac{\mu_0}{4\pi} \int_{\{i \neq 0\}} \frac{i(r') \times (r - r')}{|r - r'|^3} \cdot \partial^3(r') \quad (\text{Leffel!}),$$

è' (remarca') evidente che un potenziale esterno  $\Phi$  a B sia

$$A(r) := \frac{\mu_0}{4\pi} \int_{\{i \neq 0\}} \frac{i(r')}{|r - r'|} \cdot \partial^3(r') \quad (\text{infatti, da esempio,})$$

$$\text{rot} \left( \frac{i(r')}{|r - r'|} \right) \cdot I = \partial_{n_2} \frac{i_3(r')}{|r - r'|} - \partial_{n_3} \frac{i_2(r')}{|r - r'|} \stackrel{?}{=} \\ \stackrel{?}{=} - \frac{(r_2 - r'_2)}{|r - r'|^3} i_3(r') + \frac{(r_3 - r'_3)}{|r - r'|^3} i_2(r') = \left( \frac{i(r') \times (r - r')}{|r - r'|^3} \right) \cdot I$$

Si fa' osservare sperimentalmente che due circuiti puono de concentrare le loro belle forze proporzionali alle intenrità di corrente. Consideriamo per questo due circuiti come in figura:



In ciascun elemento  $\partial S_2$  di  $V_2$ , l'intensità magnetica  $B_1$  generata dalla corrente del circuito  $V_1$  dà, per Leffel (1<sup>a</sup> tipo),  $B_1 = \frac{\mu_0}{4\pi} i_1 \oint_{S_2} \frac{\partial S_2 \times (B_1 \times n_2)}{|r_{12}|^3}$ ,

quindi (sempre per Leffel, ma considerando la legge di Ampere) su  $\partial S_2$

$$\text{esiste una forza } \partial F_2 = i_2 \partial S_2 \times B_1 = \frac{\mu_0}{4\pi} i_1 i_2 \oint_{S_2} \frac{\partial S_2 \times (\partial S_2 \times n_2)}{|r_{12}|^3}$$

Quaque la forza risultante sul circuito  $\gamma_2$  è evidentemente

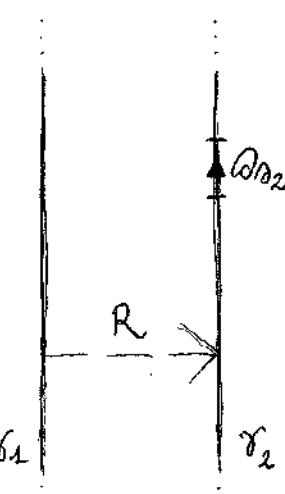
$$F_2 = \frac{\mu_0}{4\pi} i_2 i_2 \oint_{\gamma_2} \oint_{\gamma_1} \frac{\partial B_2 \times (\partial B_1 \times r_{12})}{|r_{12}|^3}$$

*j* per il principio

Questa azione si riceve, sarebbe naturalmente  $F_1 = -F_2$ .

Ora, nel caso suffice ad che fili rettilinei e paralleli, invece che sottili gli integrali trovati restano come segue:

se  $R$  il distante del filo  $\gamma_1$  al  
secondo filo  $\gamma_2$ , e consideriamo  $\gamma_1$  come formalmente  
infinito; per Biot e Savart, l'intensità  
magnetica  $B_1$  dovuta alle corrente  $i_1$  è costante  
su  $\gamma_2$  avendo  $B_1 = \frac{\mu_0 i_1 R_1 \times R}{2\pi |R|^2}$



$R_1$  è un vettore con direzione e verso coincidenti con quelli di  $i_1$

Su le 2° legge di Lefèvre, su  $\gamma_2$  quindi we ha  $F_2 =$

$$= i_2 \oint_{\gamma_2} \partial B_2 \times B_1 = \frac{\mu_0}{2\pi} i_2 i_2 \int_{\gamma_2} \frac{\partial B_2 \times (R_1 \times R)}{|R|^2} \quad \text{(in costume) } =$$

$$= \frac{\mu_0}{2\pi} i_2 i_2 \left( \int_{\gamma_2} \partial B_2 \right) \times \frac{R_1 \times R}{|R|^2} ; \text{ se il tratto considerato è più}$$

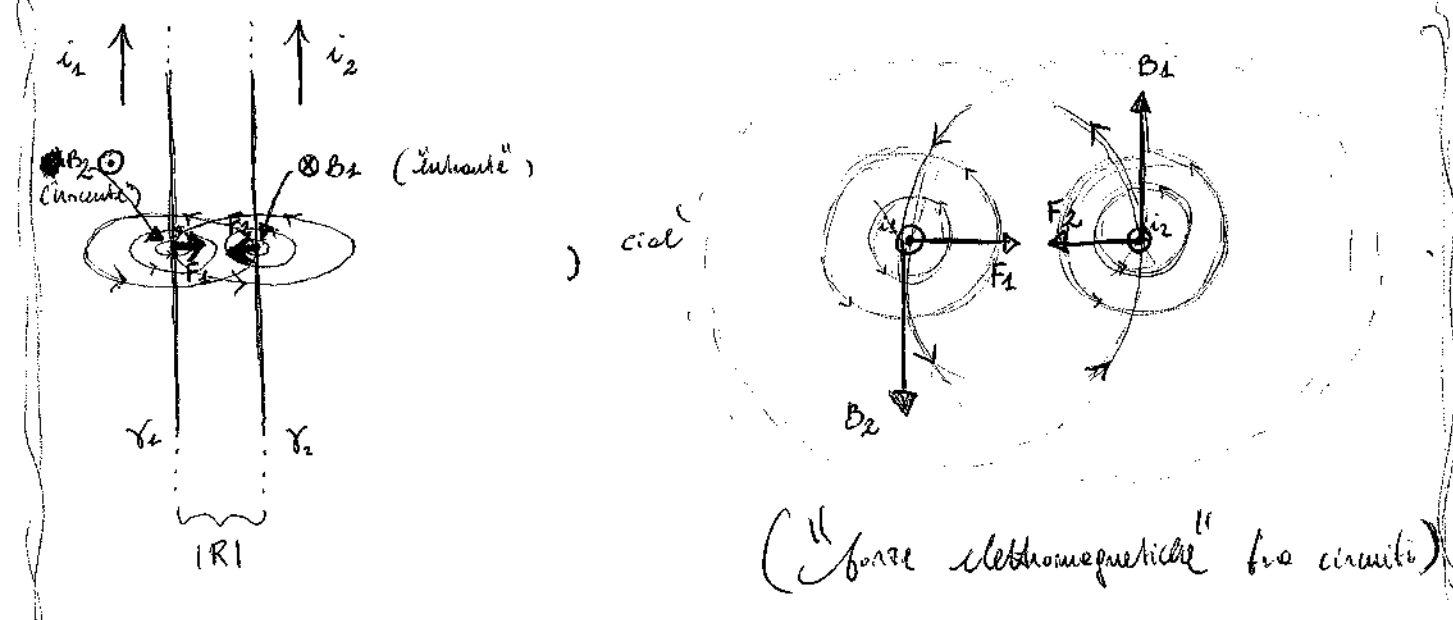
$\gamma_2$  ha lunghezza  $\lambda_2$  (e se  $R_2$  è un vettore con direzione e verso  
coincidenti con quello di  $i_2$ ), allora ovviamente  $F_2 =$

$$= \frac{\mu_0}{2\pi} i_2 i_2 \lambda_2 \frac{R_1 \times (R_2 \times R)}{|R|^2} = \frac{\mu_0}{2\pi} i_2 i_2 \lambda_2 \frac{R}{|R|^2} (k_1 \cdot k_2) ;$$

$(R_2 \cdot R) R_2 - (R_2 \cdot R) R$   
 $(=0)$

quando  $F_2$  è orientato verso  $\hat{z}$   $\Leftrightarrow R_1 \cdot R_2 = +1 \Leftrightarrow$  le norme  
 hanno lo stesso verso : cioè le forze d'attrazione fra i  
 due fili sono di attrazione  $\Leftrightarrow$  si conosce che i fili  
 hanno lo stesso verso (referire ai casi connessi),  
 e comunque tale forza ha modulo  $|F| = \frac{\mu_0}{2\pi} i_1 i_2 \frac{l_2}{|R_1|}$ .

Se  $i_1 = i_2 =: i$ , allora il modulo delle forze eguali per  
 unità di lunghezza è  $\frac{|F|}{l} = \frac{\mu_0}{2\pi} \frac{i^2}{|R_1|}$ , se entrambi  
 i fili sono praticamente infiniti, e effetta tale forza il  
 cinturone di 1 nbo e si conosce che i fili hanno lo stesso verso.



Possiamo in tale circostanza definire l'unità come quella  
 fondamentale dell'induzione di corrente (quelle che formano gli uni  
 rettilinei paralleli e indefiniti, distanti 1m, quando le forze eguali sull'unità  
 di lunghezza di correnza 1A ha intensità  $2 \cdot 10^{-7} \text{ N/m}^2$ ), nominata

quindi l'unità di corso magnetico come unità dimostra (se il  
quale di corso che in s si fesse ottenere una qualche reazione di un filo  
fusore di una corrente costante d'intensità  $i_A$ ).

Consideriamo un filo metallico fusore di una corrente d'intensità  $i$  e  
posto in un campo magnetico d'intensità magnebra  $B$ : per la  
 $2^{\text{a}}$  legge di Lefèvre, la forza esercita su un elemento  $\Delta s$  di  
lunghezza  $\Delta s = i \Delta s \times B$  ; se  $m$  è il numero di  
elettroni di conduzione ( $q = -e$ ) per unità di volume,  $\sigma$  è la resistenza del suo  
filo di lunghezza  $S$  (non tiene conto delle resistenze del filo di estensione!).

Se l'azione delle tensioni sul filo, oltre il peso  $mg$ , è  
di corrente  $i$   $i = -m \sigma \dot{s}$  e quindi  $i = \dot{s} \cdot m \vec{s} =$   
 $= -m \sigma \dot{s} \cdot \vec{s}$  (in direzione normale a  $S$ ) ;

$$\vec{s} = \vec{m} \vec{\sigma} \vec{l}_{\text{filo}} \Rightarrow i \vec{s} = -m \sigma \dot{s} \vec{\sigma} \vec{l}_{\text{filo}} = -m S \sigma \dot{s} \vec{\sigma},$$

$$\Rightarrow \vec{F} = i \vec{s} \times B = m S \sigma \dot{s} (-\vec{\sigma} \times B) ; \text{ se chiamiamo}$$

$m S \sigma \dot{s}$  = numero elettroni di conduzione nel tratto di filo lungo  $\Delta l$  considerato,

Allora siamo portati a fissare che un singolo elettrone in moto  
con velocità  $\vec{v}$  in un campo magnetico  $B$  esercita una forza data da

$$f = -e \vec{v} \times B$$

( $\nabla$ : naturalmente ore  $v$  comprende le  
velocità del moto di estensione!);

abbine, si è in genere risulta dimostrato sperimentalmente che le forze esercite su una particella di carica  $q$  in moto con velocità  $\omega$  in un campo magnetico  $B$  è 
$$F = q\omega \times B \quad (\text{L} \omega)$$

→ in un campo magnetico indipendentemente dal tempo, le forze esercitate su una particella carica in movimento sono carpi meno nelle particelle stesse, il quanto non ne modifica il numero delle reazioni (mentre per esterne la dimensione, e ciò è vero che  $\omega \parallel B$ !).

Ora, se si permette fare un campo elettrico  $E$ , allora  $q$  riceverà pure le forze elettriche  $qE$  e in conclusione le forze esercite su una carica  $q$  in moto con velocità  $\omega$  in un campo elettromagnetico → con  $E$  elettrico e  $B$  magnetico, è data da

$$F = q(E + \omega \times B) \quad (\text{"FORZA DI LORENZ"})$$

(Motivo che  $q\omega$  ha in ogni caso il verso delle conute!)

( $\omega \perp E$ )

Quindi  $\partial F = i\omega \times B$  e  $F = q\omega \times B$ , e ci aspettiamo analogamente che una particella  $q$  con velocità  $\omega$  indusca

$$(DB = \frac{\mu_0}{4\pi} i \frac{\omega \times r}{r^3} \text{ mT}) \quad B = \frac{\mu_0}{4\pi} \frac{q\omega \times r}{r^3} \quad : \mu_0$$

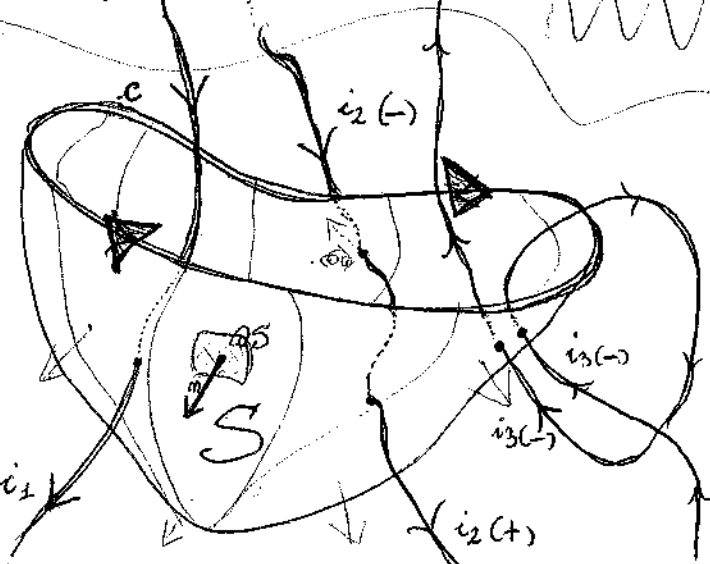
infatti ottiene già visto che  $i\omega r = m\omega r i q\omega$ !

Sono  $C$  une curve chiuse e  $S$  una superficie (orientabile) con le  
 $\partial S = C$  tali che il verso positivo di  $C$  è i versi normali  
 alla superficie verso l'interno delle solite regole delle curve;  
 diciamo allora che una curva  $\partial$  dell'insieme  $i$  è "una curva  
 coniunita" se  $C$  rispetta le stesse regole delle curve  
 e in questo caso consideriamo i due segni  $+$  e  $-$  secondo che  
 la curva attraverso  $S$  in senso  $\partial$  coniunita o discorda all'orientazione  
 di  $S$  (rispettivamente); nel caso una curva i "buchi" di  
 una certa, sarebbe come avere tante curve separate che non  
 che i buchi attraversano  $S$ , fatti  $\partial$  dell'insieme  $i$  (che attraversano  $S$  nel senso  
 che molte). Allora siamo forse più precise:  $\partial$  curva totale composta  
 dalle curve chiuse  $C$ .

**ES.**

: in questo caso,  
 l'insieme  $\partial$  di curve  
 totali coniunite alle curve chiuse  $c$  è  
 $i_1 + (-i_2 + i_2) + (-i_3 - i_3) =$   
 $= i_2 - 2i_3$ .

[NOTA: fornito il verso positivo di  $C$ , "per coniunita" le curve coniunite e  $c$  sono inversamente per le stesse; Sì!  
 (inteso come intendo con regole)



TEOREMA DI AMPERE : Se circonferenza attorno a  
 un'arbitraria linea chiusa  $C$  (potete di un verso positivo)

dell'intensità magnetica  $B$  generata da correnti costanti è uguale  
 a  $\mu_0$  volte l'intensità di corrente totale coniunita a  $C$ .

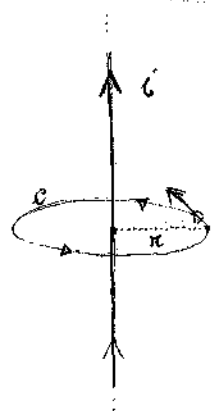
Dai Aziende  $\oint_{\Gamma} \mathbf{B} \cdot d\mathbf{s} = \mu_0 \sum_n i_n$ , dove effetti  $\sum_n i_n$  d'interazione di corrente totale concatenata e c'è il campo solido che  $\mathbf{B}$  NON ne conosce (cioè che non ammette un "potenziale magnetico").

**I** Riteniamo Biot-Savart grazie ad Ampère:

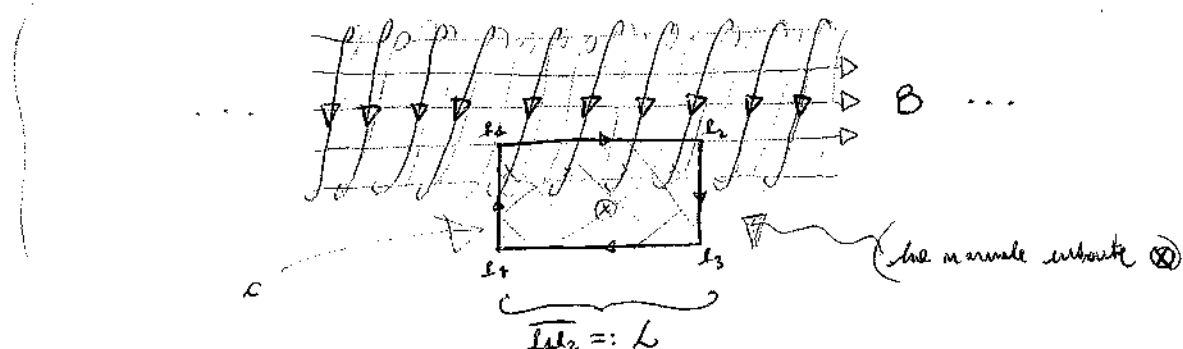
a distanza  $r (>0)$  da un filo rettilineo "infinito" scorso da corrente  $i$  l'intensità  $i$  (costante!) siamo in realtà in una linea da dove del campo magnetico  $\mathbf{B}$  generato da  $i$  ~~che~~ una circonferenza  $c$  da nullo effetto  $\mathbf{B}$ , dove per ipotesi  $\mathbf{B}$  è in modulo costante (ed il <sup>(tangente a c per def.)</sup> "parallelo") , fu cui

$$\oint_c \mathbf{B} \cdot d\mathbf{s} \stackrel{(cost.)}{=} \oint_c |B| ds \stackrel{(cost.)}{=} |B| \cdot 2\pi r \stackrel{(Ampère)}{=} \mu_0 i$$

cioè  $|B| = \frac{\mu_0}{2\pi} \frac{i}{r}$



**II** Consideriamo un solido cilindro scorso da corrente  $i$ . Si supponga retticamente infinito, concavo all'esterno di uno il campo magnetico  $i$  0 mentre al suo interno, qualunque sia la forma delle sue sezioni, le linee di campo sono parallele alle generatrici del "cilindro" j considerato quindi il disegno



è facile che  $\oint B \cdot d\sigma = |B| \cdot L$  ; se poi  $N$  è il numero  
 di spire del solenide in un tubo di lunghezza  $L$ , e se  $m$  è  
 il numero di spire dell'anello per unità di lunghezza (quindi  $N =$   
 $= m \cdot L$ ) , è facile accorgersi che l'intensità  $B$  avrà valore  
 costante e cioè  $N \cdot i$  , pertanto grazie ad  $\oint B \cdot d\sigma$   
 $|B|L = \mu_0 N i$   $\Leftrightarrow |B| = \mu_0 m i$  , in ogni punto  
 interno per un solenide di sezione NON necessariamente circolare !

In Baukur, overview the elements  $\sum_n i_n = \Phi_S(i) = \int_S i \cdot n dS$ ,  
 mutual (per 160kN)  $\oint_C B \cdot n dS = \int_S \text{rot}(B) \cdot m dS$ , quindi  
 (equiv.)  $\int_S \text{rot}(B) \cdot m dS = \mu_0 \int_S i \cdot n dS$ , cioè  
 $\int_S (\text{rot}(B) - \mu_0 i) \cdot m dS = 0$ , cioè (entfernen  $i$  in  $S$ )

$\text{rot } \mathbf{B} = \mu_0 \mathbf{j}$  ) e questo in condizioni esterne  
 in modo che  $\int_S \mathbf{j} \cdot d\mathbf{s}$  ( $= - \int_V \frac{\partial \mathbf{B}}{\partial t} \cdot d\mathbf{v}$ ) Non  
 difende se  $\mathbf{j}$  in effetto in genere è fittizio

$$\text{rot } \mathbf{B} = \mu_0 (\mathbf{j} + \epsilon_0 \frac{\partial \mathbf{E}}{\partial t})$$

$$\text{Ora siamo e profondo che, se } S \text{ e' chiuso, allora} \int_S i \cdot n dS =$$

$$= - \int_V \frac{\partial P}{\partial t} \partial V \stackrel{(\partial_i \sigma E = \frac{P}{\epsilon_0})}{=} - \epsilon_0 \int_V \frac{\partial}{\partial t} (\partial_i \sigma E) \partial V, = - \epsilon_0 \frac{\partial}{\partial t} \int_V \partial_i \sigma E dV$$

$$\stackrel{(\text{Teo. Diver.})}{=} - \epsilon_0 \frac{\partial}{\partial t} \int_S E \cdot n dS = \int_S (-\epsilon_0 \frac{\partial}{\partial t} E) \cdot n dS \quad \text{Se qui}$$

$$\text{affatto } \int_S (i + \epsilon_0 \frac{\partial}{\partial t} E) \cdot n dS = 0 \rightarrow \text{cioe' } \oint_S (i + \epsilon_0 \frac{\partial}{\partial t} E)$$

nel caso dove avevamo aperto  $S$ , con contorno  $C$ , NON

dovrebbe esserci  $S$   $i$  avere qualsiasi mettendo l'estensione del campo.

In ogni caso, conseguenza immediata e' che ad ogni campo elettrico, ovunque nel tempo e' sempre associato un campo magnetico.

Abbiamo visto che le correnti elettriche in un conduttore e le corrente elettriche in movimento generano campo e se' un campo magnetico; potremmo verificare sperimentalmente che questo anche il fenomeno inverso, moto col nome di "induzione elettromagnetica": se avevamo nella nostra di un circuito chiuso fissa da passare di A.m. si trovano immersi in un campo magnetico variabile col tempo, allora la corrente si mette in movimento mentre il circuito rimasta fisso. Se aveva "corrente indotta", si j comunque sperimentalmente potremmo provare che, è circuito "quasi chiuso", cioè una O.D.P. che gli estremi del circuito sono, che chiamiamo A.m. indotta,  $E_I$ ; in effetti se i (e circuito chiuso) avremo abbato a  $E_I$ . Queste  $E_I$  è legata a B per mezzo delle LEGGE DI FARADAY (dell'induzione elettromagnetica): quando il campo magnetico varia nel circuito (chiuso, o effetto "potremmo in un punto") varie col tempo, si genera nel circuito una A.m. indotta uguale, intanto per intuito, alle due volte del flusso (rispetto al tempo) cambiato di segno j in formula

$$E_I = - \frac{\partial \Phi_B(B)}{\partial t}$$

$$(\Phi_B(B) := \int_S B \cdot d\mathbf{S} (= \Phi_S(B))$$

dove S è una qualche superficie su cui il circuito  $\gamma$  come bordo. Per questo fatto, se il circuito considerato è chiuso e se forse permette di

Nell'eq. 6 se rendono nulli  $R$ , allora per Ohm si ha una  
conveniente definizione di  $i = \frac{E + E_I}{R} = \frac{1}{R} (E - \frac{\partial \Phi_B}{\partial t})$

(Dove  $- \frac{1}{R} \frac{\partial \Phi_B}{\partial t} = i_I$  !). (Quindi, se  $E=0$ ,

si ha che in un circuito chiuso si ha  $\oint i_I dt = 0$  il

circuito  $\oint i_I dt = - \frac{1}{R} \int_{At} \frac{\partial \Phi_B}{\partial t} dt = - \frac{\Delta \Phi_B}{R}$

Dove evidentemente  $\Delta \Phi_B$  è la variazione del campo nel tempo  $At$ ;

Si dice allora  $i$  moto come "Moto di Faraday".

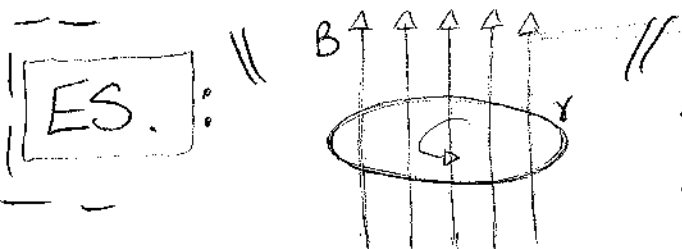
Se avrei segni "-" incontrati frequentemente la LEGGE DI LENZ:

il verso delle N.m. indotte è tale da essere contraria al campo  
intestato genere un campo diinduzione opposto e cioè che si oppone al campo  
intestato che tende a conservare le caratteristiche del campo

intestato; più precisamente: le correnti indotte hanno verso tale

da opporsi alle cause che le fanno (per ciò le N.m.

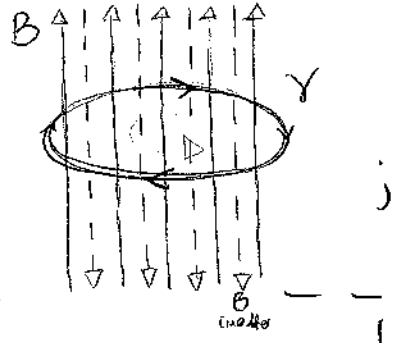
indotte si dicono "forze contraddittoriose", "f.c.c.m.". )



è un circuito immerso in un campo magnetico  
 $B$  con  $\frac{\partial \Phi_B}{\partial t} > 0$  (per le sole soli  
verso l'alto su  $\gamma$ ), e se  $B$  è ascendente col tempo  
allora (legge)  $\frac{\partial \Phi_B}{\partial t} > 0$ , cioè per Lenz  $i_I$  circola

in senso antiorario conoscete l'induzione magnetica generata da uno  
che oppone a quella del campo esterno  $B$  in modo da diminuire

il valore totale dell'induzione magnetica :



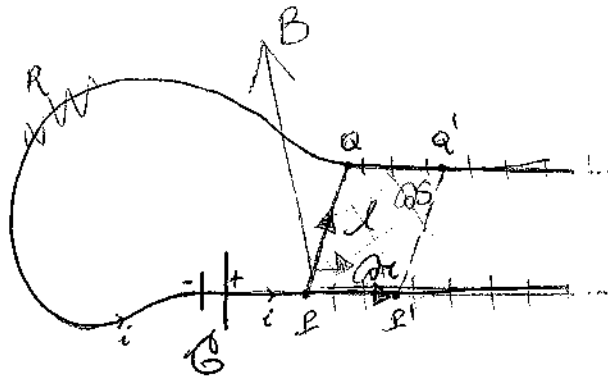
struttura opposte se  $B$  diminuisce col tempo.

Osserveremo che Lenz è in accordo col principio di conservazione dell'energia : ad esempio, se si conservano le solenite in un circuito chiuso, allora questo viene fornito da una sorgente esterna e quindi si oppone alle forze  $\vec{F}_I$  ; d'altra parte in genere un campo magnetico che si oppone all'incremento delle solenite,unque per conservare queste al circuito ne offre una forza riduttiva e compresa nel campo stesso che annulla effettivamente l'energia dissipata nel circuito (esagerando se l'incremento delle solenite (fusione o decomposizione) è abbastanza grande).

(Vedi disegni su Arnoldi e su Rasetti !!)

Nel caso particolare del moto di un circuito, se si assume che questo, in un campo magnetico indipendente dal tempo, ha tratti di induzione elettromagnetica (non si ricorre a effetti magnetostatici), si ha il principio di conservazione dell'energia. Supponiamo per semplicità che il circuito si muova in un campo magnetico  $B$  uniforme (e costante nel tempo) e che abbia ~~una~~ un tratto "mobile"

LQ rettangolare coi dimensioni  $H$ ,  $l$ , come in figura:



in LQ spirale oltre una  
spira  $F = i l \times B$

se ho spostamenti simultanei di un'altra F contro massa

$$\partial L = F \cdot \partial r = i l \times B \cdot \partial r = \cancel{i l \times B} =$$

$$= i B \cdot \underbrace{\partial r \times l}_{m \cdot \partial S} = i \cancel{B \Phi(B)} = i \cancel{B \Phi(B)} = i \times$$

\* le variazioni del flusso considerate all'interno circuito; dato che fatto ciò "forza de C", per conservazione dell'energia è

$$\underbrace{C_i \partial t}_{\text{flusso generato}} = \underbrace{i^2 R \partial t}_{\text{effetto Joule}} + i \cancel{\Phi(B)} \quad | \quad \text{cioè}$$

$$\text{effetto} \quad i = \frac{1}{R} \left( C - \frac{\partial \Phi(B)}{\partial t} \right) : \text{Anche, e come nel}$$

"flusso fermo" delle forze motrici del circuito, ottenuto in questo caso  $A \cdot c \cdot i \cdot m - \frac{\partial \Phi(B)}{\partial t}$ , come avremmo.

(Dato che fatti il fatto spettabile che i fenomeni di induzione elettromagnetica dipendono solo dal moto relativo fra induttore e indotto, siamo dunque la legge dell'induzione elettrica).

Se quelle già note sono nel caso di flusso fermo il  
NON in generale !)

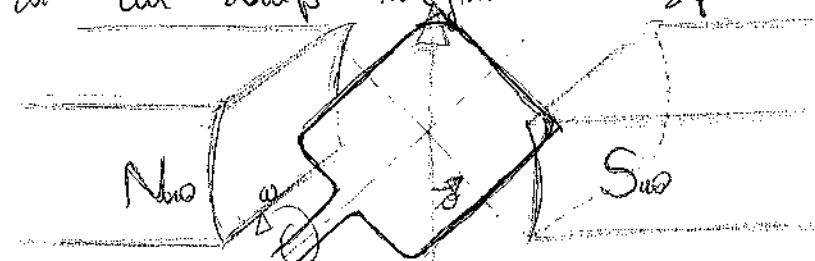
Consideriamo un circuito chiuso di linea con generatore di f.e.m.  
 M.R. immerso in un campo magnetico  $B$  variabile col tempo,  
 cioè con flusso connesso  $\Phi(B) =: \Phi(B)$  variabile col  
 tempo  $t$  allora nel circuito c'è una f.a.m. indotta  $\mathcal{E}_I =$   
 $= -\frac{\partial \Phi(B)}{\partial t}$  e conseguente le corde si muovono sotto  
 l'azione di un corrispondente campo elettrico  $E_I$ . Se  
 una corde  $l$  confine un polo del circuito, allora il  
 lavoro compiuto "da  $E_I$ " è  $\mathcal{E}_I \cdot l$  o anche  $\oint E_I \cdot dl =$   
 $= \mathcal{E}_I \oint dl$ , quindi  ~~$\oint E_I \cdot dl = \mathcal{E}_I$~~   $\oint dl = \mathcal{E}_I =$   
 $= -\frac{\partial \Phi(B)}{\partial t}$  se, più in generale, nel circuito c'è presente  
 pure un generatore di f.a.m.  $\mathcal{E}$ , allora in me corrispondente  
 esiste un campo elettrico stazionario  $E_s$  tale che con effetto  
 $\oint E_s \cdot dl = 0$  ; in totale quindi c'è presente un  
 campo elettrico  $E := E_s + E_I$  tale che  $\oint E \cdot dl =$   
 $= -\frac{\partial \Phi(B)}{\partial t} = -\frac{\partial}{\partial t} \int_S B \cdot n dS$  (B regolare  
 (e dunque)  $\frac{\partial B}{\partial t}$  esiste)  $= -\int_S \frac{\partial B}{\partial t} \cdot n dS$  :

Abbiamo che in generale  $E$  non è conservativo (cioè che  
 non esiste un potenziale elettrico  $\phi$ ) "cioè" non c'è  
 inotazione. Ma in effetti, per Stokes, è  $\int_S \partial E_s \cdot n dS$   
 5

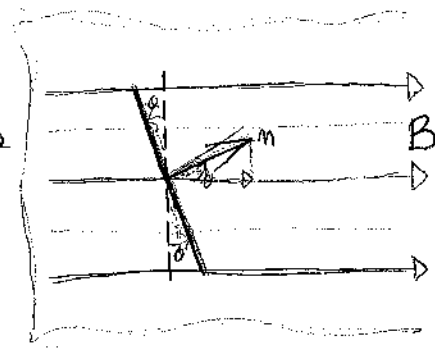
$= - \int_S \frac{\partial B}{\partial t} \cdot \text{m}\vec{ds}$ , e per l'arbitrarietà di  $S$  deve  
 essere (equiv.)  $\boxed{\text{rot } E = \nabla \times E = - \frac{\partial B}{\partial t}}$ , che è  
 effetto delle forze sovrafficie della legge di Faraday; quindi  
 nelle regioni di spazio dove esiste un campo magnetico variabile al  
 tempo esiste necessariamente lì un campo elettrico non conservativo.

(Ultimo contiamo sul "eventuale" potenziale elettostatico  $\nabla \cdot E$ :  
 se  $B = \text{rot } A$ , allora  $\int_S E \cdot d\vec{l} = - \frac{\partial}{\partial t} \left( \int_S \text{rot } A \cdot \text{m}\vec{ds} \right) =$   
(STOKES)  
 $= - \frac{\partial}{\partial t} \int_S A \cdot d\vec{l}$ , e per l'arbitrarietà di  $S$  ciò  
 equivale al fatto che  $E + \frac{\partial}{\partial t} A$  sia conservativo,  
 cioè effetto  $E = - \frac{\partial A}{\partial t} - \nabla V$ ! I due effetti,  
 se si fissa,  $\text{rot } E = - \frac{\partial B}{\partial t} = \text{rot} \left( - \frac{\partial A}{\partial t} \right) \dots ? \}$

Un generatore elettromagnetico di f.e.m. nelle sue forme più  
 semplici è costituito da una spira fissa rettangolare di area  $S$ ,  
 mantenuta in rotazione attorno a se stessa con velocità angolare costante  
 $\omega$ , all'interno di un campo magnetico uniforme  $B$  generato  
 da un magnete:



all'istante  $t=0$  le spire ricevono perfettamente alle linee  
 di forza del campo, e ricevono l'angolo che all'istante  $t$   
 le spire hanno col loro perpendicolare a tali linee, cioè  
 $\theta(t) = \omega t$ ; dunque, tenute su ideale,  $\Phi_S(B) =$   
 $= B \cdot mS = BS \cos(\theta) = BS \cos(\omega t)$ ,  
 da cui le f.e.m. induotte nelle spire risultano  
 $E_I = -\frac{\partial \Phi_S(B)}{\partial t} = BS \omega \sin(\omega t)$ , che è  
 sinusoidale nel tempo: le chiamiamo "f.e.m. alternata",  
 mentre infine il generatore "alternatore". (Ovvvero come  
 naturalmente si forse chiamerebbe tale  $E_I$ , dunque se si forse  
 spettore conoscendo gli estremi dell'oscillamento dell'alternatore.)



Quando un circuito è formato da condutte, nelle stesse circostanze  
 avranno generato un campo magnetico, che ha un flusso concatenato  
 al circuito stesso; facendo variare l'orientazione delle condutte  
 che formano il circuito, si si genera in effetti una f.e.m.  
 indotta: tale fenomeno si detta di "autoinduzione".

Consideriamo precisamente un circuito isolato e indeformabile posto  
 nel vuoto (o nell'aria) e formato da una conica di latte  
 $\theta$ : per la 1<sup>a</sup> legge di Lefèvre, in ogni punto della sfera  
 $B_0$  è uniforme e in questo caso (per la  $\Phi(B)$ )

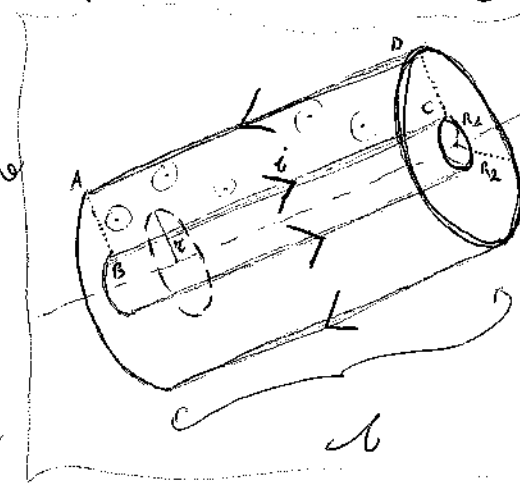
Concretamente, cioè  $\Phi(B_0) = L_0 i$  dove il coefficiente  $L_0$  è proporzionale a  $L_0$ . Diffusa solo nelle forme geometriche del circuito si "in genere" ha  $\boxed{\Phi(B) = L i}$ , con  $B = \text{fun} B_0$  e  $L = \text{fun} L_0$ :  $L$  è detto "coefficiente di autoinduzione", o "autoinduttanza" o "induttanza" del circuito.

Avendo  $\Phi(B)$  lo stesso segno di  $i$ , è sempre  $L > 0$  e con unità di misura "tesla"  $\equiv 1 \text{ H} := \frac{1 \text{ Wb}}{\text{A}} = \frac{1 \text{ V s}}{\text{A}} = 1 \Omega \text{s}$ ; funzione fronte all'induttanza di un circuito rappresentabile così: .

**ES.**: calcoliamo  $L$  di un solenoide di lunghezza  $l \gg$  raggio, di sezione  $S$  e con  $n$  spire per unità di lunghezza  $j$  come andata,  $B$  generato da  $\neq 0$  uniformemente solo all'interno del solenoide, dove d'ipotesi al suo interno si ha  $|B| = \mu_0 n i$  (se nel solenoide fosse una corrente  $I$  diversa da  $i$ ); il flusso di  $B$  attraverso ciascuna spira è  $|B| S$ , quindi attraverso l'intero solenoide è  $\Phi(B) = n l |B| S = \mu_0 n^2 i S l$ : in conclusione  $L = \mu_0 n^2 S l$ .

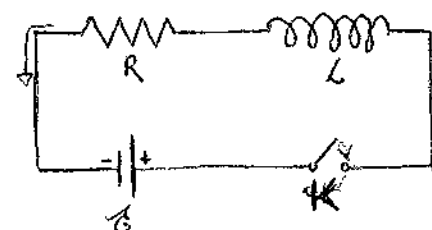
**ES.**: due superfici metalliche cilindriche concentri, di raffi  $R_2$  e  $R_2 > R_1$  e lunghezza  $l \gg$  raffi, sono separate da

Considero un solido me di uguali interstici j su ciascuna delle sue superfici se questo ha come il contenuto ; calcoliamo L in questo sistema , supponendo che tre le sue superfici siano l'aria :  
 Cominciamo immaginando un perimetro circolare  
 all'interno del quale una circonferenza con centro  
 nell'uno stessa il raggio r ; in ogni punto  
 delle circonferenze , B ha la densità delle  
 fognature e ha per numero sempre lo stesso  
 modulo ; per  $r < R_1$  o  $r > R_2$  , l'intensità totale delle  
 fognature che ottengono il circuito è nulla , mentre per  $R_1 \leq r \leq R_2$  è evidentemente 0 : deduciamo per similitudine che  
 $|B| = 0$  solo per  $R_1 \leq r < R_2$  , cioè solo fra i due cilindri ,  
 dove si ricorda che  $(2\pi r) |B| = \mu_0 i$  , dove  
 $|B| = \frac{\mu_0 i}{2\pi r}$  . Al flusso magnetico ottenuto le sarebbe  
 ABCD il quinto  $\Phi(B) = \int_{R_1}^{R_2} |B| dr = \frac{\mu_0 i}{2\pi} \log\left(\frac{R_2}{R_1}\right)$  ,  
 e deduciamo che necessariamente  $L = \frac{\mu_0 i}{2\pi} \log\left(\frac{R_2}{R_1}\right)$ .



Secondo criterio l'intensità Si considera che circolare in un circuito , ovvie così anche il flusso magnetico ad uno contenuto e si  
 fissa ad conseguente nel circuito una f.e.m. indotta che possiamo  
 scrivere :  $\frac{dI}{dt} = - \frac{\partial \Phi(B)}{\partial t} = -L \frac{di}{dt}$ .

Cominciamo il circuito circolare



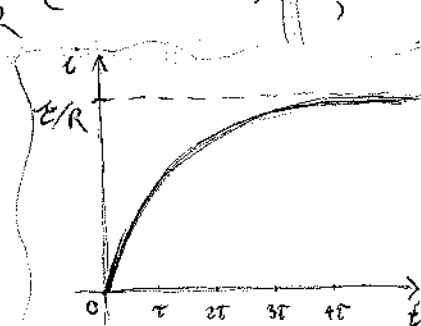
: x

all'istante  $t=0$  chiudiamo l'interruttore K, allora comincia a scorrere una corrente d'intensità  $i$  che per ora svolgerà gradualmente in quanto anche se si avesse "muoversi" (e fiori) non potrebbe in conseguenza una "gente" f.s.m. instabile  $\mathcal{E}_I$  tale da opporsi a questo aumento  $i$ ; in effetti, istante su istante, non è  $Ri = \mathcal{E}$  ma risultato  $Ri = \mathcal{E} + \mathcal{E}_I = \mathcal{E} - L \frac{\partial i}{\partial t}$ , per Ohm ( $\mathcal{E}$ , in alternazione, visto che  $R$  "fissa" una corrente da parte delle  $Ri$  mentre  $L$  ha bisogno  $L \frac{\partial i}{\partial t}$ , per cui  $Ri + L \frac{\partial i}{\partial t} = \mathcal{E}$  (corrente costante))

$$\text{e cioè } \begin{cases} \frac{\partial i}{\partial t} = \frac{\mathcal{E}}{L} - \frac{R}{L} i \\ i(0) = 0 \end{cases}, \quad \Rightarrow i(t) = \frac{\mathcal{E}}{R} \left( 1 - e^{-\frac{t}{\tau}} \right),$$

con  $\tau := \frac{L}{R}$  "la costante di tempo del circuito".

Quando nei primi istanti dopo la chiusura del circuito si ha un "regime instabile" (o "fase transitoria"), mentre dopo un tempo  $t \gg \tau$  si raggiunge una situazione di "regime costante" e  $i \approx \frac{\mathcal{E}}{R}$  (tanto frene quanto più grande è  $L$ !).; in effetti è presente, istante su istante, un'intensità di corrente "alternata" ("corrente di chiusura") data da  $i_L := -\frac{\mathcal{E}}{R} e^{\frac{t}{\tau}}$  ossia alle correnti esterne  $\mathcal{E}/R$ .

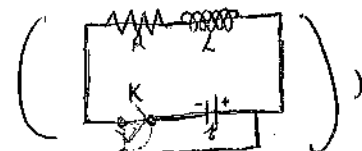


Ora, se faccio  $W$  fornire del generatore il quinto  $W =$

$= \mathcal{E}_i = Ri^2 + L \frac{di}{dt}$ , dove il primo termine rappresenta la forza elettrica per effetto Joule mentre il secondo termine si collega ad un "inneggiamento" da parte dell'induttanza, causato dallo stesso  $i$ ; oltre preventivamente queste energie inneggiamento quando l'intensità  $I$  si conosce come se  $I=0$  ad un certo  $t=0$   $I=i$

$$U = \int_{t=0}^{t=t_0} \left( L \frac{di}{dt} \right) dt = \int_{I=0}^{I=i} L i di = \frac{1}{2} L i^2 \quad \left. \begin{array}{l} (\Phi = L i) \\ = \frac{1}{2} i \Phi \end{array} \right\} \text{(per al valore massimo } \frac{1}{2} L \left( \frac{\Phi}{R} \right)^2 \text{)}$$

Motivatamente tale energia non restabile quando facciamo crescere il potenziale  $\Phi$  constante, ad esempio nel modo descritto da seguito: quando nel circuito si è raggiunta l'intensità di corrente da raggiungere  $i_0 = \frac{C}{R}$ , escludendo il generatore da tutto ciò che non è un commutatore che comunque funziona contemporaneamente con l'induttore  $(AV=0)$  (cfr. circuito



per cui  $i$  si può scrivere da  $\frac{di}{dt} = -\frac{R}{L}i$   $i(t_0) = i_0$   $\Rightarrow i(t) = i_0 e^{-Rt/L} = \frac{i_0}{R} e^{-Rt/L}$

$(\tau = L/R)$ , dunque ancora  $i$  cresce e muore con legge esponentiale; tale  $i$  è l'estremità di espansione. Ricordiamo in effetti che nel

circuito si trova anche (per effetto Joule) pari a  $\int_0^\infty R i^2 dt = \left( i = -\frac{L}{R} \frac{di}{dt} \right)$

$$= -L \int_0^\infty i \frac{di}{dt} dt = -L \int_{i_0}^0 i di = \frac{1}{2} L i_0^2$$

Potremmo riconoscere questo che l'autonutricione del circuito può essere stabilita ad una specie di livello dell'elettrostatico: è infatti possibile fatto "lasciare ad alto" una corrente in un circuito

quanto ammire aumentare le correnti in un circuito (l'induttanza chiusa non offre all'aumento di  $B$ , mentre quelle aperte offrono una resistenza).

Siano  $\gamma_1$  e  $\gamma_2$  due circuiti elettrici indipendenti in quiete con rispettive induttanze  $L_1$  e  $L_2$ . Il primo circuito  $\gamma_1$  ha un generatore di corrente  $I_1$  intensità  $i_1$ , mentre nel secondo  $\gamma_2$  non c'è generatore di corrente, oltre non avere né il campo magnetico  $B_2$ . Scritto è che che allora  $\Phi_1(B_2)$  costante e  $\gamma_1$  e  $\Phi_2(B_1)$  costante e  $\gamma_2$ . Allora, per la legge di Lenz (nella stessa svolta),  $|B_2|$  è comunque proporzionale a  $i_1$ , comunque sia vale anche per i flussi  $\Phi_1$  e  $\Phi_2$ : oltre

$$\left\{ \begin{array}{l} \Phi_1(B_2) = L_1 i_1 \\ \Phi_2(B_1) = M_{12} i_1 \end{array} \right. \quad \text{dove } L_1 \text{ è}$$

l'induttanza di  $\gamma_1$  e  $M_{12}$  è una costante indipendente dalle forme geometriche di  $\gamma_1$  e  $\gamma_2$  e dalle loro posizioni relative. Se invece nel primo circuito non fosse corrente, mentre nel secondo fosse generata da una corrente di intensità  $i_2$ , otteniamo oltre analogamente

$$\left\{ \begin{array}{l} \Phi_1(B_2) = M_{12} i_2 \\ \Phi_2(B_1) = L_2 i_2 \end{array} \right. \quad ; \quad \text{giustamente si}$$

$M := M_{12} = M_{21}$ , e chiamiamo tale costante (che è comunque in funzione) "coefficiente di mutua induzione" o "mutua induttanza"; il suo segno indica se i due flussi nei circuiti  $\gamma_1$  e  $\gamma_2$ .

$$\boxed{15)} \quad \Phi_2(B_2) = \int_{S_2} B_2 \cdot n_2 dS, \quad e \text{ per } B_2 \text{ forzante}$$

lavoro delle reazioni  $B_2 = \text{not } A_2$  con  $A_2 =$

$$= \frac{\mu}{4\pi} \int \frac{i_2}{|r|} \partial V, \quad \Rightarrow \quad \frac{\mu}{4\pi} \int_{\gamma_2} \frac{i_2}{|r|} \partial s_2, \quad \text{per cui } \Phi_2(B_2) =$$

$$= \int_{S_2} \text{not } A_2 \cdot n_2 dS \stackrel{(\text{STOKES})}{=} \oint_{\gamma_2} A_2 \cdot \partial s_2 = \frac{\mu}{4\pi} i_2 \oint_{\gamma_2} \oint_{\gamma_2} \frac{\partial s_2 \cdot \partial s_2}{|r|}.$$

Allora  $M_{22} = \frac{\mu}{4\pi} \oint_{\gamma_2} \oint_{\gamma_4} \frac{\partial s_2 \cdot \partial s_4}{|r|}$ , rispondente rispettivamente agli induttori 1 e 2.

**ES.** : Consideriamo un solenoidale di sezione  $S$ , di lunghezza  $l \gg$  diametro,

con  $M_2 = N_2/l$  spine per unità di lunghezza e tale che ci sia per effetto, ma comunque non indotto, un secondo esodoamento di  $N_2$  spine  $j$  per colonna  $M$  tra i due circuiti,

circolare nel primo solenoidale che conduce l'intensità  $i_2$  generante al suo interno, parallelamente al suo asse, un campo magnetico  $B_2$  di modulo  $|B_2| = \mu_m i_2$  :

Allora chiaramente  $\Phi_2(B_2) = N_2 S |B_2| =$

$$= \mu_m N_2 S i_2 \rightarrow \text{da cui } M = M_{22} = \mu_m N_2 S \underset{(m_2, l)}{\sim}.$$

Se dunque, più in generale, i due circuiti  $\gamma_2$  e  $\gamma_4$  sono percorsi da corrente d'intensità  $i_2$  e  $i_4$  rispettivamente, allora in totale si ha un campo magnetico  $B := B_1 + B_2$  che quindi ha

$$\int \Phi_2(B) = L_2 i_2 + M_{22}$$

$$\int \Phi_2(B) = M i_2 + L_2 i_2 = L_2 i_2 + M i_2 \quad j \text{ ormai dato}$$

che, se ad esempio  $i_2 = 0$ , tutte le linee di forza dell'anello sono orizzontali come mostrato a destra MA solo una linea forte è accostata a  $\gamma_2$ : se  $\gamma_1 \times \gamma_2$  hanno lo stesso numero di spine, allora certamente  $|M| i_2 = |\oint_{\gamma_2} (B_2)| \leq \oint_{\gamma_1} (B_2) = L_2 i_2$ , cioè  $|M| \leq L_2$  ; analogamente  $|M| \leq L_1$ , cioè fatti insieme  $|M| \leq L_1 \wedge L_2$  (stesso numero di spine!).

Come vedremo subito le conti fatti, per due solenoidi uguali e perfettamente non sovrapposti risulta

$$M = L_1 = L_2 \quad (= \mu m^2 S l)$$

Dovremo quindi che  $M^2 \leq L_1 L_2$ , cioè

che  $M = R \sqrt{L_1 L_2}$  per un opportuno  $-1 \leq R \leq 1$  detto "coefficiente di eccitamento".

Per due solenoidi sovrapposti ma con  $N_1 \neq N_2$ , quando  $i_2 = 0$  è

$$\frac{\oint_{\gamma_1} (B_2)}{\oint_{\gamma_2} (B_2)} = \frac{L_2 i_2}{M i_2} = \frac{\mu m^2 S l}{\mu m^2 N_2 S} = \frac{N_1}{N_2}, \text{ mentre per}$$

$i_2 = 0$  è  $\frac{L_2}{M} = \frac{N_2}{N_1}$  in modo analogo, se poi comunque

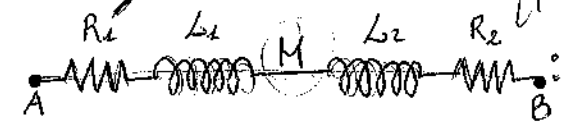
$$M^2 = \left( L_1 \frac{N_2}{N_1} \right) \left( \frac{L_2 N_1}{N_2} \right) = L_1 L_2.$$

Comunque, se una o entrambe le intesità di corrente in ciascun solenoide avranno valore, oltre obiettivo (per le leggi della conservazione dell'insieme eletromagnetico) le seguenti t.c.m. insolite nei

Due circuiti :  $\left\{ \begin{array}{l} \mathcal{E}_{I,1} = -L_1 \frac{\partial i_1}{\partial t} - M \frac{\partial i_2}{\partial t} \\ \mathcal{E}_{I,2} = -L_2 \frac{\partial i_2}{\partial t} - M \frac{\partial i_1}{\partial t} \end{array} \right.$

$\rightarrow$

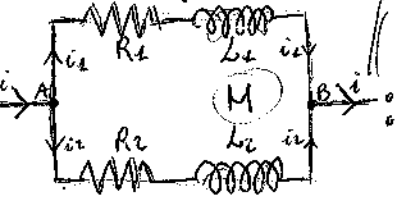
~~D'accordo con collegamento in serie~~ generale



$$\Delta V_{(V_A - V_B)} = (R_1 + R_2)i - \mathcal{E}_{I,1} - \mathcal{E}_{I,2} = (R_1 + R_2)i + (L_1 \frac{\partial i}{\partial t} + M \frac{\partial i}{\partial t}) + (L_2 \frac{\partial i}{\partial t} + M \frac{\partial i}{\partial t}) = (R_1 + R_2) + (L_1 + 2M + L_2) \frac{\partial i}{\partial t}$$

Per lequazione fondermente di un reo elemento induttivo con induttanza  $L_1 + 2M + L_2$  e resistenza ohmica  $R_1 + R_2$

~~D'accordo quindi con collegamento in parallelo "generale"~~



$$\left\{ \begin{array}{l} \Delta V = i_1 R_1 + L_1 \frac{\partial i_1}{\partial t} + M \frac{\partial i_2}{\partial t} \\ \Delta V = i_2 R_2 + L_2 \frac{\partial i_2}{\partial t} + M \frac{\partial i_1}{\partial t} \end{array} \right. , \text{ e operando rispetto } \frac{\partial i_1}{\partial t}$$

(considerando che allora avremo  $\frac{\partial i_2}{\partial t}$  per simmetria) moltiplichiamo le due

equazioni per  $L_2$  e le somme per  $-M$ , quindi sottraiamo

$$(L_1 L_2 - M^2) \frac{\partial i_1}{\partial t} = L_2 (\Delta V - i_1 R_1) - M (\Delta V - i_2 R_2) =$$

$$= (L_2 - M) \Delta V - (L_2 R_1 i_1 - M R_2 i_2) ; \text{ analogamente } \text{ è}$$

$$(L_1 L_2 - M^2) \frac{\partial i_2}{\partial t} = (L_1 - M) \Delta V - (L_1 R_2 i_2 - M R_1 i_1) , \text{ e}$$

$$(L_1 - M) R_2 i_2 ] \quad : \text{ Dunque in generale una induttanza in parallelo}$$

NON possiede condizioni equivalenti di un reo elemento induttivo !

Ottieniamo, nel caso molto particolare che  $\frac{L_1-M}{L_2-M} = \frac{R_1}{R_2}$ , che

che l'induttanza equivalente di una rete  $\Omega'$  è l'induttanza  $\frac{L_1 L_2 - M}{L_1 - 2M + L_2}$

e la rete equivalente ohmica  $R := \frac{R_1 R_2}{R_1 + R_2}$  : infatti ponendo

$$(L_2 - M) R_1 i_1 + \underbrace{(L_1 - M) R_2 i_2}_{(=L_2 - M) R_2} = (L_2 - M) R_1 i_1 \quad , \quad e \quad \text{avendo}$$

$$\text{ufficamente } (L_2 - M) R_1 = (L_1 - 2M + L_2) R \quad (=L_1 - 2M + L_2) \frac{R_1 R_2}{R_1 + R_2}$$

$$\Leftrightarrow (L_2 - M)(R_1 + R_2) = (L_1 - M + L_2 - M) R_2 \quad , \quad \Leftrightarrow (L_2 - M) R_1 = \\ = (L_1 - M) R_2 \quad , \quad \text{che infatti è vero!} \quad J$$